

وزارة التعليم والبحث العلمي

MINISTÈRE DE L'ENSEIGNEMENT ET DE LA RECHERCHE SCIENTIFIQUE

d'ex

ECOLE NATIONALE POLYTECHNIQUE

DEPARTEMENT Génie Civil

المدرسة الوطنية المتعددة التقنيات
BIBLIOTHEQUE — المكتبة
Ecole Nationale Polytechnique

PROJET DE FIN D'ETUDES

S U J E T

C'HABITATION D'EL LI

2000 m³

5 PLANCHES

Proposé par :

CTC BLIDA

Etudié par :

Taleb ali

Dirigé par : M^elle :

DJILLALI . BERKANE

Chouchaoui Chérif Saâdane

PROMOTION : Janvier 87



Remerciements

المدرسة الوطنية المتعددة التقنيات
BIBLIOTHEQUE — المكتبة
Ecole Nationale Polytechnique

- * Nous tenons à exprimer nos sincères remerciements à notre promoteur : Melle Djillali BERKANE qui a bien voulu assurer la direction de cette étude , pour ses conseils éclairés et profitables.
- * On est également reconnaissant à tous les professeurs qui ont contribués à notre formation .
- * On remercie le personnel du C.T.C. et en particulier Messieurs : HOURIER pour son aide si précieuse , HOUAZIT .
- * On tient aussi à remercier le personnel de la bibliothèque de l'Ecole Nationale polytechnique d'EL HARRACH pour nous avoir facilité les emprunts des livres nécessaires .

- Dedicaces -

A

المدرسة الوطنية المتعددة التقنيات
BIBLIOTHEQUE — المكتبة
Ecole Nationale Polytechnique

- la memoire de mes grands parents .
- la memoire de mes petits frères et soeurs .
- la memoire de mon oncle BOUCHERF Ahmed , de mon ami BENMOUSSA Abdellahmid , de BELMECHRI Abdelkader .
- Mon pere et ma mère qui se sont donnés tant de sacrifices pour me voir un jour terminer mes études .
- Mes frères et ma soeur
- Mes tantes
- Tous mes frères croyants

Je dedie cet humble travail.

CHOUCHAoui

- Ma mère et mon père en signe de reconnaissance pour tous les sacrifices consentis à mon égard et pour leur soutien moral et matériel et leur encouragements le long de mes études .
- Mes frères (HACÈNE - HOCINE) et soeurs .
- Ma tante ; mon oncle .
- toute ma famille grands et petits .
- Mes amis tous par leur noms
- Mes frères croyants .
- Mes frères : écoliers - lycéens - étudiants
- tous ceux qui contribuent au développement du pays

je dedie ce modeste travail

TALEB Ali

مجلحة : الـهـنـدـسـيـةـ الـمـدـيـةـ
موـبـاـعـ الـلـاـبـنـسـيـةـ جـبـلـاـيـ بـرـكـانـ
لـلـمـعـيـدـ مـهـنـدـسـ طـلـبـيـ عـلـيـ
شـوـقـيـاـهـيـ بـتـرـهـيـ سـعـلـانـ

خزان مائي - 3000 m³

(مـوـبـاـعـ)

ملخص : هذا المشروع هو عبارة عن دراسة العناصر المقاومة لخزان مائي بالخزانة المسليحة.
سعة هذا الخزان 3000 m³ وارتفاعه الكلي يبدء من الأساس 43,46 m وشكل موته مخروطي .
لماقاومته العامة تتم بواسطة وعاء (أسهوي) ذو قعر خارجي 8 m .
هذا الخزان سيتم انجازه في منطقة لنفأة (بولاية البليدة) منطقه متوسطة الزلازل (منطقة 2) .

JET: CHATEAU D'EAU ... 3000m³

RESUME: Notre projet consiste à étudier les éléments résistants d'un château d'eau en béton armé de capacité 3000 m³, et de hauteur total 43,46m à partir de la fondation, sur une forme tronconique. Le contreventement est assuré par un filet cylindrique de diamètre extérieur 8m. Le château d'eau sera implanté à CHIFFA (wilaya de BLIDA), qui est une zone de moyenne sismicité (zone II).

SUBJECT: WATER TOWER OF 3000 CUBIC METERS

ABSTRACT: Our Project consists in the study of the resistant components of a water tower in reinforced concrete of a capacity of 3000 m³ and a total height of 43,46 m starting from the foundations. Its shaft has the shape of a truncated cone. The wind-bracing is insured by a cylindrical brace in external diameter of 8m.

- Sommaire -

المدرسة الوطنية المتعددة التقنيات
BIBLIOTHEQUE — المكتبة
Ecole Nationale Polytechnique

chapitre :

1	Présentation de l'ouvrage	1
2	Caractéristiques des matériaux	3
3	Avant mètre	7
4	Calcul du réservoir	12
5	Évaluation de la période propre de vibration	25
6	Étude au vent	29
7	Étude sismique	35
8	Étude hydrodynamique	38
9	Calcul de la tour	42
10	Fondation	59
11.	Éléments de coffrage	68

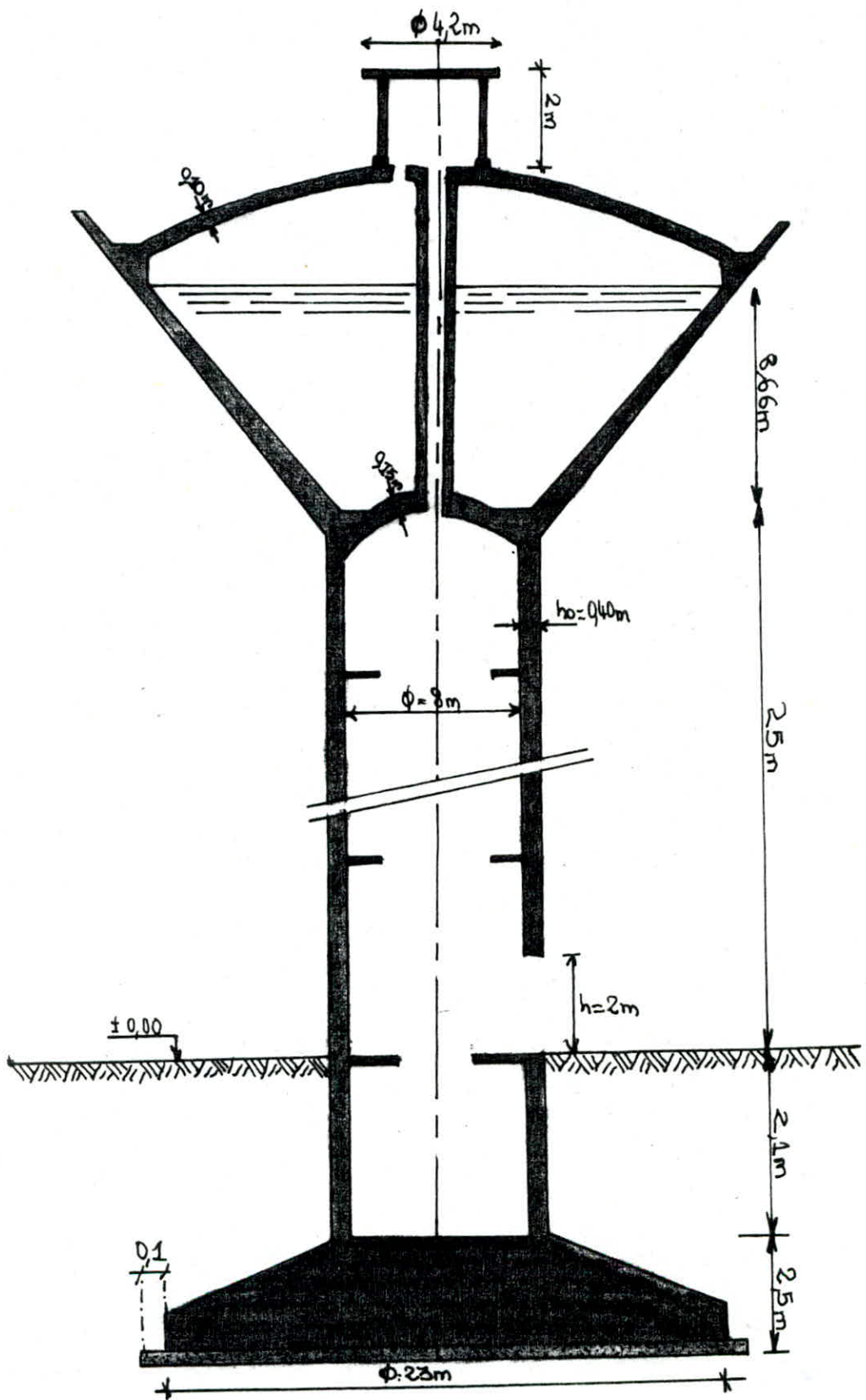
Chapitre : 1



PRESENTATION
DE
L'OUVRAGE

Présentation de l'ouvrage

L'ouvrage que nous nous proposons d'étudier est un château d'eau se caractérisant par :
 Sa capacité de : 2000m^3 , sa hauteur totale comptée à partir du sol : $43,46\text{m}$, il est
 situé à CHIFFA (Wilaya de BLIDA), le matériau utilisé est le béton armé, sa
 forme géométrique est : Cuve tronconique sur tour cylindrique.



Description d'un château d'eau

Le réservoir (cuve) est de type tronconique sur tour (fût) cylindrique. À partir d'une porte métallique placée au pied du fût, l'accès au réservoir se fera par une série d'escaliers métalliques à échelons séparées par des paliers de repos en B.A. situés à l'intérieur du fût. Dans la hauteur du réservoir, une cheminée intérieure permet l'accès jusqu'à une chambre de visite (lanterneau) placée sur la couverture (coupe sphérique) du réservoir dans laquelle une échelle à échelons donne l'accès à l'intérieur du réservoir. La tour transmettra les charges au sol par l'intermédiaire d'un radier circulaire.

Importance du château d'eau

En raison de son emplacement, le château d'eau est un élément important du paysage. Il est donc classé comme un ouvrage d'art exigeant le souci esthétique. Le rôle du réservoir surlevé est de régulateur à la consommation en eau potable, pendant la période où cette consommation n'excède la production. Il se vide et se remplit aux heures creuses.

Le réservoir doit contenir une réserve d'eau suffisante pour faire face aux besoins instantanés des différents services.

Son vidange, instantané doit être prévu en cas d'avarie grave.

Étanchéité

Les règles imposées par l'hygiène :

(éviter une contamination de l'eau ainsi que l'influence des conditions atmosphériques) nous imposent des revêtements intérieur et extérieur.

Les parois de la cuve devront être parfaitement étanches.

Chapitre : 2

CARACTERISTIQUE DES MATERIAUX

A. Beton: On utilise du ciment à prise lente de la classe 325, dont le retrait est faible

Contrainte de compression admissible:

$$\bar{\sigma}_b^t = \alpha \cdot \beta \cdot \gamma \cdot S \cdot E \cdot \bar{\epsilon}_{28}^t$$

$\bar{\epsilon}_{28}^t$: résistance nominale de compression du béton

$$\bar{\epsilon}_{28}^t = 300 \text{ b} \text{ (béton dosé à } 400 \text{ kg/m}^3 \text{ de C.PA 325)}$$

- $\alpha = 1$ (Coef qui dépend de la classe du ciment utilisé).
- $\beta = \frac{5}{6}$ (Contrôle atténué du béton).
- $\gamma = \frac{1}{4} \frac{e_0}{e_1} > 1 \Rightarrow \gamma = 1$
- S : dépend de la distribution des contraintes dans la section
 - compression simple $S = 0,3$.
 - Flexion simple et flexion composée quand l'effort normal est une traction. $S = 0,6$.
 - Flexion composée quand l'effort normal est une compression.

$$S = \min \left\{ \begin{array}{l} 0,6 \\ 0,3 \cdot \left(1 + \frac{e_0}{3e_1} \right) \end{array} \right\} e_0$$

e_0 : Excentricité de la force extérieure au c.d.g. de la section complète du béton seul.

e_1 : désigne le rayon vecteur, de même signe que e_0 , du noyau central de cette même section dans le plan radial passant par le centre de pression.

Pour les sollicitations du second genre, les valeurs de S sont multipliées par 1,5.

- E : dépend de la nature des sollicitations et de la forme de la section. Dans tous les cas on prend $E = 1$.

Nous obtiendrons : sous SP1 :

- compression simple : $\bar{\sigma}_{b0}^t = 1,5 \cdot 1,03 \cdot 1,300 = 75 \text{ b}$
- flexion simple : $\bar{\sigma}_b^t = 1,5 \cdot 1,06 \cdot 1,300 = 150 \text{ b}$

Sous SP2 :

- compression simple : $\bar{\sigma}_{b0}^t = 1,5 \cdot \bar{\sigma}_{b0}^t (\text{SP1}) = 112,5 \text{ b}$
- flexion simple : $\bar{\sigma}_b^t = 1,5 \cdot \bar{\sigma}_b^t (\text{SP2}) = 225 \text{ b}$

Contraintes de traction de référence :

$\bar{\sigma}_b = \sigma_b \cdot \bar{f}_{28}'$ avec $\sigma_b = \alpha \cdot \beta \cdot \gamma \cdot \theta$. où α, β, γ gardent les mêmes significations et les mêmes valeurs.

$$\theta = 0,018 + \frac{2,1}{\bar{f}_{28}'} = 0,018 + \frac{2,1}{300} = 0,025$$

d'où $\bar{\sigma}_b = 1,5 \cdot 1 \cdot 0,025 \cdot 300 = 6,25$ bars.

Cette contrainte est relativement faible et difficile à respecter. Le nouveau texte du cahier de charges applicables à la construction des réservoirs et cuves en B.A., établie en 1966 par la chambre syndicale des constructeurs en béton armé prévoit une contrainte admissible de traction $\bar{\sigma}_b$ égale à : $\bar{\sigma}_b = \theta \cdot \bar{f}_{28}'$

où \bar{f}_{28}' est la résistance à la traction du béton à 28 jours d'âge ;
Cette résistance devra être prise au plus égale à f_{28} .

θ : est un coeff dont la valeur est égale à :

• 1 dans le cas de la traction simple.

• $1 + \frac{2e_0}{3h}$ en flexion composite. e_0 : excentricité
 h : épaisseur

• $\frac{5}{3}$ en flexion simple.

Contrainte de cisaillement admissible

La contrainte tangente du plan neutre τ_b est donnée au droit de chaque section droite en fonction de la contrainte maximale de compression du béton $\bar{\sigma}_b'$, concomitante, sur cette même section droite par les inégalités suivantes :

$$\bar{\sigma}_b \leq \bar{\sigma}_b' \longrightarrow \tau_b \leq 3,5 \cdot \bar{\sigma}_b = 21,8 \cdot b$$

$$\bar{\sigma}_{b0}' \leq \bar{\sigma}_b \leq 2 \bar{\sigma}_{b0}' \longrightarrow \tau_b \leq \left(4,5 - \frac{\bar{\sigma}_b}{\bar{\sigma}_{b0}'}\right) \cdot \bar{\sigma}_{b0}'$$

On utilisera les aciers : à haute adhérence FeE40A.

donc $\sigma_{en} = 4200 \text{ Kg/cm}^2$ pour $\Phi \leq 20 \text{ mm}$.

$\sigma_{en} = 4000 \text{ Kg/cm}^2$ pour $\Phi > 20 \text{ mm}$

• Dousc (ou ronds lisses) FeE24,

donc $\sigma_{en} = 2400 \text{ Kg/cm}^2 \quad \forall \Phi$.

Contrainte admissible de traction $\bar{\sigma}_{a_1}$

Sous SP1 : $\bar{\sigma}_{a_1} = \frac{2}{3} \cdot \bar{\sigma}_{en}$

Sous SP2 : $\bar{\sigma}_{a_1} = \bar{\sigma}_{en}$

Soltis	Fe E40A	Fe E40A	Fe E24
SP1	$\phi \leq 20 \text{ mm}$ 2800	$\phi > 20 \text{ mm}$ 2670	1600
SP2	4200	4000	2400

Fissuration:

Afin de tenir compte de la fissuration, la valeur de la contrainte de traction des armatures est limitée à : $\bar{\sigma}_a \leq \min \left\{ \bar{\sigma}_{a_1}, \max(\bar{\sigma}_1, \bar{\sigma}_2) \right\}$

Avec : $\bar{\sigma}_1 = \frac{K_n}{\phi} \cdot \frac{\bar{w}_p}{1 + 10\bar{w}_p}$: contrainte de fissuration systématique.

$\bar{\sigma}_2 = 2,4 \sqrt{\frac{K_n}{\phi} \cdot \bar{\sigma}_b}$: " " " " accidentelle.

Contrainte admissible définitive de l'acier sans présence d'humidité.

$\phi (\text{mm})$	5	6	8	10	12	14	16	20	25	32
Aciers doux	1600	1600	1523	1362	1214	1151	1076	964	862	761
Aciers H.A	2436	2227	1926	1723	1574	1455	1361	1219	1090	963

Ce tableau donnant $\bar{\sigma}_a$ prise par le calcul des éléments non en contact avec l'eau. $\bar{\sigma}_1$ n'est pas à considérer car elle est toujours plus petite que $\bar{\sigma}_2$.

Paroi du réservoir

la paroi du réservoir étant constamment en contact de l'eau, la contrainte admissible de traction est définie par : $\bar{\sigma}_a = \min \left\{ \bar{\sigma}_{a_1}, \max(\bar{\sigma}_1, \bar{\sigma}_2) \right\}$

Avec : $\bar{\sigma}_1 = \frac{K_n}{\phi} \cdot \frac{\bar{w}_p}{1 + 10\bar{w}_p} + 300\eta$; $\bar{\sigma}_2 = 2,4 \sqrt{\frac{K_n}{\phi} \cdot \bar{\sigma}_b} + 300\eta$

Le terme complémentaire 300η tient compte du fait qu'une des faces des éléments est en contact permanent avec l'eau. Le phénomène de gonflement du béton intervient d'une manière favorable en réduisant l'ouverture des fissures. C'est ce qui motive le terme complémentaire 300η .

Des valeurs de $\bar{\sigma}_1$ étant inférieures à celles de $\bar{\sigma}_2$, on obtient le tableau donnant $\bar{\sigma}_a = \min(\bar{\sigma}_{a_1}, \bar{\sigma}_2)$.

Contrainte admissible de traction de l'acier en présence d'humidité :

$\phi (\text{cm})$	5	6	8	10	12	14	16	20	25	32
Acier doux	1600	1600	1600	1600	1544	1451	1376	1264	1162	1061
Acier H.A.	2800	2707	2406	2203	2054	1935	1841	1700	1570	1443

Contrainte de compression admissible

$\bar{\sigma}'_a = \frac{2}{3} \cdot \sigma_{en}$. les pièces soumises à la compression simple pour lesquelles l'acier utilise telle que

$$\sigma_{en} < 3340 \text{ kg/cm}^2 \quad ; \quad \bar{\sigma}'_a = \frac{2}{3} \cdot \frac{\sigma_{en}}{3340}$$

d'où : H.A. : $\bar{\sigma}'_a = 2800 \text{ kg/cm}^2$ pour $\phi \leq 20 \text{ mm}$.

$\bar{\sigma}'_a = 2670 \text{ kg/cm}^2$ pour $\phi > 20 \text{ mm}$.

Acier doux : $\bar{\sigma}'_a = 1150 \text{ kg/cm}^2$

Contrainte d'adhérence admissible :

Zone d'ancre normale $\bar{\tau}_d = 1,25 \cdot \Psi_d^2 \cdot \bar{\sigma}_b$

" " " en pleine masse $\bar{\tau}_d = 2 \cdot \Psi_d^2 \cdot \bar{\sigma}_b$

Ψ : coeff de scellement et a pour valeurs

Acier H.A : $\Psi_d = 1,5$

Acier doux : $\Psi_d = 1$

$\bar{\tau}_d (\text{kg/cm}^2)$	Acier H.A.	Acier doux
Ancre Normale	17,91	7,96
Ancre en plinem.	28,66	12,74

Recouvrement des barres droites :

La jonction de deux barres parallèles identiques est assurée par recouvrement lorsque leurs extrémités de chevauchement sur une longueur l_r :

• $l_r = l_d$ pour $d < 5\phi$.

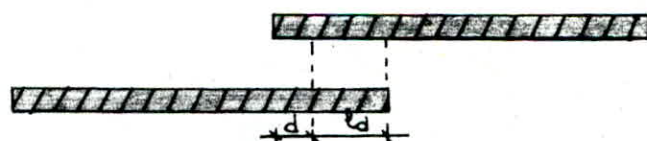
• $l_r = l_d + d$ pour $d > 5\phi$

d : distance entre axes des barres

l_d : longueur de scellement droit

$l_d = \frac{\phi}{4} \cdot \frac{\bar{\sigma}_a}{\bar{\sigma}_b}$ en traction

$l_d = \frac{\phi}{4} \cdot \frac{\bar{\sigma}'_a}{\bar{\sigma}_b}$ en compression (avec $\bar{\sigma}'_a = \frac{2}{3} \cdot \sigma_{en}$)



ϕ : diamètre nominal de la barre.

Chapitre : 3

AVANT METRE

Nous allons dans un premier lieu calculer le volume d'eau utile ensuite determiner le pente de l'ouvrage.

A - Determination du volume d'eau utile

Exposé de la méthode

Nous calculons le volume du cône ADEH :

$$V_{ADEH} = \frac{\pi}{3} \cdot H \cdot (R^2 + r + R \cdot r)$$

le volume de la cheminée est :

$$V_{BCKI} = (H-f) \cdot \pi \cdot \frac{\phi^2}{4}$$

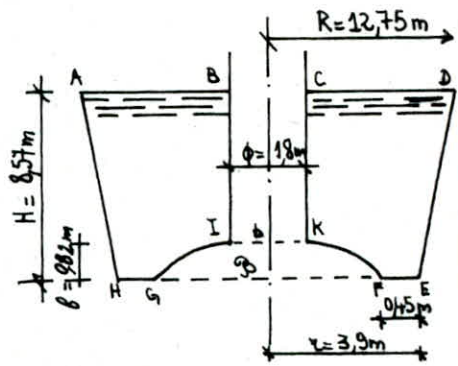
et enfin le volume de l'hémisphère est donné par :

$$V_{hem} = V_{IKFG} = f \cdot \frac{B+b}{2}$$

B : section du plus grand cercle.

b : section du plus petit cercle.

f : hauteur entre les deux cercles.



Volume de l'eau utile :

$$V_e = V_{ADEH} - (V_{BCKI} + V_{IKFG})$$

Application de la méthode :

$$V_{ADEH} = \frac{\pi}{3} \cdot 8,57 \cdot (12,75^2 + 3,9^2 + 3,9 \cdot 12,75) = 2041,67 \text{ m}^3$$

$$V_{BCKI} = \pi \cdot \frac{1,8^2}{4} \cdot (8,57 - 0,82) = 19,72 \text{ m}^3$$

$$V_{IKFG} = 0,82 \cdot \frac{B+b}{2}$$

$$= 0,82 \cdot \frac{37,4 + 2,54}{2} = 16,37 \text{ m}^3$$

$$B = \pi \cdot R^2 = \pi \cdot 3,45^2 = 37,4 \text{ m}^2$$

$$b = \pi \cdot \frac{\phi^2}{4} = \pi \cdot \frac{1,8^2}{4} = 2,54 \text{ m}^2$$

$$V_e = 2041,67 - (19,72 + 16,37) = 2005,58 \text{ m}^3$$

Résumé :

$R = 12,75 \text{ m}$
$H = 8,57 \text{ m}$
$V_e = 2005,58 \text{ m}^3$

B - détermination du poids de l'ouvrage

1. Poids du lanternau :

Le lanternau est composé d'une dalle circulaire reposant sur 8 poteaux liés par une ceinture à leurs bases. Son poids sera la somme de celui de ses éléments :

a - dalle circulaire : $\Phi = 4,20 \text{ m}$; $e = 0,08 \text{ m}$.

$$\text{d'où } P_1 = \frac{\pi}{4} \cdot \Phi^2 \cdot e \cdot \gamma_b = \frac{\pi}{4} \cdot (4,2)^2 \cdot 0,08 \cdot 2,5 = 2,77 \text{ t}$$

Etanchéité + Enduit $0,5 \text{ t/m}^2$

Surcharge d'exploitation $1,20100 \text{ t/m}^2$

$$\text{d'où } P_1^* = 0,17 \cdot \frac{\pi}{4} \cdot (4,2)^2 = 2,35 \text{ t} \quad 0,17 \text{ t/m}^2$$

Poids de la ceinture sous dalle : $\frac{\pi}{4} \cdot (3,95^2 - 3,7^2) \cdot 0,2 \cdot 2,5 = 0,75 \text{ t}$

d'où Poids de la dalle : $P_d = P_1 + P_1^* + P_c = 2,77 + 2,35 + 0,75 = 5,87 \text{ t}$

b - poteaux et ceinture sous poteaux :

On dispose de 8 poteaux 25×25 $P_1' = 8 \cdot (0,25 \cdot 0,25 \cdot 1,8) \cdot 2,5 = 2,25 \text{ t}$

Ceinture sous poteaux $P_2'' = \frac{\pi}{4} \cdot (4^2 - 3,5^2) \cdot 0,22 \cdot 2,5 = 1,62 \text{ t}$

$$P_1' = P_1'' + P_2'' = 3,87 \text{ t}$$

d'où poids du lanternau : $P_L = P_d + P_1' = 9,74 \text{ t}$

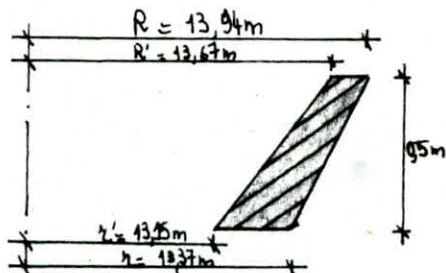
$$P_L = 9,74 \text{ t}$$

2. Poids de l'acrotère

On calcule le volume du béton de l'acrotère qu'on le multiplie par $\gamma_b = 2,5 \text{ t/m}^3$.

$$\begin{cases} R = 13,94 \text{ m} \\ r = 13,37 \text{ m} \\ H = 0,5 \text{ m} \end{cases}$$

$$\begin{cases} R' = 13,67 \text{ m} \\ r' = 13,15 \text{ m} \\ H' = 0,5 \text{ m} \end{cases}$$



$$\text{d'où } V_1 = \frac{\pi}{3} \cdot H \cdot (R^2 + r^2 + R \cdot r) = \frac{\pi}{3} \cdot 0,5 \cdot (13,9^2 + 13,37^2 + 13,9 \cdot 13,37) = 292,07 \text{ m}^3$$

$$V_2 = \frac{\pi}{3} \cdot 0,5 \cdot (13,67^2 + 13,15^2 + 13,67 \cdot 13,15) = 282,51 \text{ m}^3$$

$$\text{d'où } P = (V_1 - V_2) \cdot \gamma_b = 23,9 \text{ t}$$

$$P_a = 23,9 \text{ t}$$

3. Calcul de la cheminée

$$V_{ch} = \frac{\pi}{4} \cdot (\phi_e^2 - \phi_i^2) \cdot h \quad \left. \begin{array}{l} \phi_e : \text{diamètre extérieur} = 1,8 \text{ m} \\ \phi_i : " \quad " \quad \text{intérieur} = 1,6 \text{ m} \end{array} \right\}$$

d'où $P'_{ch} = \gamma_b \cdot V_h = 14,35 \text{ t}$ $\left. \begin{array}{l} h : \text{hauteur de la cheminée} = 8,57 + 3 - 0,82 = 10,75 \text{ m} \end{array} \right.$

$$\text{Etanchéité : } S = \pi \cdot \phi_i \cdot h = \pi \cdot 1,6 \cdot 10,75 = 54,03 \text{ m}^2$$

$$\text{d'où } P^*_{ch} = 0,05 \cdot S = 2,7 \text{ t} \quad \text{donc } P_{ch} = P'_{ch} + P^*_{ch} = 17,05 \text{ t}$$

$$P_{ch} = 17,05 \text{ t}$$

4. Calcul du poids du toit

Le toit est une coupole caractérisée par les paramètres f (flèche de la coupole), r (rayon de la base de la coupole), R (rayon de la coupole).

La condition d'équilibre de la membrane nous permet de calculer ces paramètres.

Condition de l'effrage : $\frac{l}{6} \leq f \leq \frac{l}{10}$ avec $l = 2r$ (l'ouverture de la coupole).

On prend $f = \frac{l}{8} = 3,8 \text{ m}$.

$$R = \frac{r^2 + f^2}{2f} = \frac{\overline{12,75}^2 + \overline{3,18}^2}{2 \cdot 3,18} = 27,15 \text{ m}$$

d'où : Surface de la coupole pleine : $S_1 = 2\pi \cdot Rf = 540,47 \text{ m}^2$.

• " à la base de la cheminée : $S_2 = \frac{\pi}{4} \cdot \phi_i^2 = 2,01 \text{ m}^2$

• " effective de la coupole : $S = S_1 - S_2 = 540,46 \text{ m}^2$

$$\text{d'où } P^1 = 540,46 \times 0,1 \times 2,5 = 135,115 \text{ t}$$

Etanchéité : Surcharge d'exploitation 100 kg/m^2

Etanchéité multicouche 100 "

Isolation thermique 20 "

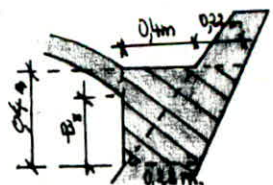
$$P^* = S \cdot 0,24 = 129,710 \text{ t} \quad \frac{0,1 \times 1,2 + 0,12}{0,12} = 0,24 \text{ t/m}^2$$

donc le poids du toit : $P_t = 264,82 \text{ t}$

5. Calcul du poids de la ceinture supérieure

$$V = 2\pi \cdot R \cdot S = 2\pi \cdot 12,75 \cdot \frac{0,62 + 0,28}{2} \cdot 0,4 = 14,42 \text{ m}^3$$

$$\text{d'où } P = V \cdot \gamma_b = 36,05 \text{ t et } P^* = 0,07 \cdot 2\pi \cdot 12,75 \cdot 0,3 = 1,68 \text{ t donc } P = 37,73 \text{ t}$$

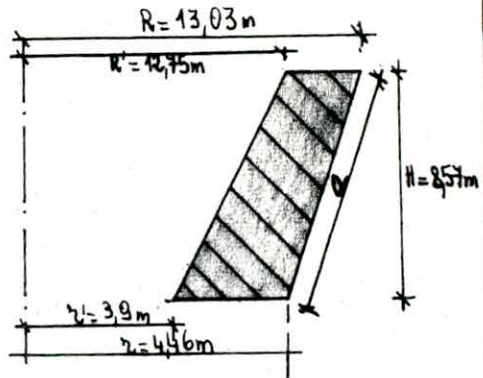


6. Calcul du poids de la paroi de la cuve

$$\begin{cases} R = 13,03 \text{ m} \\ r_1 = 4,46 \text{ m} \\ H = 8,57 \text{ m} \end{cases} \Rightarrow V_1 = \frac{\pi}{3} \cdot 8,57 \cdot (13,03^2 + 4,46^2 + 13,03 \cdot 4,46) = 2223,75 \text{ m}^3$$

$$\begin{cases} R' = 12,75 \text{ m} \\ r_1' = 3,9 \text{ m} \\ H = 8,57 \text{ m} \end{cases} \Rightarrow V_2 = \frac{\pi}{3} \cdot 8,57 \cdot (12,75^2 + 3,9^2 + 12,75 \cdot 3,9) = 2041,67 \text{ m}^3$$

$$\Rightarrow P = (V_1 - V_2) \cdot \gamma_b = 455,2 \text{ t}$$



Etanchéité : Enduit Etanche 50 kg/m²

Isolation thermique 20 "

70 kg/m²

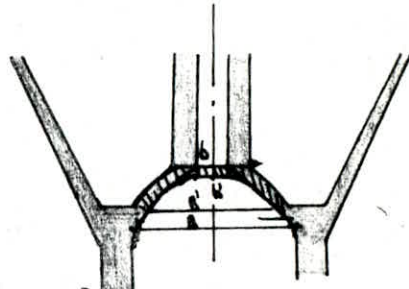
$$S = \pi \cdot (R' - r_1') \cdot a = \pi \cdot (12,75 - 3,9) \cdot 12,37 = 343,92 \text{ m}^2$$

$$\Rightarrow P^* = 0,07 \cdot 343,92 = 24,07 \text{ t}$$

7. Hemisphère du fond :

$$V_1 = \frac{B+b}{2} \cdot 0,82 = 16,37 \text{ m}^3$$

$$\begin{cases} V_2 = \frac{B'+b}{2} \cdot h' \\ B' = \pi \cdot 3^2 = 28,27 \text{ m}^2 \\ B = b = 3,14 \cdot 0,9^2 = 2,54 \text{ m} \\ H = 0,62 \text{ m} \end{cases}$$



$$\text{Volume de l'ouverture (Cheminée)} = \pi \cdot 0,9^2 \cdot 0,15 = 0,382 \text{ m}^3$$

$$\text{donc } V = (V_1 - V_2 - V_{\text{ouvr.}}) = (16,37 - 9,55 - 0,382) = 6,438 \text{ m}^3 \Rightarrow P = V \cdot \gamma_b = 16,095 \text{ t}$$

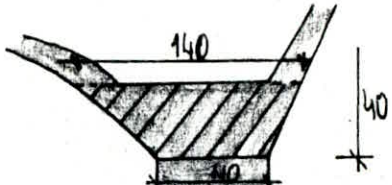
$$\text{Etanchéité : } P^* = 0,07 \cdot S = 0,07 \cdot 2\pi \cdot R \cdot h = 0,07 \cdot 2\pi \cdot 3,45 \cdot 0,15 = 0,2275 \text{ t}$$

$$\text{d'où } P = 16,32 \text{ t}$$

8. Ceinture inférieure :

$$\begin{cases} V = 2\pi \cdot R \cdot S \\ R = 3,9 \text{ m} \end{cases} \quad S = \frac{1,40 + 0,4}{2} \times 0,4 = 0,36 \text{ m}^2$$

$$V = 2\pi \cdot 3,9 \cdot 0,36 = 8,82 \text{ m}^3 \quad \text{d'où } P = 8,82 \cdot 2,5 = 22,05 \text{ t}$$



$$\text{Etanchéité : } S = \pi \cdot (3,9^2 - 3,45^2) = 10,4 \text{ m}^2$$

$$P = 0,07 \cdot S = 0,73 \text{ t}$$

$$\text{d'où } P = 22,78 \text{ t}$$

9. Poids de la tour

La tour comprend le fût (en voile) et 3 dalles de repos

. Poids du fût : $P = \pi \cdot (R^2 - r^2) \cdot \gamma_b \cdot h$

$$\left\{ \begin{array}{l} R=4 \text{m} \\ r=3,6 \text{m} \end{array} \right.$$

$$\Rightarrow P = \pi \cdot (4^2 - 3,6^2) \cdot 27,125 = 646,71 \text{t}$$

$$\left\{ \begin{array}{l} h=27,1 \text{m} \\ P=646,71 \text{t} \end{array} \right.$$

. Poids des 3 dalles : $3 \cdot \frac{\pi}{4} \cdot [7,2^2 - 5,2^2] \cdot 0,125 = 14,61 \text{t}$

Poids de la tour : $P_t = 661,32 \text{t}$

Poids de la cuve vide : $P_v = 9,74 + 23,9 + 17,05 + 264,82 + 479,27 + 16,32 + 37,73 + 22,78$
 $= 871,61 \text{t}$

Poids de la cuve pleine : $2005,58 + 871,61 = 2877,19 \text{t}$

Chapitre : 4

CALCUL DES
ELEMENTS DE
LA CUVE

1. Etude de la coque de couverture :

Pour le calcul de notre coque sphérique incomplète d'épaisseur constante, on utilise la théorie de l'équilibre de membrane. (Guerin p. 388 tome 5).

On considère la partie de la coque située au-dessus d'une parallèle définie par l'angle φ , et on appelle R la résultante totale de la charge affectant cette partie de coque.

$$\text{On a : } 2\pi r_0 N_p \sin \varphi + R = 0 \quad (1)$$

L'équation d'équilibre de translation du poids suivant

la normale donne en un point :

$$\frac{N_p}{R} + \frac{N_\theta}{R} + P = 0 \quad (2)$$

Pour une coque sphérique incomplète d'épaisseur constante :

$$R = 2\pi \int_{r_0}^R a^2 p \sin \varphi d\varphi + 2\pi P a \sin \varphi \quad (\text{fig 3})$$

Dès équations (1) et (2) on a :

$$N_p = -a p \frac{\cos \varphi - \cos \theta}{\sin^2 \varphi} - P \frac{\sin \varphi}{\sin^2 \varphi}$$

$$N_\theta = a p \left(\frac{\cos \varphi - \cos \theta}{\sin^2 \varphi} - \cos \varphi \right) + P \frac{\sin \varphi}{\sin^2 \varphi}$$

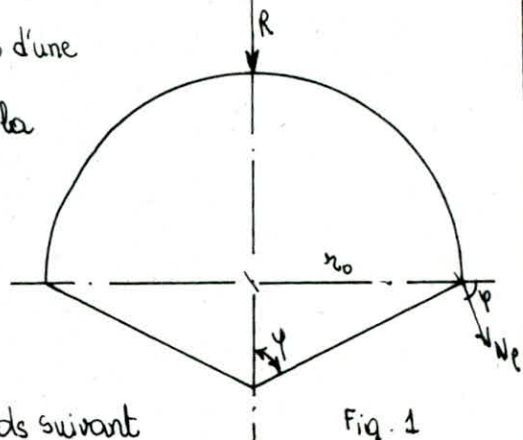


Fig. 1

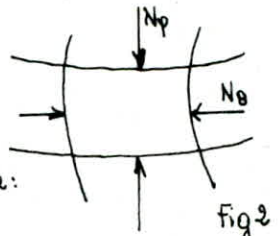


Fig. 2

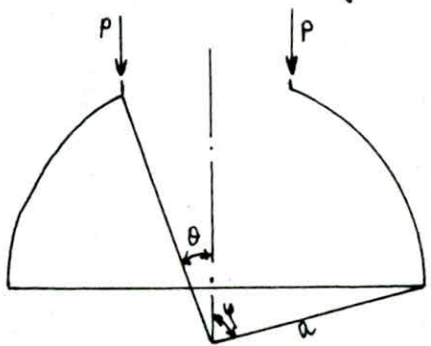


Fig. 3

Application de la méthode :

Poids propre 250 kg/cm²

Etanchéité 100 "

Protection 20 "

Surcharges d'exploitation 120 "

$$490 \text{ kg/m}^2$$

La charge $P = 9740 \text{ Kg}$ est répartie sur une circonference de rayon moyen

$$r = 1,95 \text{ m.}$$

$$P_{/\text{ml}} = \frac{9740}{2\pi \cdot 1,95} = 795 \text{ kg/ml}$$

d'où

$$p = 0,49 \text{ t/m}^2$$

$$P = 0,795 \text{ t/ml}$$

Calcul de φ_0 et φ_1 :

φ_0 : bord sup. de la coupole
 φ_1 : " inf. "

$$\text{Cas A: } \tan \varphi_1 = \frac{r}{R-f} = 0,5319$$

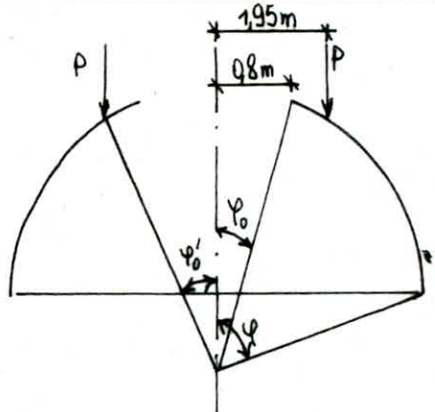
$$\left\{ \begin{array}{l} r = 12,75 \text{ m} \\ f = \frac{3,75}{8} = 3,18 \text{ m} \\ R = 27,15 \text{ m} \end{array} \right.$$

$$\Rightarrow \left\{ \begin{array}{l} \cos \varphi_1 = 0,882 \\ \sin \varphi_1 = 0,47 \end{array} \right.$$

$$\sin \varphi_0 = \frac{0,8}{27,15} = 0,03 \Rightarrow \cos \varphi_0 = 0,999$$

$$\text{Cas B: } \sin \varphi_0' = \frac{1,95}{27,15} = 0,072$$

$$\cos \varphi_0' = 0,997$$



Expressions de N_p et N_b :

$$N_p = -0,49 \cdot 27,15 \cdot \frac{0,999 - 0,882}{0,47} - 0,795 \cdot \frac{0,072}{0,47^2} = -7,305 \text{ t/mel}$$

$$N_b = 0,49 \cdot 27,15 \cdot \left[\frac{0,999 - 0,882}{0,47^2} - 0,882 \right] + 0,795 \cdot \frac{0,072}{0,47^2} = -4,428 \text{ t/mel}$$

Contrainte maximale dans le béton:

$$\sigma_b' = \frac{N_p}{100 \cdot e} = \frac{7,305 \cdot 10^3}{100 \cdot 10} = 7,305 \text{ kg/cm}^2 < \bar{\sigma}_{b0}'$$

Contrainte de cisaillement du béton:

$$V = N_p \cdot \sin \varphi_1 = 7,305 \cdot 0,47 = 3,433 \text{ t/mel} \Rightarrow \tau_b = \frac{V}{100 \cdot e} = \frac{3,433}{100 \cdot 10} = 3,433 \text{ kg/cm}^2 < \bar{\tau}_{b0}$$

Armatures treillis soudées au milieu de l'épaisseur.

• Meridien $A' = 0,3\%$ de la section du béton = $0,3 \cdot e = 3 \text{ cm}^2/\text{mel}$: $8 \text{ T8}/\text{mel}$

• Parallèles: $A'' = 0,5A' = 1,5 \text{ cm}^2/\text{mel}$: $8 \text{ T8}/\text{mel}$.

Sur les appuis on aura un quadrillage $\Phi 10$ d'espacement $e' = 15 \text{ cm}$ pour la jonction coupole-ceinture supérieure le ferrailage sera renforcé par des armatures meridiennes de $\Phi 10$ sur une longueur $d = 14 \text{ m}$.

2. Etude de la paroi de la cuve:

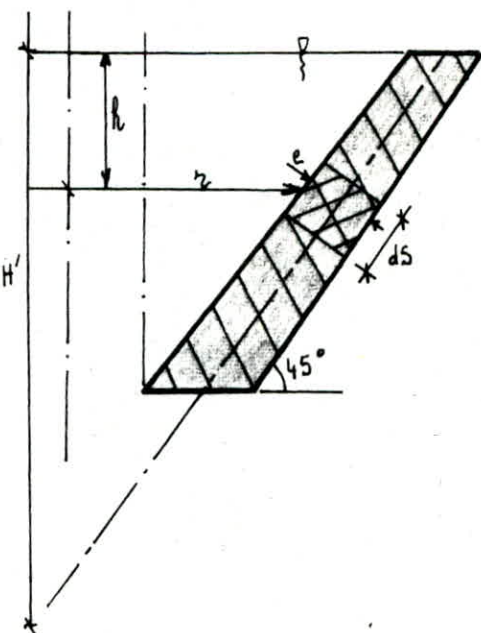
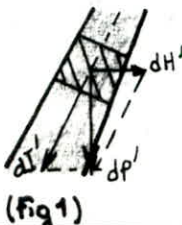
Exposé de la méthode:

Soit un élément ds de la paroi de la cuve,

d'épaisseur moyenne e et de rayon moyen r .

Cet élément est surmonté d'une hauteur R

d'eau. Donc il est sollicité par son propre poids dP et par la pression d'eau dP' .



des figures (1) et (2) on aura :

$$\left\{ \begin{array}{l} dP = \gamma_e \cdot dS \\ dH = \frac{\gamma_e}{bgd} \cdot dS \\ dI = \frac{\gamma_e}{Sind} \cdot dS \end{array} \right.$$

γ_e : poids volumique du B.A.

$$\left\{ \begin{array}{l} dP' = S.h \cdot dS \\ dH' = \frac{S.h}{Sind} \cdot dS \\ dI' = \frac{S.h}{bgd} \cdot dS \end{array} \right.$$

S : poids volumique de l'eau

Les efforts dI, dI' sont des compressions dans la paroi.

Les efforts dH, dH' introduisent une composante tangente $dT = (dH + dH')$. r

$$\text{donc } dT = \frac{r}{Sind} \cdot (S.h + \gamma_e \cdot \cos \alpha) \cdot dS$$

En tenant compte de l'épaisseur la formule devient :

$$dT = \left(\frac{S.h}{Sind} + \frac{0,07}{bgd} + \frac{\gamma_e}{bgd} \right) \cdot r \cdot dS \quad \text{avec } dS = \sqrt{2} \cdot dr$$

$$\text{d'où } dT = (S.h \cdot \sqrt{2} + \gamma_e + 0,07) \cdot \sqrt{2} \cdot r \cdot dr$$

la pente du parement étant de 45° , on peut écrire :

$$\frac{H'-h}{r} = \frac{H'-h}{r} = 1 \Rightarrow H' - h = r \Rightarrow h = H' - r \text{ avec } H' = 12,75 + \frac{0,28}{2} = 12,89 \text{ m}$$

$$\text{donc } h = 12,89 - r$$

La formule devient donc avec : $S = 1,2 \text{ t/m}^3$; $\gamma = 2,5 \text{ t/m}^3$

$$T = (3,535 \cdot e - 24 \cdot r + 34,035) \cdot r \cdot dr$$

Tous les résultats ainsi que le ferrailage sont regroupés dans le tableau "1".

Le ferrailage pour chaque tranche est $A = \frac{T}{F_a}$

L'épaisseur moyenne est calculée directement sur le plan à l'échelle.

Contrainte de traction du béton:

La contrainte de traction dans la paroi est calculée à partir de la section homogène:

$$\sigma_b = \frac{T}{100 e + 15 \cdot A}$$

D'après "le cahier de charges applicable à la construction des réservoirs et cuves en B.A-

Annales de l'ITBTP N° 223-224 Juillet-Aout 1966": La contrainte de traction

calculée dans la section totale rendue homogène d'une paroi en contact avec le

liquide ne devra pas excéder la valeur σ' définie par l'expression : $\sigma'_{bh} \leq \bar{\sigma}_{bh} = 0,5 \sigma_{bh}$.

$\theta = 1$ cas de traction simple

$$\bar{\sigma}_{28}^1 = 22 \text{ b}$$

$$\Rightarrow \bar{\sigma}_{bh}^1 = 1,22 = 22 \text{ b}$$

$$= 22,4 \text{ kg/cm}^2$$

TRANCHES	R (m)	e (m)	r (m)	T (t)	ϕ	$\bar{\sigma}_{bh}^1$	Aacier (mm²)	Arenière (mm²)	nTb	$\bar{\sigma}_b$ (kg/cm²)
1	0 - 0,57	0,05	0,2	12,605	10,705	14	1935	5,332	6,16	4T14 5,11
2	0,57 - 1,57	1,07	0,23	11,82	41,134	"	"	21,35	21,56	14T14 15,68
3	1,57 - 2,57	2,07	0,25	10,82	64,387	"	"	33,87	33,98	32T14 21,4
4	2,57 - 3,57	3,07	0,27	9,82	82,698	20	1700	48,64	69,08	22T20 22,13
5	3,57 - 4,57	4,07	0,3	8,82	96,38	"	"	56,69	87,92	28T20 22,31
6	4,57 - 5,57	5,07	0,317	7,82	104,69	"	"	61,58	100,48	32T20 22,38
7	5,57 - 6,57	6,07	0,334	6,82	108,081	"	"	63,57	100,48	32T20 22,28
8	6,57 - 7,57	7,07	0,36	5,82	106,736	"	"	62,78	81,64	26T20 22,12
9	7,57 - 8,57	8,07	0,384	4,82	100,73	"	"	59,04	62,8	20T20 20,98

"Tableau 1"

Vérification des contraintes :

$$\sigma_a \leq \min \left\{ \begin{array}{l} \frac{2}{3} \cdot \bar{\sigma}_b \\ \max \left\{ \begin{array}{l} \sigma_1 = \frac{K\eta}{\phi} \cdot \frac{\bar{w}_p}{1+10\bar{w}_p} + 300\eta \\ \sigma_2 = 2,4 \cdot \sqrt{\frac{K\eta}{\phi} \cdot \bar{\sigma}_b} + 300\eta \end{array} \right\} \end{array} \right\}$$

Les valeurs de σ_a sont toujours inférieures à σ_b . On aura

$$\sigma_a \leq \min \left\{ \begin{array}{l} \frac{2}{3} \cdot \bar{\sigma}_b = 2800 \text{ kg/cm}^2 \\ \sigma_2 = 2,4 \cdot \sqrt{\frac{K\eta}{\phi} \cdot \bar{\sigma}_b} + 300\eta = 2113,11 \text{ kg/cm}^2 \end{array} \right.$$

donc c'est vérifié.

$$\left. \begin{array}{l} \eta = 1,6 \text{ (H.A.)} \\ \phi = 20 \text{ mm} \\ K = 10^6 \text{ (paroi noyée dans l'eau).} \\ \bar{\sigma}_b = 58,6 \text{ (béton peu contrôlé dosé à 350 kg).} \end{array} \right\}$$

σ_b : la contrainte du béton en traction ne doit pas excéder, d'après le "tableau de charges" la valeur $22,4 \text{ kg/cm}^2$.

Toutes les valeurs de σ_b du tableau vérifient cette condition.

Vérification à la non fragilité :

On calculera le pourcentage d'acier. Il est inutile de faire la vérification pour toutes les tranches de la paroi, mais seulement la tranche la plus défavorable c.a.d celle qui contient le plus d'acier.

Dans notre cas, c'est la tranche 6 :

$$A = 100,48 \text{ cm}^2$$

$$\bar{w} = \frac{A}{B} = \frac{100,48}{4483,05} = 2,24 \% > 0,69 \cdot \frac{\bar{\sigma}_b}{\bar{\sigma}_{bh}} = 0,69 \cdot \frac{58,6}{42,00} = 0,37 \%$$

C'est vérifié.

Effort Normal

L'effort Normal est donné par :

$$dN = (dI + dI' + dI''). \cdot 2\pi r \quad dS = \sqrt{2} \cdot dr$$

$$dN = \left(\frac{\delta h}{tg\alpha} \cdot dS + \frac{\gamma \cdot e}{\sin\alpha} \cdot dS + \frac{0,07}{\sin\alpha} \cdot dS \right) \cdot 2\pi r$$

$$dN = [1,2 \cdot (12,89 - r) \cdot 2 \cdot \sqrt{2} + 25,4 \cdot e + 0,07 \cdot 2 \cdot 2] \cdot \pi \cdot r \cdot dr$$

$$N = [10 \cdot e - 3,4 \cdot r + 44,03] \cdot \pi \cdot r \cdot dr$$

l'effort normal N est calculé en utilisant l'expression ci-dessus en lui ajoutant les efforts normaux des tranches supérieures. Sans oublier d'ajouter à l'effort de la 1^{re} tranche, celui transmis par l'aerotière, la capote et la ceinture supérieure.

$$N_0 = N_{01} + N_{02} + N_{03}$$

$$\left\{ \begin{array}{l} N_{01} = \frac{P_c}{\cos 45} = P_c \cdot \sqrt{2} = 37,73 \cdot \sqrt{2} = 53,36 \text{ t} \\ N_{02} = \frac{P_a}{\cos 45} = P_a \cdot \sqrt{2} = 23,9 \cdot \sqrt{2} = 33,8 \text{ t} \end{array} \right.$$

$$N_0 = 476,16 \text{ t}$$

$$\left\{ \begin{array}{l} N_{03} = \frac{N_p \cdot \sin \varphi \cdot 2\pi r}{\cos 45} = 389 \text{ t} \end{array} \right.$$

Contrainte de compression du béton

La contrainte de compression du béton dans chaque anneau est : $\sigma_b^t = \frac{\Delta N}{S}$

S: section transversale de la paroi de la curv à la côte considérée :

$$S = 2\pi r \cdot \frac{e_i}{\cos\alpha} = 2\pi r \cdot \sqrt{2} \cdot e_i = 8,885 \cdot e_i \cdot r$$

Tranche	R (m)	r (m)	e (m)	N (t)	ΣN (t)	S (cm^2)	σ_b^t (kg/cm^2)	$nT\phi$	A^t (cm^2)
1 0-0,57	0,285	12,605	0,2	71,62	547,78	92,4	2,44	(2x10)T ₁₄	30,78
2 0,57-1,57	1,07	11,82	0,33	228,074	775,854	94,15	3,21	(2x10)T ₁₄	"
3 1,57-2,57	2,07	10,82	0,25	331,15	1107,004	94,03	4,6	(2x10)T ₁₄	"
4 2,57-3,57	3,07	9,82	0,27	411,606	1518,61	23,55	6,45	(2x10)T ₁₄	"
5 3,57-4,57	4,07	8,82	0,30	472,214	1990,834	23,51	8,46	(2x10)T ₁₄	"
6 4,57-5,57	5,07	7,82	0,317	506,38	2497,204	22,02	11,34	(2x5)T ₁₄	15,39
7 5,57-6,57	6,07	6,82	0,334	518,115	3015,319	20,24	14,89	"	"
8 6,57-7,57	7,07	5,82	0,36	509,065	3524,384	18,62	18,92	"	"
9 7,57-8,57	8,07	4,82	0,384	476,715	4001,1	16,44	24,33	"	"

- Remarques:
- La contrainte de compression du béton reste toujours inférieure à la contrainte admissible $\bar{\sigma}_{bo} = 76,5 \text{ kg/cm}^2$.
 - D'après le cahier de charges applicable à la construction des réservoirs et cuves en B.A : "Quelque soit le résultat des calculs, il est prévu des armatures de répartition qui auront, par unité de longueur, une section totale au moins égale au $(\frac{1}{4})$ de celle des armatures principales".
 - "Dans le cas des parois tendues des réservoirs ou cuves à axe de révolution, lorsque l'épaisseur de la paroi dépassera 15 cm, les armatures principales et les aciers de répartition seront disposées en deux râpes distinctes, de façon à former un double quadrillage. Chaque quadrillage sera placé à proximité de l'une et de l'autre des surfaces de la paroi, en respectant les épaisseurs minimales d'enrobage."
 - "La section totale des armatures de répartition devra varier progressivement afin d'éviter les fissures de désolidarisation."

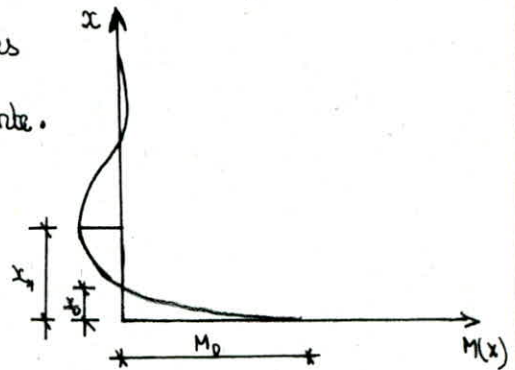
Calcul de la paroi inférieure:

Dans le calcul précédent, on a négligé l'influence de l'enca斯特ement de l'extrémité inférieure sur le fond qui entraîne, dans une certaine mesure, la déformation des parois sous l'influence des efforts tangents calculés précédemment. On appliquera la méthode Hangan - Soare (exposée dans le livre GUERRIN Tome 6) qui admet que l'enca斯特ement est élastique. Tout au moins cette méthode est théoriquement conçue pour les cuves à épaisseur constante, mais même pour des épaisseurs variables elle reste satisfaisante.

Calcul:

Moment à l'encastration inférieur:

$$M_0 = K \cdot S \cdot h^3 = K \cdot (12 \cdot \bar{w}) \cdot h^3$$



K : constante donnée par l'abaque (Guerin tome 6). en fonction ($\beta h, \frac{e}{e'}$)

e : épaisseur de la paroi au voisinage du fond ($e = 56,56 \text{ cm}$)

e' : épaisseur du fond : hemisphere du fond. ($e' = 0,15 \text{ m}$) .

R : hauteur maximale de l'eau. ($h = 8,57 \text{ m}$)

$$\beta = \frac{\sqrt[4]{3 \cdot (1 - \nu^2)}}{\sqrt{R \cdot e}} \quad (\text{donnée à la page 211 Guerin t6})$$

ν : coeff de poisson = 0,15

R : rayon au voisinage du cône de fond ($3,3 \text{ m}$)

$$\beta = \frac{\sqrt[4]{3 \cdot (1 - 0,15^2)}}{\sqrt{3,3 \cdot 0,56}} = 0,96 \quad \left. \begin{array}{l} \beta \cdot h = 0,96 \cdot 8,57 = 8,22 \\ \frac{e}{e'} = \frac{0,56}{0,15} = 3,74 \end{array} \right\} \Rightarrow K = 0,0008$$

$$\text{d'où } M_0 = 0,0008 \cdot (1,2 \cdot 10^3) \cdot (8,57)^3 = 604,25 \text{ kg.m}$$

Pour le ferailage on prend $h_t = 56 \text{ cm} \Rightarrow R = 50 \text{ cm}$

le bras de levier du couple élastique $z = \frac{7}{8} \cdot h = 43,75 \text{ cm}$

$$A = \frac{M_0}{z \cdot E_a} = \frac{604,25 \cdot 10^3}{43,75 \cdot 1935} = 971 \text{ cm}^2 \quad A = 2T14 = 308 \text{ cm}^2$$

Donc l'armature de répartition est largement suffisante
(2x7T14)

L'abscisse du moment fléchissant nul

$$x_0 = K_0 \cdot h \quad K_0: \text{coeff donné par l'abaque A.G. p230 en fonction de } \beta h \text{ et } \frac{e}{e_0}$$

$$K_0 = 0,014 \quad \text{donc } x_0 = 0,014 \times 8,57 = 0,12 \text{ m.}$$

Moment fléchissant maximal :

$$M' = -K' \cdot (1,2 \bar{w}) \cdot h^3 \quad K': \text{coeff donné par l'abaque A.G.p232 en fonction de } \beta h \text{ et } \frac{e}{e_0}$$

$$K' = 0,0022 \Rightarrow M' = -0,0022 \cdot (1,2 \cdot 10^3) \cdot (8,57)^3 = 1661,67 \text{ kgm/m}$$

Abscisse du moment négatif minimal :

$$x_1 = K_1 \cdot h \quad \text{l'abaque (A.G.p231) donne } K_1 \Rightarrow K_1 = 0,11$$

$$\text{d'où } x_1 = 0,11 \cdot 8,57 = 0,94 \text{ m} \quad \text{l'épaisseur de la paroi en } x_1 \text{ est: } e = 37 \text{ cm}$$

$$\text{d'où } h_t = 37 \text{ cm} \Rightarrow h = 33 \text{ cm.}$$

$$\text{La section d'armatures tendues en } x_1 \text{ est } A = \frac{1661,67}{\frac{7}{8} \cdot 33 \cdot 1935} = 2,97 \text{ cm}^2$$

La section d'armatures longitudinales est largement suffisante.

Abscisse de l'effort maximal suivant les vues:

$$x_2 = K_2 \cdot h \quad K_2 \text{ est donné par l'abaque p233.}$$

$$K_2 = 0,23 \Rightarrow x_2 = 0,23 \cdot 8,57 = 1,97 \text{ m}$$

l'épaisseur en x_2 : $e_2 = 35 \text{ cm} \Rightarrow h_t = 35 \text{ cm} \Rightarrow h = 31 \text{ cm}$

le rayon moyen en x_2 : $r = 6,32 \text{ m}$

Pour une tranche de 1,00 m ($dr = 1$)

$$T = (3,535 \cdot 0,35 - 2,4 \cdot 6,32 + 31,035) \cdot 6,32 \cdot 1 = 108,08 \text{ t}$$

Remarque: Cet effort est le même trouvé précédemment, le ferraillage est donc suffisant.

3- Calcul de la ceinture supérieure:

Elle a pour rôle d'équilibrer la composante horizontale de la poussée de la couche de la couverture et de l'acrotière et une poussée due du poids de l'eau.

$$Q_1 = K_p \cdot \cos \varphi_1 = 7,305 \cdot 0,882 = 6,44 \text{ t/ml.}$$

La poussée de l'eau atteint au point inférieur de la ceinture.

$$Q_2 = \bar{w} \cdot \frac{H^2}{2} \quad \text{avec } \bar{w} = 1,2 \times 1 = 1,2 \text{ t/ml} \quad (\text{elle est majorée car c'est une surcharge variable}).$$

$$Q_2 = 1,2 \cdot \frac{0,3^2}{2} = 0,054 \text{ t/ml} \quad H = 0,3 \text{ m} \quad (\text{hauteur de la ceinture}).$$

poids de l'acrotière:

$$\left. \begin{array}{l} P = 23,9 \text{ t} \\ R = 2\pi \cdot r = 2\pi \cdot 12,75 = 80,11 \text{ m} \end{array} \right\} \Rightarrow Q_3 = \frac{P}{R} = 0,298 \text{ t/ml}$$

la traction dans la ceinture:

$$T = Q \cdot r = (6,44 + 0,054 + 0,298) \cdot 12,75 = 86,6 \text{ t}$$

$$\bar{\sigma}_a = 1700 \text{ kg/cm}^2$$

$$A = \frac{T}{\bar{\sigma}_a} = \frac{86600}{1700} = 50,94 \text{ cm}^2 \Rightarrow \lambda = 17 T 20 = 53,38 \text{ cm}^2$$

Vérification à la non fragilité:

$$\left. \begin{array}{l} \bar{w}_f = \frac{A}{B} \\ A = 53,38 \text{ cm}^2 \\ B = 1800 \text{ cm}^2 \end{array} \right\} \Rightarrow \bar{w}_f = \frac{53,38}{1800} = 2,96 \% > 0,37 \% \quad \text{c'est vérifié.}$$

Vérification à la fissuration :

$$\bar{\sigma}_a \leq \min \left\{ \frac{2}{3} \cdot \bar{\sigma}_{en} = 2800 \text{ kg/cm}^2 \right.$$

$$\left. \max \left\{ \begin{array}{l} \bar{\sigma}_1 \\ \bar{\sigma}_2 = 2,4 \cdot \sqrt{\frac{K\eta}{\phi}} \cdot \bar{\sigma}_b + 300 \eta = 213,11 \end{array} \right. \right\}$$

c'est vérifié.

$\left\{ \begin{array}{l} K=10^6 \text{ (paroi nage dans l'eau)} \\ \eta=1,6 \\ \phi=20 \end{array} \right.$

$\left\{ \begin{array}{l} \bar{\sigma}_b = 58 \text{ b} \end{array} \right.$

4. Calcul de la cheminée :

$$H_{eau} = 8,57 - 0,82 = 7,75 \text{ m}$$

la cheminée est soumise à la compression sous l'effet de la poussée d'eau.

$$w = 1,2 \text{ t/m}^3$$

$$q = w \cdot H = 1,2 \cdot 7,75 = 9,3 \text{ t/m}$$

Soit une hauteur de 1 m. L'effort de compression résultant est :

$$H = q \cdot n = 9,3 \cdot 0,9 \cdot 1 = 8,37 \text{ t} \Rightarrow A = \frac{H}{\bar{\sigma}_a} = \frac{8370}{1700} = 4,92 \text{ cm}^2$$

la contrainte de compression dans le béton :

$$\bar{\sigma}_b' = \frac{8370}{100 \cdot 10} = 8,37 < \bar{\sigma}_{bo}'$$

Ferrailage : le ferrailage est foible, car la contrainte de compression est très petite devant la contrainte de compression admissible.

Cercles : $A' = 0,3 \cdot 10 = 3 \text{ cm}^2 : 2,4 \text{ T8 / ml}$

A. vert. : $\frac{1}{2} A' = 1,5 \text{ cm}^2 : 4 \text{ T8 / ml}$

N.B. : Les armatures ont pour but de combattre et à empêcher les fissurations qui doivent assurer la résistance proprement dite.

5. Calcul de la coupole inférieure :

Le même calcul se fera que pour la coupole du toit. L'épaisseur de la coupole est 15 cm. Condition de coffrage : $\frac{l}{f} \leq f \leq \frac{l}{10}$ avec $l = 2n = 2 \cdot 3,45 = 6,9 \text{ m}$.

$$f = \frac{l}{8} = \frac{6,9}{8} = 0,862 \text{ m.}$$

Le rayon de la coupole est déterminé par :

$$R = \frac{r^2 + f^2}{2f} = \frac{3,45^2 + 0,862^2}{2 \cdot 0,862} = 7,33 \text{ m}$$

On rappelle les formules données par TIMOSHENKO :

$$N_p = -P \cdot R \cdot \frac{\cos \varphi_0 - \cos \varphi}{\sin^2 \varphi} - P \cdot \frac{\sin \varphi_0}{\sin^2 \varphi}$$

$$N_\theta = P \cdot R \cdot \left(\frac{\cos \varphi_0 - \cos \varphi}{\sin^2 \varphi} - \cos \varphi \right) + P \cdot \frac{\sin \varphi_0}{\sin^2 \varphi}$$

Charges à prendre en compte :

Poids propre 250 kg/m²

Étanchéité 100 "

Protection 20 "

Poids d'eau moyen , $1300 \cdot 8,42 = 10474 \text{ kg/m}^2$

 10474 kg/m²

Charge répartie de la cheminée par ml :

hauteur de la cheminée : $8,57 + 3,18 - 0,862 = 10,888 \text{ m}$.

avec $\begin{cases} f_1 = 3,18 & : \text{fleche de la coupole supérieure.} \\ f_2 = 0,862 & : " " " \text{ inférieure.} \end{cases}$

d'où le poids de la cheminée (déjà calculé) : 17,05 t répartie sur une circonference de rayon moyen = 0,85 m.

$$\Rightarrow P_{ml} = \frac{17,05}{2\pi \cdot 0,85} = 3,19 \text{ t/ml}$$

$$\boxed{P_{ml} = 3,19 \text{ t/ml}}$$

$$\boxed{p = 10,474 \text{ t/m}^2}$$

Calcul de φ_0 et φ_1 :

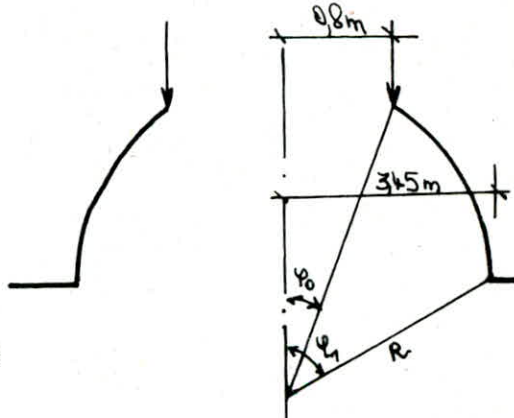
φ_0 : bord supérieur de la coupole.

φ_1 : " inférieure " " " .

$$\text{On a : } \sin \varphi_1 = \frac{3,45}{R} = \frac{3,45}{7,33} = 0,47$$

$$\cos \varphi_1 = 0,882$$

$$\sin \varphi_0 = \frac{0,8}{7,33} = 0,109 \Rightarrow \cos \varphi_0 = 0,994$$



Expression de N_p et N_θ :

$$N_p = -10,474 \cdot 7,33 \cdot \frac{0,994 - 0,882}{0,47^2} - 3,19 \cdot \frac{0,109}{0,47^2} = -40,5 \text{ t/ml}$$

$$N_0 = 10,474 \cdot 7,33 \cdot \left(\frac{0,994 - 0,882}{0,47} - 0,896 \right) + 3,19 \cdot \frac{0,109}{0,47} = -28,29 \text{ t/ml}$$

Contrainte maximale dans le béton :

$$\bar{\sigma}_b' = \frac{N_0}{100 \cdot e} = \frac{40,50 \cdot 10^3}{100 \cdot 15} = 27 \text{ kg/cm}^2 < \bar{\sigma}_{b_0}'$$

Contrainte tangente du béton

$$\tau_b = \frac{N_0 \cdot \sin \varphi}{100 \cdot e} = \frac{40,50 \cdot 10^3 \cdot 0,47}{100 \cdot 15} = 12,69 \text{ kg/cm}^2 \leq 22,2 \text{ kg/cm}^2$$

Armatures :

• Méridiennes : $A' = 0,5\%$ de la section du béton : $0,5 \cdot 15 = 7,5 \text{ cm}^2 : 2 \times 67,2 \text{ t/ml}$

• Parallèles : $A'' = \frac{1}{2} \cdot A' = 2,25 \text{ cm}^2 : 2 \times 67,10 \text{ t/ml}$

C'est une coupole moyennement chargée ; le ferraillage primaire aura tendance à s'opposer : - aux efforts de retrait - de dissymétrie ainsi qu'aux variations de pressions d'eau.

6. Calcul de la ceinture inférieure :

N' : effort de compression à la base du tronc de cône.

N'' : " Normal dans la coupole du fond.

$$N' = 4001,1 \text{ t} \Rightarrow N' = \frac{4001,1}{2\pi \cdot 3,85} = 265,4 \text{ t}$$

$$N'' = 40,50 \text{ t/ml}$$

$$\{ Q' = N' \cdot \frac{\sqrt{2}}{2} = 116,95 \text{ t/ml}$$

$$\{ V' = 116,95 \text{ t/ml} .$$

$$\{ Q'' = N'' \cdot \cos \varphi_1 = 40,50 \cdot 0,882 = 35,72 \text{ t/ml}$$

$$\{ V'' = N'' \cdot \sin \varphi_1 = 40,50 \cdot 0,47 = 19,03 \text{ t/ml}$$

$$Q' - Q'' = 81,23 \text{ t/ml} .$$

L'effort tangentiel : $C' = 81,23 \cdot 3,85 = 312,73 \text{ t}$

Pour le calcul des armatures ; certains constructeurs cherchent à équilibrer la compression due au tronc de cône et la traction due à la coupole de fond de manière à obtenir un état de tension aussi voisin que possible de l'état neutre. Certains

considèrent que l'on ne doit pas composer les deux poussées horizontales et ne prendre en compte que la traction due à la calotte de fond intérieure car ils ont constaté des fissures radiales au niveau du tronc de cône au voisinage de la ceinture dans quelques réservoirs où précisément l'armature de ceinture avait été calculée en admettant une compensation partielle des poussées.

Au total, devant se placer dans les conditions où le risque est le plus grand, il paraît prudent de calculer la ceinture pour la plus grande des deux poussées :

- Soit traction de la coupole de fond.

- Soit différence entre la compression du tronc de cône et la traction de la coupole.

a - Traction de la coupole :

$$Q'' = 35,72 \text{ t}/\text{ml}$$

$$\Rightarrow T = Q'' \cdot r = 35,72 \cdot 3,85 = 137,522 \text{ t}$$

$$A = \frac{T}{\frac{F}{L_0}} = \frac{137,522 \cdot 10^3}{1700} = 80,89 \text{ cm}^2 \quad : A = 26 \text{ T20} = 81,64 \text{ cm}^2$$

Remarque : M^e Bonneville a fait la remarque que le ferrailage de la ceinture basse est excessif, et les fissurations sont dues à des moments résiduels dans la ceinture.

b - différence entre la compression du tronc de cône et la traction de la coupole :

$$Q' - Q'' = 81,23 \text{ t}$$

L'effort tangentiel : $C' = 81,23 \cdot 3,85 = 312,735 \text{ t}$

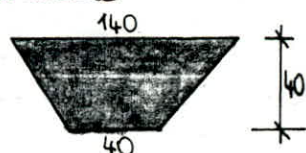
$$\begin{aligned} \text{d'où : } A' &= \frac{1}{25} \left(\frac{C'}{B_{60}} - B \right) = \frac{1}{25} \left(\frac{312735}{76,5} - 3600 \right) \\ &= 32,53 \text{ cm}^2 \end{aligned}$$

$$\text{d'où } A : 11 \text{ T20} = 34,54 \text{ cm}^2$$

B: section de la ceinture

$$B = \frac{140+40}{2} \times 40$$

$$B = 3600 \text{ cm}^2$$



On prendra donc : $A = 26 \text{ T20} = 81,64 \text{ cm}^2$

Vérification à la fissuration : c'est vérifié

Vérification à la non fragilité :

$$A = 81,64 \text{ cm}^2 \quad B = 3600 \text{ cm}^2$$

$$w_f = \frac{A}{B} = \frac{81,64}{3600} = 2,26\% > 0,36\%$$

c'est vérifié

Calcul du lanternau

1) Dalle de couverture du lanternau :

$$R = 2,1 \text{ m}$$

$$e_p = 8 \text{ cm}$$

charges en compte : - poids propre - surcharge (neige, matériel géodesique...)
ces charges engendrent généralement des moments négligeables, on choisit donc un ferraillage forfaitaire :

$$A_{\text{inf}} = A_{\text{sup}} = 4 \text{T10 / ml}$$

$$\text{Cercles} : 5 \text{T10 / ml}$$

2) Poteaux : dimensions : 25x25 cm la section d'acier forfaitaire : 4T10/ml

3) Ceinture supérieure sous dalle :

$$A_{\text{verticale}} : 8 \text{T10 / ml}$$

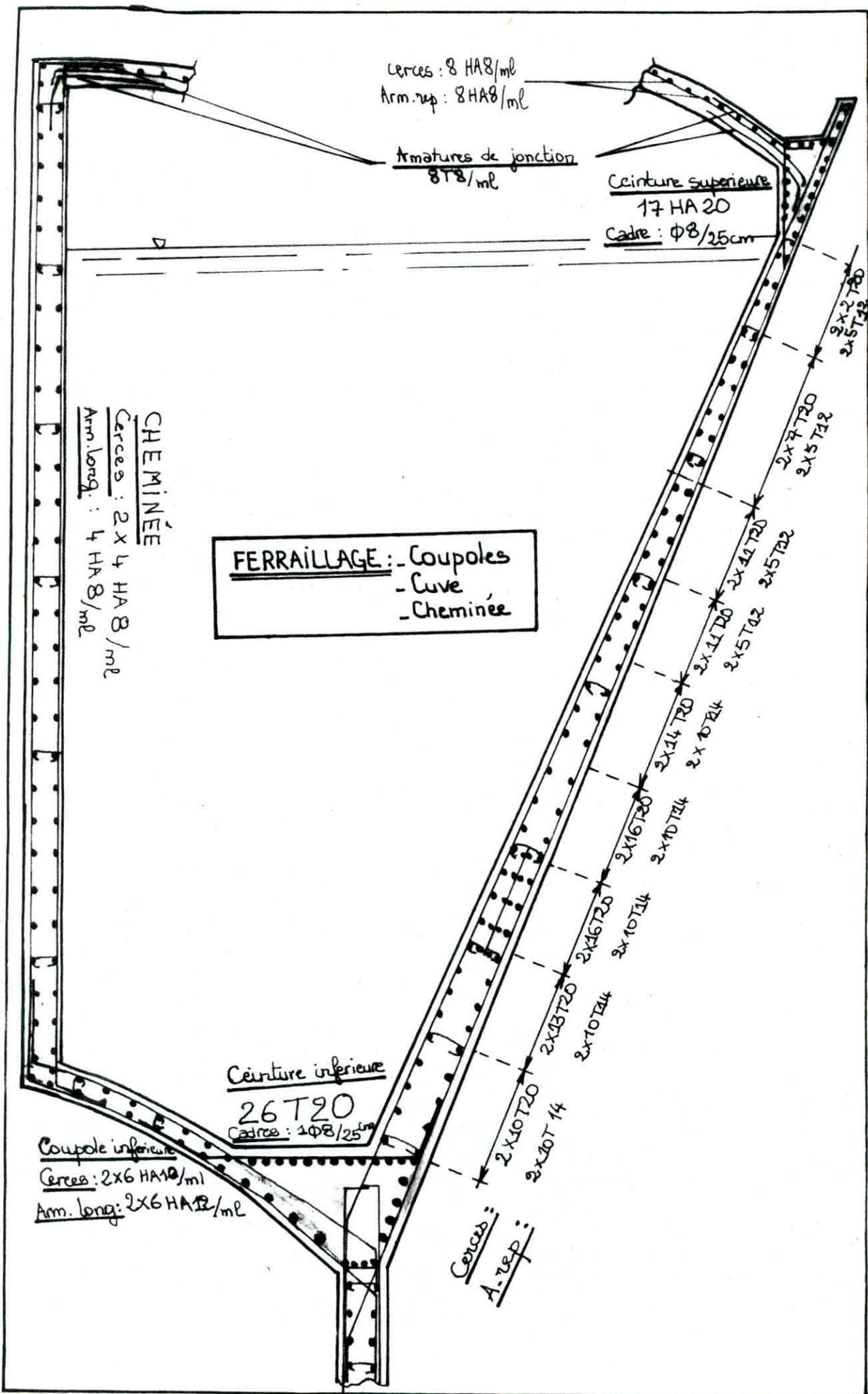
$$A_{\text{horiz. (urus)}} : 8 \text{T10 / ml}$$

C'est le même ferraillage adopté pour la ceinture inférieure sous poteaux.

Acrotère :

l'effet du vent sur l'acrotère est négligeable, la contrainte de compression à la base de son encastrement est très faible ; elle sera armée par le prolongement des aciers de la dalle, soit une section qui correspond à $5 \text{T10 / ml} = A_{\text{vert.}}$.

$$\text{Cercles} : 2 \text{ ou } 3 \text{T10}$$



Chapitre : 6

ETUDE
AU
VENT

Determination de la période propre de vibration de l'ouvrage :

On se propose de déterminer la période avec deux méthodes différentes.

1^{re} Méthode :

Masse concentrée sur un support de masse non négligeable (Marius Diver).

$$T = 2\pi \cdot \sqrt{\frac{P' \cdot h^3}{g \cdot 3EI}} \quad \text{avec } P' = P + \frac{33}{140} \cdot p \cdot h$$

h: hauteur du support comptée de l'enca斯特rement au c.d.g
de la masse oscillante.

I: moment d'inertie de la section transversale du support.

E: module d'élasticité instantané.

P: poids de la masse concentrée.

p: poids du support par unité de longueur (kg/m).

Cuve vide :

- dalle circulaire	$\bar{z}_1 = 39,84 \text{ m}$	$P_1 = 5,87 \text{ t}$
- Poteaux sous dalles	$\bar{z}_2 = 38,7 \text{ m}$	$P_2 = 2,25 \text{ t}$
- Ceinture sur coupole	$\bar{z}_3 = 37,69 \text{ m}$	$P_3 = 1,62 \text{ t}$
- Coupole de couverture	$\bar{z}_4 = 35,77 \text{ m}$	$P_4 = 264,88 \text{ t}$
- Acrotère	$\bar{z}_5 = 34,7 \text{ m}$	$P_5 = 23,9 \text{ t}$
- Ceinture supérieure	$\bar{z}_6 = 34,27 \text{ m}$	$P_6 = 37,73 \text{ t}$
- Cuve	$\bar{z}_7 = 29,725 \text{ m}$	$P_7 = 479,27 \text{ t}$
- Cheminée	$\bar{z}_8 = 31,9 \text{ m}$	$P_8 = 17,05 \text{ t}$
- Ceinture inférieure	$\bar{z}_9 = 25,2 \text{ m}$	$P_9 = 22,78 \text{ t}$
- Hémisphère de fond	$\bar{z}_{10} = 26,18 \text{ m}$	$P_{10} = 16,32 \text{ t}$
		$P_T = 871,61 \text{ t}$

$$Z_G = \frac{\sum P_i \bar{z}_i}{\sum P_i} = 31,86 \text{ m}$$

$$\text{d'où } Z_G = 31,86 + 2,1 = 33,96 \text{ m}$$

$$\text{et } Z_{(\text{au})} = 32,71 \text{ m}.$$

$$P = \frac{\pi}{4} \cdot (D_e^2 - D_i^2) \cdot S_b = \frac{\pi}{4} \cdot (8^2 - 7^2) \cdot 2,5 = 23,86 \text{ Nm}$$

$$I = \frac{\pi}{4} \cdot (D_e^4 - D_i^4) = \frac{\pi}{64} \cdot (8^4 - 7^4) = 69,14 \text{ m}^4$$

$$E_i = 2100 \cdot \sqrt{528} = 2100 \cdot \sqrt{102300} = 367350 \text{ kg/cm}^2$$

a) Cuve vide + la moitié du fût :

$$\bar{z} = \frac{871,61 \cdot 33,96 + 23,86 \cdot 13,55 \cdot 20,32 + 4,87 \cdot 2 \cdot 19,6}{871,61 + 23,86 \cdot 13,55 + 4,87 \cdot 2} = 30,18 \text{ m}$$

$$P' = 1204,65 + \frac{33}{140} \cdot 23,86 \cdot 30,18 = 1374,38 \text{ t}$$

$$T = 2\pi \sqrt{\frac{1374,38 \cdot (30,18)^3}{3 \cdot 9,81 \cdot 691,4 \cdot 367350}} = 0,446 \text{ s}$$

b) Cuve vide + $\frac{1}{3}$ fût

$$\bar{z} = \frac{871,61 \cdot 33,96 + 23,86 \cdot 9,03 \cdot 22,575 + 4,87 \cdot 23,1}{871,61 + 23,86 \cdot 9,03 + 4,87} = 31,66 \text{ m}$$

$$P' = 1019,9 + \frac{33}{140} \cdot 23,86 \cdot 31,66 = 1270 \text{ t}$$

$$T = 2\pi \sqrt{\frac{1270 \cdot (31,66)^3}{3 \cdot 9,81 \cdot 691,4 \cdot 367350}} = 0,461 \text{ s}$$

c) Cuve pleine + $\frac{1}{2}$ fût

$$\bar{z} = \frac{1204,65 \cdot 30,18 + 2005,58 \cdot 32,71}{1204,65 + 2005,58} = 31,77 \text{ m}$$

$$P' = 3210,23 + \frac{33}{140} \cdot 23,86 \cdot 31,76 = 3389 \text{ t}$$

$$T = 2\pi \sqrt{\frac{3389 \cdot (31,77)^3}{3 \cdot 9,81 \cdot 691,4 \cdot 367350}} = 0,760 \text{ s}$$

d) Cuve pleine + $\frac{1}{3}$ fût

$$\bar{z} = \frac{1019,9 \cdot 31,66 + 2005,58 \cdot 32,71}{1019,9 + 2005,58} = 32,40 \text{ m}$$

$$P' = 3025,48 + \frac{33}{140} \cdot 23,86 \cdot 32,35 = 3207,72 \text{ t}$$

$$T = 2\pi \sqrt{\frac{3207,72 \cdot (32,4)}{3 \cdot 9,81 \cdot 691,4 \cdot 367350}} = 0,761 \text{ s}$$

Deuxième méthode : (Méthode RAYLEIGH).

Elle est basée sur la conservation d'énergie et suppose les systèmes non amortis conservatifs. Mais compte tenu de l'influence négligeable de l'amortissement sur les valeurs des pulsations propres, elle peut être utilisée pour le calcul de

Chapitre : 5

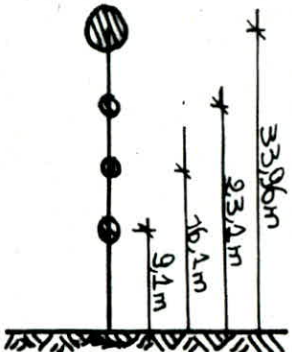
EVALUATION
DE LA
PERIODE PROPRE

la pulsation fondamentale d'un système oscillant ayant un nombre fini ou infini de degré de liberté.

Domaine d'application:

Elle est très utile pour la détermination du premier mode fondamental, son utilisation pour le mode supérieur est très laborieuse.

Notons que cette méthode est très pratique pour un système oscillant ayant plusieurs degrés de liberté.



Soient P_1, P_2, P_3, P_4 les poids supposés concentrés au centre de gravité de chaque tronçon. On imagine la structure retournée de 90° dans le champ de la pesanteur. Soient y_1, y_2, y_3, y_4 les fléches prises par les diverses masses en supposant que les déformations restent entièrement élastiques.

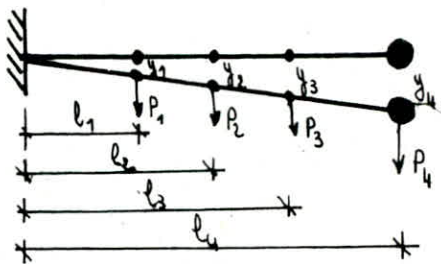
La période est donnée par :

$$T = 2\pi \sqrt{\frac{\sum P_i y_i^2}{g \cdot \sum P_i \cdot y_i}}$$

Le déplacement en "i" dû à une force unitaire appliquée en "j" est donné par :

$$x_{ij} = S_{ij} = \frac{1}{EI} \left[\frac{l_i^2}{2} \left(l_j - \frac{l_i}{3} \right) \right] = \frac{\Delta_{ij}}{EI}$$

On en déduit les déplacements : $y_i = \frac{\sum P_i \cdot \Delta_{ij}}{E \cdot I}$



Calcul des différentes masses

$$P_1 = 4,87 + 23,86 \cdot 8,05 = 196,94 \text{ t} \quad \quad l_1 = 9,1 \text{ m}$$

$$P_2 = 4,87 + 23,86 \cdot 7 = 171,89 \text{ t} \quad \quad l_2 = 16,1 \text{ m}$$

$$P_3 = 4,87 + 23,86 \cdot 5,5 = 136,1 \text{ t} \quad \quad l_3 = 23,1 \text{ m}$$

$$P_4 = 871,61 + 23,86 \cdot 2 = 908,13 \text{ t} \quad \quad l_4 = 33,96 \text{ m}$$

a) Cuve vide:

Les valeurs de (Δ_{ij}) sont regroupées dans le tableau ci-dessous :

$i \backslash j$	1	2	3	4
1	251,19	541,02	830,86	1280,93
2	541,02	1391,09	2298,32	3707,13
3	830,86	2298,32	4108,79	7008,9
4	1280,93	3707,13	7008,96	13066,68

Les déplacements sont données par

$$y_i = \sum_{j=1}^4 \frac{P_j \Delta_{ij}}{EI}$$

$$E = 367350 \text{ kg/cm}^2$$

$$I = 69,14 \text{ cm}^4$$

$$\left\{ \begin{array}{l} y_1 = 0,00558 \text{ m} \\ y_2 = 0,01584 \text{ m} \end{array} \right.$$

$$\left\{ \begin{array}{l} y_3 = 0,02946 \text{ m} \\ y_4 = 0,0539 \text{ m} \end{array} \right.$$

$$\text{On en déduit donc } T = 2\pi \cdot \sqrt{\frac{\sum P_i y_i^2}{g \cdot \sum P_i y_i}} = 2\pi \cdot \sqrt{\frac{2805}{9,8 \cdot 56,77}} = 0,44 \text{ s}$$

b) Cuve pleine

On applique les mêmes formules sauf que : $P_4 = 2913,78$ et $l_4 = 32,03 \text{ m}$

$i \backslash j$	1	2	3	4
1	251,19	541,02	830,86	1244,08
2	541,02	1391,09	2298,32	3591,78
3	830,86	2298,32	4108,79	6771,51
4	1244,08	3591,78	6771,51	12066,53

d'où les déplacements :

$$y_1 = 0,0156 \text{ m}$$

$$y_2 = 0,0438 \text{ m}$$

$$y_3 = 0,085 \text{ m}$$

$$y_4 = 0,146 \text{ m}$$

$$\text{On en déduit la période (cuve pleine)} : T = 2\pi \cdot \sqrt{\frac{63,49}{981,444,1}} = 0,76 \text{ s}$$

Calcul du coefficient de participation modale :

$$\eta^{(i)} = \frac{(\sum m_i x_i^{(i)})^2}{\sum m_i \cdot \sum m_i x_i^{(i)2}} \Rightarrow \left\{ \begin{array}{l} \eta_1^{(1)} = \frac{(54,84)^2}{1195,727 \cdot (3,033)} = 83\% \\ \eta_4^{(1)} = \frac{(475,63)^2}{3201,307 \cdot (75,21)} = 93,8\% \end{array} \right.$$

le coef^t de participation modale du 1^{er} mode est supérieur à 80%, donc le 2nd mode est peu influent. $\inf(\eta_{w,p}) = 81,4\% > 80\%$.

Les périodes les plus défavorables sont :

$$T_V = 0,44 \text{ s}$$

$$T_P = 0,76 \text{ s}$$

Action d'ensemble du vent :

L'action d'ensemble du vent soufflant dans une direction donnée sur une construction, est la résultante géométrique (R) de toutes les actions (P) sur les différents parois de la construction. La direction de R est généralement différente de celle du vent qui se décompose en :

- T : Action horizontale du vent (trainée) produisant un effet d'entraînement et de renversement.
- L : force de dérive perpendiculaire à la direction du vent.

(A) Calcul de la trainée :

L'effort de trainée est donné par : $T = C_t \cdot \beta \cdot S \cdot q_{H}$. De .

- $C_t = C_0 \cdot C_{t0}$: (coeft global de trainée). C_{t0} dépend de la rugosité de la surface circulaire de base. Catégorie II cylindre rugueux à base circulaire sans rehauts : $C_{t0} = 0,55$
- $\lambda = \frac{h^2}{S_t}$ (élançement) h : hauteur totale de l'ouvrage = 39,75m (au dessus du sol)
- S_t : l'aire de la projection verticale de la surface de la construction (maître couple) = 435,07 m².

$$\lambda = \frac{39,75^2}{435,07} = 3,63 \text{ donne } C_0 = 1,022 \quad (\text{R.NV65 p 141}) \text{ donc } C_t = 1,022 \cdot 0,55 = 0,562$$

- $\beta = (1 + \frac{\zeta}{\tau}) \cdot \theta$: coeft de majoration dynamique, dépend de la période de résonance liée aux effets de résonance provoqués par les oscillations de la tour et du niveau considéré
 - ζ : coeft de réponse $\zeta = f(T)$ du mode fondamental d'oscillation.
 - τ : coeft de pulsation, $\tau = f(h)$ déterminé à chaque niveau. (R.NV65 p 83)
 - θ : coeft global dépend du type de construction. Dans notre cas, construction à base circulaire $\theta = 1$
- q_H : pression dynamique du vent qui est variable suivant la hauteur par rapport au sol

$$q_H = 2,5 \cdot q_{10} \cdot \frac{H+18}{H+60} \cdot K_s = 175 \cdot \frac{H+18}{H+60} \cdot K_s \quad ; \quad (H=3).$$

où q_{10} : pression dynamique de base à 10m de hauteur (Région II, $q_{10} = 70 \text{ daN/m}^2$)

K_s : tient compte du nombre d'implantation du château d'eau.

K_s : (site exposé, région II) = 1,3

• S coeft de réduction $\rightarrow \delta = f(H)$: H: niveau considéré + hauteur totale de la construction (NV 65 p 63).

D_e : diamètre extérieur à la côte considérée.

d'où $T_d = 0,572 \cdot (1 + \frac{\gamma}{1.6}) \cdot 1.8 \cdot 1,3 \cdot 1,75 \cdot \frac{H+18}{H+60} \cdot D_e$

$$T_d = 130,13 \cdot (1 + \frac{\gamma}{1.6}) \cdot 8 \cdot \frac{H+18}{H+60} \cdot D_e$$

le tableau I regroupe les résultats numériques.

B. Action perpendiculaire au vent:

Pour la prise en compte de l'action des tourbillons de "Kármán", on admet que la construction est soumise à une force de dérive périodique perpendiculaire au vent et de répartition triangulaire et dont l'action est assimilée à celle d'une force statique, sa valeur maximale est donnée à chaque niveau :

$$L_{\text{dyn.}} = C_L \cdot \beta' \cdot 8' \cdot q_{10} \cdot D_e \cdot \frac{h}{H} \quad R: \text{côte considérée}$$

$$\varepsilon = H$$

Où :

$C_L = 0,2$ coeft de dérive expérimental (N.V. 65).

$\beta' = 0,8$ coeft de réduction tenant compte de l'effet de dimension.

$\beta' = \frac{\pi}{\Delta} = 10,46$ coeft dynamique, structure en résonance.

$H = \varepsilon = 39,75 \text{ m}$ hauteur totale de la construction.

$z = h$: côte du niveau considéré comptée à partir du sol.

La résonance se produit quand la période de rafales du vent est égale à la période propre de vibration de la structure selon M^e KARMAN.

$$T_k = \frac{D_e}{S \cdot V}$$

S: nbre de Strouhal, fonction de la rugosité de surface; de la forme de construction et de la viscosité du fluide

$S = 0,2$ (N.V. 65 cylindre rugueux cat II).

A la résonnance $T = T_k$

$D_e = 8 \text{ m}$

$$\Rightarrow V_{cr} = \frac{D_e}{S.T}$$

Les vibrations latérales doivent être compatibles avec le régime lamininaire du vent : $V_{cr} (25 \text{ m/s})$

$$\text{Calcul de } V_{cr} = \frac{D_e}{S.T} = \frac{8}{0,2 \cdot 0,044} = 90,9 > 25 \text{ m/s}$$

$$\frac{8}{0,2 \cdot 0,085} = 52,7 > 25 \text{ m/s}$$

N.B.: $V_{cr} > 25 \text{ m/s}$, il est inutile de faire un calcul à la résonnance.

Les efforts engendrés par le vent sont regroupés dans le tableau II.

Actions perpendiculaires au vent :

Pour la prise en compte de l'action des tourbillons de Karman⁽¹⁾ on admet que la construction est soumise à une force de derive périodique perpendiculaire à la direction du vent et de répartition triangulaire dont l'action est assimilée à une force statique (Ldyn.)

(1) un paramètre d'écoulement d'un fluide autour d'un cylindre est (Re) = $\frac{V \cdot d}{\eta}$ et par conséquent on tire la vitesse V d'écoulement du fluide (Vent).

En régime lamininaire pour Re très petit, il y a parfaite symétrie entre l'arrière et l'avant du cylindre.

Lorsque Re augmente, la couche limite arrière s'épaissit, et si Re augmente encore, un décollement se forme et donne naissance à 2 tourbillons symétriques stationnaires dont le volume augmente quand $(Re) \uparrow$

Si de nouveau $Re \uparrow$ au delà d'une certaine valeur, les tourbillons se détachent alternativement et périodiquement. Ils sont emportés par le courant et il se forme alors 2 files de tourbillons alternés dits de "KARMAN".

D'après les théories les plus couramment admises, il y'a résonnance lorsque la période des tourbillons KARMAN coïncide avec la période propre du cylindre. Ce dernier oscille alors perpendiculairement à la direction du vent.

Un moyen d'éviter la résonnance est d'éviter la formation des tourbillons de "KARMAN" en augmentant la rugosité du cylindre. Pour une rugosité suffisamment grande les tourbillons se formeraient pour une vitesse qui en pratique n'est jamais atteinte. Ces tourbillons se formeraient pour une vitesse qui en pratique n'est jamais atteinte. L'augmentation de r diminue la possibilité de mise en résonnance. On a donc admis arbitrairement qu'à partir de 25 m/s ; il est inutile de faire un calcul à la résonnance.

" TABLEAU I "

z (m)	c_t	σ	σ_v	σ_p	β_v	β_p	s	k_s	q_h (kg/m^2)	q_m (kg/m^2)	q_e (kg/m^2)	D (m)	T_{vn} (t)	T_{ve} (t)	T_{pn} (t)	T_{pe} (t)
0,00	0,562	0,36	0,50	0,70	1,18	1,25	0,75	1,3	52,5	68,25	119,43	8	271	475	292	511
2,1	"	"	"	"	"	"	"	"	56,64	73,63	128,85	"	293	512	315	551
4,2	"	"	"	"	"	"	"	"	60,51	78,66	137,65	"	312	547	336	589
6,3	"	"	"	"	"	"	"	"	64,14	83,38	145,91	"	331	580	357	624
8,4	"	"	"	"	"	"	"	"	67,54	87,8	153,65	"	349	611	375	657
10,5	"	"	"	"	"	"	"	"	70,74	91,96	160,93	"	365	640	393	689
12,6	"	0,362	"	"	"	"	"	"	73,76	95,88	167,79	"	381	667	410	718
14,7	"	0,352	"	"	1,17	1,24	"	"	76,60	99,58	174,26	"	392	687	423	740
16,8	"	0,35	"	"	"	"	"	"	79,29	103,07	180,37	"	406	711	437	766
18,9	"	0,346	"	"	"	1,24	"	"	81,84	106,39	186,18	"	419	734	448	784
21	"	0,344	"	"	"	"	"	"	84,26	109,53	191,67	"	432	756	461	807
23,1	"	0,341	"	"	"	"	"	"	86,55	112,51	196,89	"	443	776	474	829
25	"	0,338	"	"	1,16	"	"	"	88,53	115,08	201,13	"	450	787	485	848
27,1	"	0,335	"	"	"	"	"	"	90,61	117,79	206,66	12,20	702	1229	757	1324
29,2	"	0,33	"	"	"	1,23	"	"	92,6	120,38	210,66	16,46	968	1695	1035	1812
31,3	"	0,328	"	"	"	"	"	"	94,49	122,38	214,90	20,46	1227	2150	1313	1898
34,15	"	0,321	"	"	"	"	0,77	"	96,93	126,00	220,50	20,07	1648	2885	1762	3084
35,92	"	0,32	"	"	"	"	0,775	"	98,37	127,88	223,79	18,81	1215	2126	1299	2273
37,69	"	0,318	"	"	1,15	1,22	0,78	"	99,76	129,68	226,94	3,9	254	446	272	477
39,75	"	0,315	"	"	"	"	0,8	"	101,20	131,43	230	3,9	265	463	283	472

L'indice "v" indique le cas où la cuve est vide.
"p" indique le cas où la cuve est pleine.

" Tableau II "

Côte z (m)	CUVE VIDE		CUVE PLEINE		Côte z (m)			
	T (t)	M (t.m)	T (t)	M (t.m)				
S.N.	S.E.	S.N.	S.E.	S.N.	S.E.			
0,00	2,3	4,0,25	5,68,9	9,95,4	2,4,74	4,3,29	6,53,1	1,14,2,9
2,1	22,41	39,21	52,1,21	9,12,11	34,17	42,29	60,1,7	10,52,97
4,2	21,78	38,11	47,4,82	8,30,93	23,49	41,1	55,1,6	9,65,3
6,3	21,11	36,94	429,79	75,4,13	32,77	39,84	503	880,25
8,4	20,4	35,7	386,21	675,86	32	38,5	456	789
10,5	19,38	34,4	344,15	602,26	24,1	36,92	365,45	639,53
12,6	18,88	33,04	303,69	531,45	20,25	35,43	382,04	563,57
14,7	18,078	31,63	364,15	462,26	19,38	33,94	380,43	490,75
16,8	17,34	30,17	327,67	398,42	18,48	32,34	340,68	421,13
18,9	16,38	28,66	198,37	336,64	17,55	30,71	306	360,5
21,0	15,49	27,1	158,91	270,1	16,6	29,05	170,1	297,67
23,1	14,58	25,51	127,34	228,845	15,62	27,33	136,94	238,42
25,0	13,65	23,88	97,7	170,97	14,62	25,58	104,49	182,85
27,1	12,45	21,78	70,3	123	13,32	23,31	15,16	134,53
29,2	10,7	18,735	46	80,5	14,44	20	49,16	86,03
31,30	8,4	14,7	25,94	45,4	8,98	15,71	27,72	48,51
34,45	4,34	7,54	7,835	13,7,1	4,6	8,05	8,37	14,64
35,92	4,78	3,115	2,446	4,28	1,9	3,32	4,62	4,58
37,69	0,48	0,84	0,446	0,78	0,516	0,9	0,48	0,84
39,75	0	0	0	0	0	0	0	0

Remarques : S.N : Service Normal

S.E : Service Extrême

Actions locales (Moments d'ovalisation)

La paroi exposée au vent se déforme en flexion sous l'effet des pressions variables du vent.

- Les pressions ($p = C_e \cdot q \cdot S_0$) sont équilibrées par les réactions internes de cisaillement de la paroi.

$$(T = \frac{2}{3} H \cdot 0,66 \eta)$$

- Les efforts p et T produisent des moments fléchissants d'ovalisation.

$M_{O_i} = K_i \cdot S_0 \cdot q_H \cdot D_m^2$: moment d'ovalisation interne.

$M_{O_e} = K_e \cdot S_0 \cdot q_H \cdot D_m^2$: " " " externe.

D_m : diamètre moyen : $\frac{D_e + D_i}{2}$

S_0 : coeff de dimension en ft de D_e .

$$\left. \begin{array}{l} K_i = 0,061 \\ K_e = 0,053 \end{array} \right\} \text{ (Selon Manis Diver p.22)}$$

Z (m)	K _i	K _e	S ₀	D _m (m)	q _H (kg/m ²)	D ² _m (m ²)	M.O.N.		M.O.E	
							M _{Oi} (t.m/m ²)	M _{Oe} (t.m/m ²)	M _{Oi} (t.m/m ²)	M _{Oe} (t.m/m ²)
0	0,061	0,053	0,84	7,6	68,27	57,76	0,208	0,175	0,353	0,306
2,1	"	"	"	"	73,63	"	0,210	0,189	0,367	0,33
4,2	"	"	"	"	78,66	"	0,232	0,202	0,406	0,353
6,3	"	"	"	"	83,38	"	0,246	0,214	0,43	0,394
8,4	"	"	"	"	87,8	"	0,259	0,225	0,453	0,393
10,5	"	"	"	"	91,96	"	0,272	0,236	0,476	0,413
12,6	"	"	"	"	95,88	"	0,283	0,246	0,495	0,430
14,7	"	"	"	"	99,58	"	0,294	0,256	0,514	0,448
16,8	"	"	"	"	103,7	"	0,305	0,263	0,531	0,460
18,9	"	"	"	"	106,39	"	0,313	0,270	0,547	0,472
21	"	"	"	"	109,53	"	0,322	0,278	0,563	0,486
23,1	"	"	"	"	112,51	"	0,331	0,285	0,579	0,498
25	"	"	"	"	115,08	"	0,338	0,292	0,591	0,511
27,1	"	"	0,82	11,70	117,79	136,89	0,806	0,7	1,41	1,225
29,2	"	"	0,80	16,09	120,38	158,88	1,520	1,321	2,66	2,312
31,3	"	"	0,775	20,26	122,83	410,46	2,383	2,070	4,11	3,624
34,15	"	"	"	26,02	126	677	4,032	3,503	7,057	6,131
35,92	"	"	0,8	18,48	127,88	344,51	9,131	1,851	3,729	3,239
37,69	"	"	0,88	3,75	129,69	14	0,097	0,084	0,17	0,148
39,75	"	"	"	"	134,43	14	0,098	0,085	0,172	0,15

chapitre: 7

ETUDE
AU
SEISME

ETUDE SISMIQUE

Introduction:

Le bassin méditerranéen est affecté par les actions sismiques, donc notre pays l'Algérie, et principalement le Nord, zone où notre ouvrage est implanté.

Celui-ci devra être conçu à résister et à être stable sous l'action de toutes les sollicitations extérieures, telle que le vent et principalement le séisme.

Le séisme qui occasionne d'importants efforts (T, M) dans la structure qui peuvent mettre en ruine la structure.

L'évaluation de l'action sismique est assimilée à un système de forces statiques horizontales produisant les mêmes effets sur la construction dont la formule de base est donnée dans les règlements parasismiques Algériens (R.P.A. 83).

Module (V) de l'effort horizontal suivant les axes principaux :

$$V = A \cdot D \cdot B \cdot Q \cdot W$$

où : A : coeff. d'accélération des zones, dépend du groupe d'usage de la structure et de la zone sismique (Groupe 1 ; zone 2) : $A = 0,25$

D : facteur d'amplification dynamique moyen pour un sol meuble :

$$D = 2 \cdot \sqrt{\frac{0,5}{T}} \quad \left. \begin{array}{l} T = 0,445 \text{ s} \\ T = 0,76 \text{ s} \end{array} \right\} \rightarrow D_v = 2,12 \text{ s} \quad D_p = 1,62$$

B : facteur de comportement de la structure qui est en voile porteur. $B = \frac{1}{3}$

Q : facteur de qualité, dépend de l'hyperstatilité et de la surabondance du système, de ses symétries en plan, de sa régularité en élévation.

$Q = 1 + \sum_{q=1}^6 P_q$ P_q : penalité qui dépend de l'observation ou non du critère de qualité (q).

1. Conditions minimales des fibres portantes	0,1
2. Surabondance en plan	0,1
3. Symétrie en plan	0,1
4. Régularité en élévation	0,0
5. Contrôle de qualité des matériaux	0,0
6. " " " de la construction	0,0

d'où $\beta = 1,3$

$$W: \text{poids de l'ouvrage} : W_V = 1521,73 \text{ t} \Rightarrow V_V = 349,49 \text{ t}$$

$$W_F = 3527,31 \text{ t} \Rightarrow V_F = 619,04 \text{ t}$$

W est donné par rapport au niveau des fondations

Principe de modélisation et distribution de la force sismique en élévation :

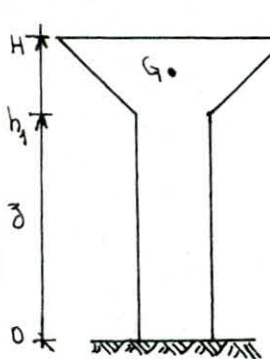
La structure est modélisée selon le règlement (R.P.A.) comme concentrée au niveau du centre de gravité de la cuve.

La masse du support étant considérable, donc reportée uniformément suivant sa hauteur.

La distribution de la force sismique est : $f(z) = \frac{V \cdot m(z) \cdot z_{mg}}{\sum m_i(z) \cdot z_{mi}}$

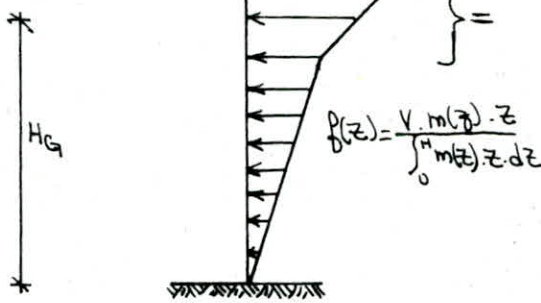
où : $m(z)$ masse considérée jusqu'au niveau z .

z_{mg} : centre de gravité de $m(z)$.



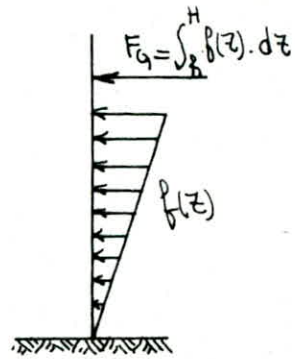
$$H = 41,95 \text{ m}$$

$$h_1 = 27,1 \text{ m}$$



$$H_G = 33,96 \text{ m} : \text{Cuve vide}$$

$$H_G = 33,08 : \text{Cuve pleine}$$



a) Cuve vide :

$$M_{cv} = 871,61 \text{ t}$$

$$M_{fut} = 661,32 \text{ t}$$

$$f(z=27,1 \text{ m}) = \frac{349,49 \cdot 661,32 \cdot 27,1 / 2}{661,32 \cdot \frac{27,1}{2} + 871,61 \cdot 33,96} = 81,21 \text{ t}$$

Sa distribution suivant (z) $\rightarrow 81,21 = \frac{27,1}{2} \cdot x \Rightarrow x = 5,993 \text{ t}$

$$F_G = \frac{871,61 \cdot 33,96 \cdot 349,49}{661,32 \cdot \frac{27,1}{2} + 871,61 \cdot 33,96} = 268,27 \text{ t}$$

b) Cuve pleine :

$$M_{cp} = 2877,19 \text{ t}$$

$$F_g (h_1 \leq z \leq H) = \frac{619,04 \cdot 2877,19 \cdot 33,08}{66132 \cdot \frac{27,1}{2} + 2877,19 \cdot 33,08} = 565,77 t$$

$$f(z=27,1m) = \frac{619,04 \cdot 66132 \cdot \frac{27,1}{2}}{66132 \cdot \frac{27,1}{2} + 2877,19 \cdot 33,08} = 53,26 t$$

Calcul des efforts tranchants et moments fléchissants :

Cuve vide : $T(x) = -0,1105 \cdot x^2 + 349,49$

$$M(x) = -0,0368 \cdot x^3 + 349,49 \cdot x - 10577,55$$

Cuve pleine : $T(x) = -0,0725 \cdot x^2 + 565,77$

$$M(x) = -0,0241 \cdot x^3 + 565,77 \cdot x - 19677,75.$$

z (m)	CUVE VIDE		CUVE PLEINE	
	T(t)	M(t.m)	T(t)	M(t.m)
27,1	341,37	1838,78	560,44	4825,03
25	342,58	2415,3	561,24	5910,06
23,1	343,59	2957,94	561,9	6905,53
21	344,61	3579,06	562,57	8019,77
18,9	345,54	4220,63	563,18	9147,4
16,8	346,37	4880,61	563,72	10287,08
14,7	347,10	5556,94	564,2	11437,48
12,6	347,73	6247,59	564,62	12597,25
10,5	348,27	6950,5	564,97	13765,06
8,4	348,71	7663,64	565,26	14939,56
6,3	349,05	8384,96	565,48	16119,42
4,2	349,29	9112,42	565,64	17303,3
2,1	349,44	9843,96	565,74	18489,85
0,0	349,49	10577,55	565,77	19677,75

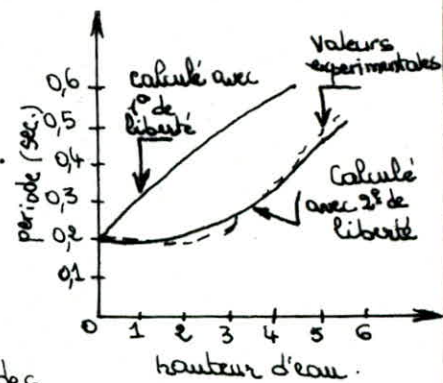
chapitre : 8

ETUDE DE
L'EFFET
HYDRODYNAMIQUE

Dans le cas d'un château d'eau d'une capacité au delà de 1000 m^3 (en zone II et III uniquement), il faudra tenir compte de l'effet hydrodynamique. Il s'agit (d'après les travaux de Blume et Boyce) d'affecter à une partie de l'eau un degré de liberté.

Ainsi il a été démontré que l'erreur faite sur la période (donc sur la réponse de la structure) dans le cas où il n'est pas tenu compte de ce degré de liberté supplémentaire peut-être importante. (Voir schéma).

- Remarque :
- l'effet hydrodynamique peut majorer l'effort tranchant à la base de façon importante.
 - Si les vibrations de l'eau oscillante et celle de la partie de l'eau inverse plus la structure sont en phase, cette dernière sera soumise à des efforts supérieur à ceux trouvés, sous l'hypothèse que l'eau et la cuve font un même corps.



Hypothèses de calcul :

- le liquide sera considéré comme incompressible.
- La dissipation d'énergie due à la viscosité du fluide sera négligée.

Méthode de "HOUSNER"

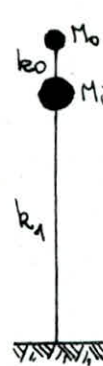
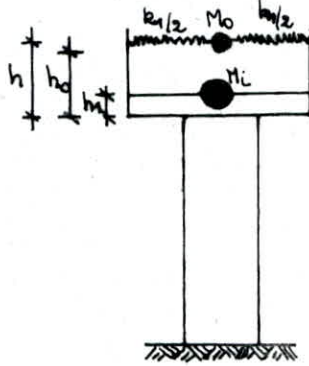
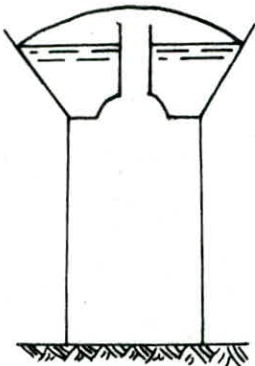
HOUSNER décompose l'action du liquide en deux :

- Action passive provoquant des efforts d'impulsion.
- Action active " " " " " d'oscillation.

La modélisation est représentée par la fig. 1. La masse M_0 est reliée à la structure par une tige de même raideur K_1 , formant un couplage direct avec M_1 , tandis que M_1 est reliée par une tige représentant le support de la structure, de raideur K_0 .

Pour simplifier les calculs, on admettra que la cuve réelle peut-être remplacée par une cuve cylindrique. Son rayon est déterminé par :

$$V = \pi R^2 \cdot h \Rightarrow R = \sqrt{\frac{V}{\pi h}}$$



$\left\{ \begin{array}{l} M_o : \text{masse d'eau oscillante} \\ M_i : " " " \text{ inerte} \\ R : \text{rayon du cylindre équivalent} \\ k_1 : \text{raideur de couplage } M_o - M_i \\ k_o : " " \text{ de support} \end{array} \right.$

$$\left. \begin{array}{l} V = 2005,58 \text{ m}^3 \\ h = 8,57 \text{ m} \end{array} \right\} \Rightarrow R = \sqrt{\frac{2005,58}{\pi \cdot 8,57}} = 8,63 \text{ m}$$

Taux de remplissage $\frac{h}{R} = 0,99 < 1,5$ donc on a une cuve profonde. La méthode de Houzner est applicable.

Poids de l'eau $M_e = 2005,58 \cdot 10^4 \text{ N}$

Poids du réservoir-vide $M_n = 871,61 \cdot 10^4 \text{ N}$

Poids de la tour $M_t = 661,32 \cdot 10^4 \text{ N}$.

d'où les masses passives et actives :

$$M_i = M_e \cdot \frac{th \sqrt{3} \cdot R}{\sqrt{3} \cdot R} + M_n + \frac{1}{2} \cdot M_t = 2280,64 \cdot 10^4 \text{ N}$$

$$M_o = M_e \cdot 0,318 \cdot \frac{R}{h} \cdot th \left(1,84 \cdot \frac{h}{R} \right) = 611,42 \cdot 10^4 \text{ N}.$$

Pulsation fondamentale de vibration du liquide (ω_0^2) :

$$\omega_0^2 = \sqrt{\frac{27}{8}} \cdot \frac{g}{R} \cdot th \sqrt{\frac{27}{8}} \cdot \frac{h}{R} = 1,98 \left(\text{rad/s} \right)^2$$

Raideur du couplage entre M_o et M_i (k_1) :

$$k_1 = m_i \cdot \omega_0^2 = \frac{M_o}{g} \cdot \omega_0^2 = \frac{611,42 \cdot 10^4}{9,81} \cdot 1,98 = 123,4 \cdot 10^4 \text{ N/m}.$$

Constante de rappel (k_o) :

$$k_o = \frac{P}{P'} \cdot \frac{3EI}{l^3} = 2,86 \cdot 10^8 \text{ N/m}$$

$$\left\{ \begin{array}{l} P : \text{poids de la masse concentrée} = M_e + M_n = 2877,19 \cdot 10^4 \text{ N} \\ E : \text{module d'élasticité} = 367,35 \cdot 10^8 \text{ N/m}^2 \\ I : \text{moment d'inertie de la section transversale} : 53,865 \text{ m}^4 \\ P' = P + \frac{33}{140} \cdot M_t = 3033,07 \cdot 10^4 \text{ N} \\ l = 27,1 \text{ m} \end{array} \right.$$

Pulsation propre des deux modes principaux de vibrations :

$$\omega_{I,II}^2 = 0,5 \cdot \left[\frac{k_{00}}{m_0} + \frac{k_{11}}{m_1} \pm \sqrt{\left(\frac{k_{00}}{m_0} - \frac{k_{11}}{m_1} \right)^2 + 4 \cdot \frac{k_{00}k_{11}}{m_0 m_1}} \right]$$

Où :

$$\begin{aligned} k_{11} &= k_1 = 123,4 \cdot 10^4 \text{ N/m} \\ k_{01} &= k_{10} = -k_1 = -123,4 \cdot 10^4 \text{ N/m} \\ k_{00} &= k_0 + k_1 = 28723,4 \cdot 10^4 \text{ " } \\ m_1 &= M_1/g = 62,33 \cdot 10^4 \text{ kg} \\ m_0 &= M_0/g = 224,59 \cdot 10^4 \text{ kg} \end{aligned}$$

$$\Rightarrow \left\{ \begin{array}{l} \omega_I^2 = 1,97 (\text{rad/s})^2 \\ \omega_I = 1,403 \text{ rad/s} \\ T_I = 4,47 \text{ s} \\ \omega_{II}^2 = 127,9 (\text{rad/s})^2 \\ \omega_{II} = 11,31 \text{ rad/s} \\ T_{II} = 0,55 \text{ s} \end{array} \right.$$

Rapport d'amplitude :

$$\Phi_{0I,II} = \frac{-k_{01}/m_0}{\frac{k_{00}}{m_0} - \omega_{I,II}^2} \quad \left\{ \begin{array}{l} \Phi_{0I} = 4,3 \cdot 10^{-3} \\ \Phi_{0II} = -74,29 \end{array} \right.$$

d'où les facteurs de contributions :

$$\gamma_{I,II} = \frac{m_0 \Phi_{0I,II} + m_1}{m_0 \cdot \Phi_{0I,II}^2 + m_1} \quad \left\{ \begin{array}{l} \gamma_I = 1,0156 \\ \gamma_{II} = -134,1 \cdot 10^{-4} \end{array} \right.$$

d'après le spectre de vitesse d'EL CENTRO (1940) on a :

$$\begin{array}{l} T_I = 4,47 \text{ s} \\ \beta = 0,5 \% \end{array} \Rightarrow S_{vI} = 0,90 \quad \begin{array}{l} T_{II} = 0,55 \text{ s} \\ \beta = 2 \% \text{ (2e mode)} \end{array} \Rightarrow S_{vII} = 0,74$$

Calcul des fléches :

$$\begin{array}{ll} \text{1er Mode : } \bar{x}_{1I} = \frac{\gamma_I \cdot S_{vI}}{\omega_I} = 0,652 & \text{2e mode : } \bar{x}_{1II} = \frac{\gamma_{II} \cdot S_{vII}}{\omega_{II}} = -0,88 \cdot 10^{-3} \\ \bar{x}_{0I} = \Phi_{0I} \cdot \bar{x}_{1I} = 0,003 & \bar{x}_{0II} = \Phi_{0II} \cdot \bar{x}_{1II} = 0,0654 \end{array}$$

On en déduit les forces horizontales :

$$\text{Pour le 1er Mode : } P_{1I} = k_{11} \cdot \bar{x}_{1I} + k_{10} \cdot \bar{x}_{0I} = 80,09 \cdot 10^4 \text{ N}$$

$$P_{0I} = -123,4 \cdot 10^4 \cdot 0,652 + 28723,4 \cdot 10^4 \cdot 0,003 = 5,71 \cdot 10^4 \quad P_I = 858 \cdot 10^4 \text{ N}$$

$$\text{Pour le 2e mode : } P_{1II} = k_{11} \cdot \bar{x}_{1II} + k_{10} \cdot \bar{x}_{0II} = -8,18 \cdot 10^4 \text{ N}$$

$$P_{0II} = k_{01} \cdot \bar{x}_{1II} + k_{00} \cdot \bar{x}_{0II} = 1878,62 \cdot 10^4 \text{ N.}$$

$$P_{II} = 187044 \cdot 10^4 \text{ N}$$

$$\text{Calcul de l'effort tranchant : } P = \sqrt{P_I^2 + P_{II}^2} = 1872,41 \cdot 10^4 \text{ N}$$

$$\text{d'où la force réglementaire : } F_{req} = \frac{1}{3} P = 624,13 \cdot 10^4 \text{ N.}$$

Sans tenir compte de l'effet hydrodynamique, l'effort tranchant à la base était $V_p = 565,77 \text{ t}$

On remarque que l'effet hydrodynamique a majoré l'effort de 9,35 % .

Pour la distribution de l'effort sismique, on adopte le schéma de distribution dans le cas d'un support uniformément répartie.

$$F_4 = \frac{624,13 \cdot 2877,19 \cdot 33,08}{661,32 \times \frac{27,1}{27,1} + 2877,19 \cdot 33,08} = 570,42 t \quad f_3 = 53,71 \Rightarrow x = \frac{2 \cdot 53,71}{27,1} = 3,96 \text{ t/m.}$$

d'où les expressions de T et M : $T(x) = -0,073 \cdot x^2 + 624,13$

$$M(x) = 0,024 \cdot x^3 - 624,13 \cdot x + 19839,85$$

$x \text{ (m)}$	$T \text{ (t)}$	$M \text{ (t.m)}$
27,1	570,81	3403,58
25	578,50	4611,6
23,1	585,17	5718,28
21	591,937	6955,38
18,9	598,05	8205,82
16,8	603,52	9468,26
14,7	608,35	10741,37
12,6	612,54	12023,82
10,5	616,08	13314,27
8,4	618,98	14611,38
6,3	621,23	15913,83
4,2	622,84	17320,28
2,1	623,81	18529,4
0,0	624,13	19839,85

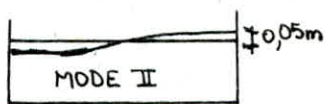
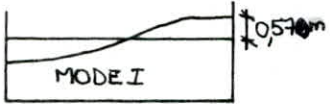
hauteur maximale des vagues :

La hauteur maximale des vagues est donnée par :

$$d_{\max,1} = 0,408 \cdot R \\ \left(\frac{9,81}{1,403 \cdot \theta_{01} R} - 1 \right) \cdot \operatorname{th}\left(1,84 \cdot \frac{h}{R} \right)$$

$$\theta_{01} = 1,53 \cdot \frac{A_{1n}}{R} \cdot \operatorname{th}\left(1,84 \cdot \frac{h}{R} \right) = 1,53 \cdot \frac{x_{1n} - x_{0n}}{R} \cdot \operatorname{th}\left(1,84 \cdot \frac{h}{R} \right) \Rightarrow \begin{cases} \theta_{01} = 0,109 \\ \theta_{02} = -0,0111 \end{cases}$$

$$\text{d'où : } d_{\max,1} = \frac{0,408 \cdot 8,63}{\left(\frac{9,81}{1,403 \cdot 0,109 \cdot 8,63} - 1 \right) \operatorname{th}(1,84 \cdot 0,99)} = 0,57 \text{ m} \\ d_{\max,2} = \frac{0,408 \cdot 8,63}{\left(\frac{9,81}{1,403 \cdot (-0,0111) \cdot 8,63} - 1 \right) \operatorname{th}(1,84 \cdot 0,99)} = 0,05 \text{ m} \quad \left. \begin{array}{l} \Rightarrow d = \sqrt{d_{\max,1}^2 + d_{\max,2}^2} = 0,572 \text{ m} \\ d = 57,22 \text{ cm.} \end{array} \right\}$$



On remarque que la contribution du second mode, en ce qui concerne la hauteur des vagues est négligeable devant celle du mode I, alors que sa contribution est beaucoup plus importante que celle du mode I quand il s'agit des sollicitations dynamiques.

Chapitre:9

CALCUL
DE LA
TOUR

Combinaisons des efforts :

D'après Marius DIVER "Calcul pratique des tours en Béton Armé" et conformément aux règles B.A.-68 et R.P.A. 81 ; on fait les vérifications suivantes :

1. Vérification sous les actions du 1^{er} genre :

Les sollicitations dues aux actions d'ensembles à prendre en compte sont :

$$S_1^1 = G + P + V$$

$$S_1^2 = G + P$$

$$S_1^3 = G + 1,2 \cdot P$$

On doit vérifier que :

$$\sigma_{bm}^1(S_1^1, S_1^3) \leq 0,30 \cdot \sigma_{28}' = 0,30 \times 306 = 92 \text{ Kg/cm}^2$$

$$\sigma_a(S_1^2) \leq \min \left\{ \frac{2}{3} \cdot \sigma_{en}, \right.$$

σ_2 résultant des conditions de fissuration.

2. Vérification sous les actions du 2^e genre :

Les sollicitations dues aux actions d'ensembles à prendre en compte sont :

$$S_2^1 = 1,1 \cdot G + 1,1 \cdot P + 1,1 \cdot W$$

$$S_2^2 = 0,9 \cdot G + 0,9 \cdot P + 1,1 \cdot W$$

$$S_2^3 = 0,9 \cdot G + P + S$$

$$S_2^4 = 0,8 \cdot G + S_I$$

La contrainte du béton dans le sens vertical doit vérifier :

$$\sigma_{bm}^1(S_2^1) \quad \left. \right\} \leq 1,5 \cdot (0,30 \cdot \sigma_{28}') = 0,45 \cdot \sigma_{28}' = 0,45 \cdot 306 = 138 \text{ Kg/cm}^2$$

La contrainte de l'acier dans le sens vertical doit vérifier :

$$\sigma_a(S_2^2) \quad \left. \right\} \leq \sigma_{en} = 4200 \text{ Kg/cm}^2$$

Nota: L'absence des gags rouufs diminue les risques de corrosion du béton et de l'acier ce qui permet d'augmenter la valeur des contraintes admissibles. Les règles pour la construction des tours en béton armé qui reprennent dans les grandes lignes les prescriptions des règles en vigueur B.A pour la construction des chemins de fer B.A. admettent les contraintes suivantes :

- Béton : sollicitations 1^{er} genre : $0,4 \cdot \sigma_{28}'$
 sollicitations 2^{ème} genre : $0,6 \cdot \sigma_{28}'$

- Acier : sollicitations 1^{er} genre : $0,67 \cdot \sigma_{en}$ (en fissuration préjudiciable)
 sollicitations 2^{ème} genre : σ_{en} .

Tableau 1Sollicitation du 1^{er} genreCuve vide

Z (m)	G + P + V				G + P				G + 1,2. P			
	M (t.m)	N (t)	T (t)	e (m)	M (t.m)	N (t)	T (t)	e (m)	M (t.m)	N (t)	T (t)	e (m)
27,1	70,30	925,86	12,45	0,076	70,30	871,61	12,47	0,080	0	936,71	0	0
25,0	97,70	975,97	13,65	0,100	97,70	921,72	13,65	0,106	"	986,82	"	"
23,1	127,34	1030,45	14,58	0,123	127,34	974,26	14,58	0,130	"	1041,30	"	"
21,0	158,91	1082,99	15,49	0,146	158,91	1026,80	15,49	0,154	"	1093,84	"	"
18,9	192,37	1131,16	16,38	0,170	192,37	1076,91	16,38	0,178	"	1142,01	"	"
16,8	227,67	1181,27	17,24	0,192	227,67	1127,02	17,24	0,202	"	1192,12	"	"
14,7	264,15	1238,19	18,08	0,213	264,15	1182,00	18,08	0,223	"	1249,43	"	"
12,6	303,69	1286,36	18,88	0,236	303,69	1232,11	18,88	0,246	"	1299,54	"	"
10,5	344,15	1336,47	19,38	0,257	344,15	1282,22	19,38	0,268	"	1349,65	"	"
8,4	386,21	1393,38	20,40	0,277	386,21	1337,41	20,40	0,290	"	1404,62	"	"
6,3	429,79	1441,55	21,11	0,298	429,79	1387,30	21,11	0,310	"	1454,73	"	"
4,2	474,82	1491,66	21,78	0,318	474,82	1437,41	21,78	0,330	"	1504,84	"	"
2,1	521,21	1541,77	22,41	0,338	521,21	1487,52	22,41	0,350	"	1554,95	"	"
0,0	568,90	1591,88	23,00	0,357	568,90	1537,63	23,00	0,370	"	1605,06	"	"

Tableau 2Sollicitation du 2^e genreCuve vide

z (m)	1,1. (G + P + W)				0,9. (G + P) + 1,1. W				G + P + S				0,8. G + S			
	M (t.m)	N (t)	T (t)	e (m)	M (t.m)	N (t)	T (t)	e (m)	M (t.m)	N (t)	T (t)	e (m)	M (t.m)	N (t)	T (t)	e (m)
27,1	135,30	1018,44	23,96	0,150	135,30	833,27	23,96	0,162	1839,78	925,86	341,37	1,986	1838,78	697,29	341,37	2,637
25,0	188,06	1073,56	26,27	0,175	188,06	878,37	26,27	0,214	2415,30	975,97	342,58	2,474	2415,30	937,37	342,58	3,275
23,1	251,73	1133,49	28,06	0,222	251,73	927,40	28,06	0,271	2957,94	1030,45	343,59	2,870	2957,94	779,41	343,59	3,795
21,0	297,11	1191,29	29,81	0,249	297,11	974,69	29,81	0,303	3579,06	1082,99	344,61	3,304	3579,06	821,44	344,61	4,357
18,9	370,30	1244,27	31,52	0,297	370,30	1018,04	31,52	0,363	4220,63	1131,16	345,54	3,731	4220,63	861,53	345,54	4,899
16,8	438,26	1299,39	33,18	0,337	438,26	1063,14	33,18	0,412	4880,61	1181,27	346,37	4,131	4880,61	901,61	346,37	5,413
14,7	508,48	1362,00	34,79	0,373	508,48	1114,37	34,79	0,456	5556,94	1238,19	347,10	4,488	5556,94	945,60	347,10	5,876
12,6	584,59	1414,99	36,34	0,413	584,59	1157,72	36,34	0,505	6247,59	1286,36	347,73	4,856	6247,59	985,69	347,73	6,338
10,5	662,48	1470,11	37,84	0,450	662,48	1202,82	37,84	0,550	6950,90	1336,47	348,27	5,200	6950,50	1025,77	348,27	6,776
8,4	743,44	1532,72	39,27	0,485	743,44	1254,04	39,27	0,592	7663,64	1393,38	348,71	5,500	7663,64	1069,75	348,71	7,164
6,3	829,54	1585,70	40,63	0,523	829,54	1297,39	40,63	0,639	8384,96	1441,55	349,05	5,816	8384,96	1109,84	349,05	7,555
4,2	914,02	1640,82	41,92	0,557	914,02	1342,49	41,92	0,680	9112,42	1491,66	349,29	6,109	9112,42	1149,93	349,29	7,924
2,1	1003,32	1695,94	43,13	0,591	1003,32	1387,59	43,13	0,723	9843,96	1541,77	349,44	6,384	9843,96	1190,01	349,44	8,272
0,0	1094,94	1751,06	44,47	0,625	1094,94	1432,69	44,27	0,769	10577,55	1591,88	349,49	6,644	10577,55	1230,10	349,49	8,599

Tableau 3Sollicitations du 1^{er} genreCuve pleine

z (m)	G + P + V				G + V				G + 1,2.P			
	M (t.m)	N (t)	T (t)	e (m)	M (t.m)	N (t)	T (t)	e (m)	M (t.m)	N (t)	T (t)	e (m)
27,1	75,16	2 931,44	13,32	0,022	75,16	2 877,19	13,32	0,026	0	2 942,29	0	0
25,0	104,49	2 981,55	14,62	0,035	104,49	2 927,30	14,62	0,036	"	2 992,40	"	"
23,1	136,24	3 036,03	15,62	0,044	136,24	2 979,84	15,62	0,045	"	3 046,88	"	"
21,0	170,10	3 088,57	16,60	0,055	170,10	3 032,38	16,60	0,056	"	3 099,42	"	"
18,9	206,00	3 136,74	15,55	0,065	206,00	3 082,49	17,55	0,066	"	3 147,59	"	"
16,8	240,68	3 186,85	18,48	0,075	240,68	3 132,60	18,48	0,076	"	3 197,70	"	"
14,7	280,43	3 243,77	19,38	0,086	280,43	3 187,58	19,38	0,088	"	3 255,01	"	"
12,6	322,04	3 291,94	20,25	0,098	322,04	3 237,69	20,25	0,099	"	3 305,12	"	"
10,5	365,45	3 342,05	21,10	0,109	365,45	3 287,80	21,10	0,111	"	3 355,23	"	"
8,4	456,00	3 398,96	22,00	0,134	456,00	3 342,77	22,00	0,136	"	3 410,20	"	"
6,3	503,00	3 447,13	22,77	0,146	503,00	3 392,88	22,77	0,148	"	3 460,42	"	"
4,2	551,60	3 497,24	23,49	0,157	551,60	3 442,99	23,49	0,160	"	3 510,42	"	"
2,1	601,70	3 547,35	24,17	0,169	601,70	3 493,10	24,17	0,172	"	3 560,53	"	"
0,0	653,10	3 597,46	24,74	0,181	653,10	3 543,21	24,74	0,184	"	3 610,64	"	"

Tableau 4Sollicitations du 2^e genreCuve pleine

z (m)	1,1. (G + P + W)				0,9. (G + P) + 1,1. W				G + P + S				0,8 G + S			
	M (t.m)	N (t)	T (t)	e (m)	M (t.m)	N (t)	T (t)	e (m)	M (t.m)	N (t)	T (t)	e (m)	M (t.m)	N (t)	T (t)	e (m)
27,1	144,68	3224,58	25,64	0,044	144,68	2638,29	25,64	0,054	3403,58	2931,44	570,51	1,161	3403,58	2301,75	370,51	1,478
25,0	201,13	3279,70	28,13	0,060	201,13	2683,39	28,13	0,075	4611,60	2981,55	548,50	1,546	4611,60	2341,84	548,17	1,969
23,1	262,26	3339,63	30,06	0,078	262,26	2732,42	30,06	0,093	5718,28	3036,03	585,17	1,883	5718,28	2383,87	585,17	2,398
21,0	327,43	3397,42	31,95	0,096	327,43	2779,71	31,95	0,117	6955,38	3088,57	591,94	2,252	6955,38	2425,90	591,94	2,867
18,9	396,55	3450,41	33,78	0,115	396,55	2828,06	33,78	0,140	8205,82	3136,74	598,05	2,616	8205,82	2465,99	598,05	3,327
16,8	463,24	3505,53	35,57	0,132	463,24	2868,16	35,57	0,161	9468,26	3186,85	603,52	2,971	9468,26	2506,08	603,32	3,978
14,7	539,82	3568,14	37,30	0,151	539,82	2919,39	37,30	0,185	10741,37	3243,77	608,35	3,311	10741,37	2550,06	608,35	4,212
12,6	619,93	3621,13	38,97	0,171	619,93	2962,74	38,97	0,210	12023,82	3291,94	612,54	3,652	12023,82	2590,15	612,54	4,642
10,5	703,48	3676,25	40,61	0,191	703,48	3007,84	40,61	0,233	13314,27	3342,05	616,08	3,983	13314,27	2630,24	616,08	5,062
8,4	867,90	3738,85	42,35	0,232	867,90	3059,06	42,35	0,283	14611,38	3398,96	618,98	4,298	14611,38	2674,21	618,98	5,464
6,3	968,27	3791,84	43,82	0,255	968,27	3102,43	43,82	0,312	15913,83	3447,13	621,23	4,616	15913,83	2714,30	621,23	5,863
4,2	1061,83	3846,96	45,21	0,276	1061,83	3147,51	45,21	0,337	17220,28	3497,24	622,84	4,924	17220,22	2754,39	622,84	6,252
2,1	1158,26	3902,08	46,52	0,296	1158,26	3192,61	46,52	0,367	18529,40	3547,35	623,81	5,223	18529,40	2794,48	623,81	6,630
0,0	1257,19	3957,20	47,62	0,317	1257,19	3237,71	47,62	0,388	19839,85	3597,46	624,13	5,515	19839,85	2834,57	624,13	6,999

Le noyau central d'une section annulaire de faible épaisseur est donné par un cercle concentrique à la section de rayon $e_1 = \frac{D_m}{4} = \frac{4,70}{4} = 1,175 \text{ m}$

Sous les sollicitations du 1^{er} genre (cave vide ou pleine), la section sur toute la hauteur de la tour est entièrement comprimée car ($e < e_1$).

La contrainte de compression dans le béton étant inférieur à la contrainte admissible de compression $\tilde{\sigma}_b'$ du béton (voir Tableau 5). Donc sous les sollicitations du 1^{er} genre le béton sera ferrailleé d'un pourcentage minimale d'acier d'après les prescriptions du cahier de charges applicable à la construction de la cheminée en B.A. (Annexe ITBP Art 71) Soit :

$$\text{Sens horizontal : } \Sigma(w_i + w_e) = 0,25\%$$

$$\text{Sens vertical : } \Sigma(w_i + w_e) = 0,25\%$$

L'effet le plus défavorable est obtenu sous les sollicitations du 2^{es} genre, néanmoins on a préféré, en ce qui concerne les sollicitations du 1^{er} genre indiquer le pourcentage minimal d'acier qu'il aurait fallu adopté dans le cas où ces mêmes sollicitations auraient été prépondérantes sur celle du 2^{es} genre (avec bien sûr pour les sollicitations du 1^{er} genre - section entièrement comprimée et $\tilde{\sigma}_{bm}' < \tilde{\sigma}_b'$).

Donc les valeurs $\Sigma(w_i + w_e)$ données ci-dessous sont données seulement à titre indicatif.

On signale que dans le cas des sollicitations du 1^{er} genre (section entièrement comprimée), la contrainte maximale dans le béton est calculée d'après la formule utilisée pour les matériaux homogènes.

$$\tilde{\sigma}_{bm}' = \frac{N}{A} \pm \frac{M}{W} \quad W = \frac{I}{r}$$

A et I sont respectivement l'aire et le moment d'inertie de la section annulaire de béton homogénéisé

$$A = \pi R_m^2 \cdot h_0$$

$$h_0 = 30 \text{ cm} \text{ (épaisseur du fût).}$$

$$I = 2\pi R_m \cdot e$$

$$R_m = \text{rayon moyen du fût.}$$

Le tableau ci-dessous donne les contraintes $\tilde{\sigma}_{bm}'$ ainsi calculées.

Tableau 5

Z (m)	Σ (kN)	I_0 (cm^3)	SOLlicitation du 1 ^{er} genre						SOLlicitATION DU 2 ^e genre							
			CUVE VIDE			CUVE PLEINE			CUVE VIDE			CUVE PLEINE				
			G+P+V	G+V	G+2P	G+P+V	G+V	G+2P	$1,1(G+P+W)$	$0,9(G+P)+1,1W$	$1,1(G+P+W)$	$0,9(G+P)+1,1W$				
1 88 -1	1 4 25 23,1 21 18,9 16,8 14,7 12,6 10,5 8,4 6,3 4,2 2,1 0,0	1 4 33 33 33 33 33 33 33 33 33 33 33 33	b'_{b1}	b'_{b2}	b'_{b1}	b'_{b2}	b'_{b1}	b'_{b2}	b'_{b1}	b'_{b2}	b'_{b1}	b'_{b2}	b'_{b1}	b'_{b2}	b'_{b1}	b'_{b2}
			10,08	9,307	9,51	8,73	9,80	31,1	30,28	30,54	29,71	30,80	11,41	9,91	9,47	7,97
			10,75	9,680	10,19	9,11	10,33	31,79	30,64	31,22	30,07	31,33	12,27	10,20	10,23	8,16
			11,49	10,087	10,90	9,50	10,90	32,54	31,03	31,95	30,45	31,9	13,25	10,48	11,09	8,32
			12,21	10,464	11,62	9,87	11,45	33,27	31,4	32,69	30,81	32,45	14,11	10,83	11,84	8,56
			12,90	10,784	12,33	10,21	11,95	33,97	31,7	33,41	31,14	32,95	15,07	10,98	12,70	8,61
			13,623	11,114	13,05	10,54	12,48	34,69	32,04	34,12	31,67	33,48	16,02	11,19	13,54	8,71
			14,42	11,509	13,83	10,92	13,08	35,51	32,42	34,92	31,83	34,08	17,06	11,45	14,47	8,86
			15,24	11,795	14,57	11,22	13,60	36,24	32,69	35,67	32,12	34,60	18,03	11,59	15,34	8,90
			15,89	12,097	15,30	11,54	14,13	37,00	32,98	36,44	32,41	35,13	19,04	11,74	16,24	8,94
			16,71	12,461	16,13	11,87	14,70	38,10	33,07	37,51	32,49	35,7	20,14	11,95	17,22	9,03
			17,46	12,725	16,89	12,15	15,23	38,86	33,32	38,29	32,75	36,23	21,17	12,03	18,15	9,01
			18,235	13,002	17,66	12,43	15,75	39,65	33,57	39,09	33,01	36,75	22,21	12,14	19,09	9,02
			19,01	13,271	18,44	12,70	16,28	40,46	33,82	39,89	33,26	37,28	23,28	12,23	20,05	8,99
			19,80	13,533	19,23	12,96	16,80	41,26	34,07	40,70	33,50	37,8	24,36	12,30	21,03	8,96

- Remarque : les contraintes (b'_{b1}, b'_{b2}) sont en kg/cm^2 -

Pour les sollicitations du 2^e genre données par :

$$G + P + S$$

$$0,8.G + S$$

Et dans les deux cas envisagés (cave vide et pleine), la section transversale de la tour n'est plus entièrement comprimée sur toute la hauteur de la tour, (voir les tableaux).

Pour la presque totalité des sections considérées, l'excentricité "e" de la force verticale soit du noyau central ($e_1 = 1,425$), ce qui fait que la section est partiellement comprimée ou partiellement tendue.

Donc c'est cette sollicitation du 2^e genre qui est déterminante pour le ferrage de la tour du support.

Le calcul se fait d'après "MARIUS DIVER"

Le principe est le suivant : on calcule $a = \frac{M}{N.R_m}$

avec : M : moment fléchissant d'ensemble.

N : Effort normal.

R_m : rayon moyen du fût

a : excentricité relative

On se donne : $\Sigma w = w_e + w_i$

On tire du tableau 4 le cas de charge A (sollicitation d'ensemble)

Sens vertical : P, b, s

$$\text{il en résulte : } \bar{\sigma}_{bm}^f = \frac{N.b}{R_m \cdot h_0}$$

$$\sigma_{am} = n.S \cdot \bar{\sigma}_{bm}^f$$

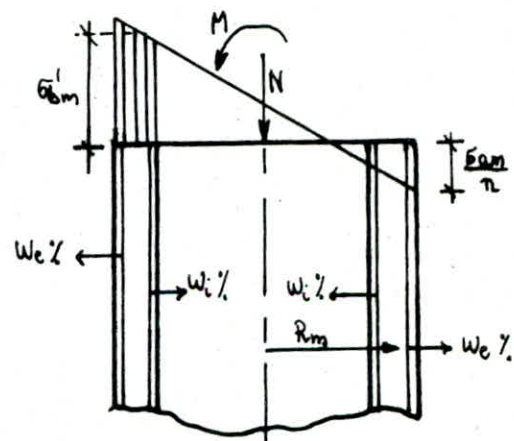
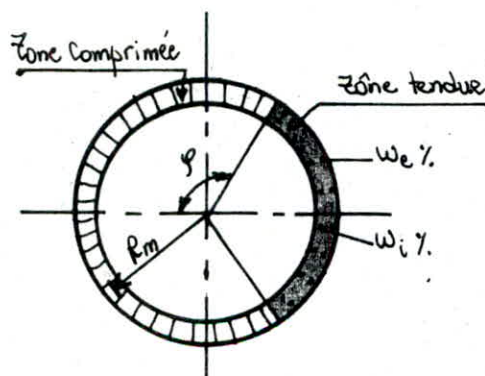


Tableau 6:

z (m)	CUVE VIDE								CUVE PLEINE							
	e _m	a	Σw%	b	s	s	E _m kg/cm ²	e _m	a	Σw%	b	s	s	E _m kg/cm ²	E _m kg/cm ²	
27,1	1,986	0,522	0,25	0,313	161,2	90,74	19,06	7,83	1,161	0,305	~	~	~	~	~	~
25	2,474	0,651	~	0,369	124,44	9,277	23,69	98,44	1,546	0,407	~	~	~	~	~	~
23,1	2,87	0,755	~	0,432	104,54	0,598	29,28	262,7	1,883	0,495	~	~	~	~	~	~
21	3,304	0,869	~	0,52	88,37	1,058	37,05	587,98	2,252	0,592	0,25	0,341	138,5	0,143	69,29	148,62
18,9	3,731	0,982	~	0,621	7688	1,587	46,31	1100,03	3,616	0,688	~	0,39	116,8	0,379	80,48	457,54
16,8	4,131	1,087	~	0,713	70,7	1,99	55,41	1654,01	2,971	0,782	~	0,452	100,16	0,7	94,76	995,05
14,7	4,488	1,181	~	0,793	66,33	2,342	64,6	2269,3	3,311	0,871	~	0,522	88,12	1,067	111,39	1782,9
12,6	4,856	1,277	~	0,879	63	2,665	74,39	2973,7	3,652	0,961	~	0,606	77,82	1,535	131,24	3021,9
10,5	5,2	1,368	0,4	0,841	64,67	2,497	73,94	2969,63	3,983	1,048	0,3	0,648	72,93	1,831	142,67	3913,12
8,4	5,5	1,447	~	0,894	62,95	2,67	81,95	3282,2	4,298	1,131	0,5	0,646	75,54	1,666	144,65	3609,95
6,3	5,816	1,53	~	0,949	61,41	2,836	90	3828,6	4,616	1,214	0,6	0,67	74,91	1,704	151,94	3883,73
4,2	6,109	1,607	0,5	0,942	63,43	2,62	92,44	3633	4,924	1,295	0,7	0,691	74,64	1,721	158,98	4104,
2,1	6,384	1,68	~	0,986	62,397	2,727	100,01	4 091	5,223	1,374	0,9	0,687	76,29	1,621	160,33	3898,63
0,0	6,644	1,748	0,6	0,975	64,19	2,542	102,11	3893,5	5,515	1,451	1,0	0,7	76,16	1,628	165,67	4045,7
27,1	2,637	0,694	0,25	0,393	115,6	0,397	18,03	107,36	1,478	0,389	~	~	~	~	~	~
25	3,275	0,862	~	0,514	89,25	1,027	24,93	384,12	1,969	0,518	0,25	0,312	163	0,022	48,07	15,86
23,1	3,795	0,998	~	0,632	76,18	1,638	32,41	791,38	2,398	0,631	~	0,359	128,89	0,228	56,3	192,55
21	4,357	1,146	~	0,762	67,79	2,216	41,18	1368,92	2,867	0,754	~	0,432	104,73	0,594	67,75	603,67
18,9	4,899	1,289	~	0,889	62,63	2,903	50,38	204,3	3,327	0,875	~	0,525	87,67	1,085	83,79	1363,67
16,8	5,413	1,424	~	0,999	61,3	3,089	59,25	2745,35	3,778	0,994	~	0,629	76,35	1,618	103,7	2516,9
14,7	5,876	1,546	~	1,097	57,04	3,39	68,24	3 470	4,212	1,108	~	0,731	69,61	2,07	122,63	3808
12,6	6,338	1,667	0,4	1,039	59,36	3,08	67,37	3113	4,642	1,221	0,4	0,74	68,91	2,126	126,1	4021,3
10,5	6,776	1,783	~	1,115	57,91	3,266	75,24	3 686,3	5,062	1,332	0,6	0,738	71,45	1,933	127,7	3703
8,4	7,164	1,885	0,5	1,109	60,06	2,996	78,05	3 502,86	5,464	1,437	0,8	0,741	73,25	1,81	13036	3539,5
6,3	7,555	1,988	0,6	~	61,8	2,79	80,97	3 388,98	5,863	1,563	0,9	0,769	73,04	1,824	13732	3757
4,2	7,924	2,085	0,7	1,11	63,31	2,632	83,97	3 315,34	6,252	1,645	1,0	0,79	73,12	1,819	143,15	3906
2,1	8,272	2,176	~	1,155	62,65	2,701	90,66	3 673,1	6,63	1,744	1,1	0,815	73,12	1,92	149,83	4090
0,0	8,599	2,263	0,8	1,155	63,96	2,565	93,47	3 596,31	6,999	1,842	1,2	0,835	73,28	1,79	155,7	4180

le ferrailage de la tour (Armatures dans le sens vertical) est donné par le tableau ci-dessous. Nous avons retenu les valeurs des pourcentages d'armatures les plus défavorables pour un niveau donné.

Cote z (cm)	w_e %	w_i %	A_e (cm^2)	A_i (cm^2)	A_e admissible	A_i (cm^2) admissible
27,1	0,125	0,125	124,09	124,09	124,714	124,714
25	"	"	"	"	"	"
23,1	"	"	"	"	"	"
21	"	"	"	"	"	"
18,9	"	"	"	"	"	"
16,8	"	"	"	"	"	"
14,7	"	"	"	"	"	"
12,6	0,2	0,2	190,91	190,91	"	"
10,5	0,3	0,3	286,37	286,37	124,720	124,720
8,4	0,4	0,4	381,82	381,82	"	"
6,3	0,45	0,45	429,55	429,55	124,725 + 124,720	124,725 + 124,720
4,2	0,5	0,5	477,28	477,28	"	"
2,1	0,55	0,55	525	525	124,725	124,725
0,0	0,6	0,6	572,73	572,73	*	"

Exemple de calcul de A_e et A_i

la section totale A d'acier correspondante au pourcentage total d'acier est donnée par :

$$A = \frac{\sum w \cdot 2\pi \cdot R_m \cdot h_0}{100} \quad \left\{ \begin{array}{l} R_m = 380 \text{ cm} \\ h_0 = 40 \text{ cm} \end{array} \right. \Rightarrow A = 954,56 \cdot \sum w$$

Donc pour $\sum w = 0,25\%$ par exemple, on a $A = 954,56 \cdot 0,25 = 248,18 \text{ cm}^2$
d'où $A_e = A_i = 124,09 \text{ cm}^2$.

la longueur de recouvrement $\ell_1 = 50\phi$

On prendra dans le sens transversal $w_e + w_i = 0,6\%$ car $k_{\text{am}} = 4116 < 4200$

Ferraillage dans le sens transversal : (cerces)

- L'effort tranchant (H) engendre des cisaillements dans le béton :

$$\tau_b = H / b \cdot z = H / 1,6 \cdot D_m \cdot h_0 \text{ on a considéré que } \begin{cases} z = 0,8 \cdot D_m \\ b = 2h_0 \end{cases} \quad h_0: \text{épaisseur du fût}$$

- Le cisaillement fissure le béton à 45° ; l'équilibre étant assuré par les briques comprimées à 45° et les armatures transversales; il en résulte des tractions dans les cerces :

$$\sigma_{am} = \frac{100 \cdot H}{1,6 \cdot D_m \cdot \Sigma w \cdot h_0}$$

- Cette contrainte maximale due à l'effort tranchant (H) correspond à la face latérale de la tour.

- L'effort tranchant le plus important est due au séisme, dans le cas où la cuve est pleine ($G + P + S_1$) en conséquence le ferraillage est calculé d'après $H = T = 624,13 \text{ t}$ (Etude hydrodynamique).

- Dans le cas des sollicitations du 2^e genre T est majoré de 1,925 (donné par M.Diver). d'où : $T_{maj} = 1007,19 \text{ t}$ On prendra $\Sigma w = 96\%$.

d'où la contrainte de traction dans les cerces :

$$\sigma_{am} = \frac{100 \cdot 1201,45 \cdot 10^3}{1,6 \cdot 760 \cdot 0,6 \cdot 40} = 4116,9 \text{ Kg/cm}^2 < 4200 \text{ Kg/cm}^2$$

- La section d'acier nécessaire est : $A = \Sigma w \cdot h_0 = 0,6 \cdot 40 = 24 \text{ cm}^2/\text{m}$

$$\Rightarrow A_i = A_e = \frac{24}{2} = 12 \text{ cm}^2/\text{m} \Rightarrow (2 \times 6 \text{ T16 / m})$$

On prendra sur toute la hauteur de la tour $2 \times 6 \text{ T16 / m}$ de hauteur ; avec un espace de $t = 16 \text{ cm}$

- On oubliera pas de placer les épingles pour maintenir le ferraillage en place lors du coulage, on placera donc $4 \frac{1}{2}/\text{m}$ disposés en losange.

Vérification de la tour aux effets secondaires (moments d'ovalisations).

- La section la plus sollicitée de la tour est celle située à :

Vent Normal

$$M_{0i} = 0,338 \text{ Kg.m / m}$$

$$M_{0e} = 292 \text{ Kg.m / m}$$

Vent extrême

$$M_{0i} = 591 \text{ Kg.m / m}$$

$$M_{0e} = 511 \text{ Kg.m / m}$$

- Rappelons que chaque tronçon de l'ouvrage, de section annulaire est en équilibre sous l'action de la pression totale du vent (P) et des cisaillements (T) engendrés dans l'épaisseur de la paroi. (P) et (T) produisent les moments d'ovalisation.
- La vérification sera faite à l'aide des moments d'ovalisations dus au vent extrême.
- Nous avons évalué précédemment le ferraillage transversal à 2x6 T16

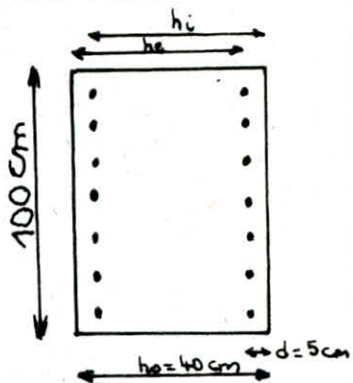
$$M_{oe} = 511 \text{ Kg.m/m}$$

$$\bar{\sigma}_b' = 1,5 \cdot \bar{\sigma}_b' (SP_1) = 225 \text{ Kg/cm}^2$$

$$h_e = h_o - d = 40 - 5 = 35 \text{ cm} \quad ; \quad \bar{\sigma}_a = 4200 \text{ Kg/cm}^2$$

$$\alpha = \frac{n \bar{\sigma}_b'}{n \bar{\sigma}_b' + \bar{\sigma}_a} = 0,4455$$

$$M_{rb} = \frac{1}{2} \cdot \bar{\sigma}_b' \cdot b \cdot d \cdot \left(1 - \frac{\alpha}{3}\right) \cdot h_o^2 = 68281,7 \text{ Kg.m} \Rightarrow M_{oe} = 511 \text{ Kg.m/m}$$



On a pas d'armatures comprises :

$$A_{\text{nécess}} = \frac{M_{oe}}{3 \cdot \bar{\sigma}_a} = \frac{511 \cdot 10^3}{3 \cdot 35 \cdot 4200} = 0,39 \text{ cm}^2 \ll 6 \text{ T16}$$

Donc les armures prévues sont suffisantes pour reprendre les moments d'ovalisation.

Calcul des dalles de repos :

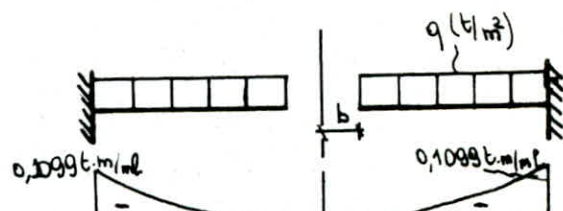
Cette dalle est assimilée à une plaque circulaire encastrée sur le pourtour intérieur du fût ; ouverte en son centre de rayon b .

La plaque est sollicitée par son poids propre plus une surcharge d'exploitation (palier d'escaliers + ouvrier) estimée à 150 Kg/m^2 .

$$\text{poids propre : } 0,1 \cdot 2,5 = 0,25 \text{ t/m}$$

$$\text{Surch. d'expl. : } 1,2 \cdot 1,5 = 0,18 \text{ t/m}$$

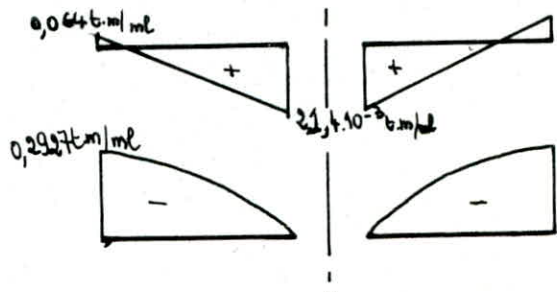
$$\Rightarrow q = G + 1,2P = 0,43 \text{ t/m}$$



Les efforts sont calculés à l'aide des tables de BARES (calcul des dalles et des parois p. 143).

$$[\alpha = 3,6 \text{ m} ; b = 2,6 \text{ m}] :$$

$$\text{Effort tranchant : } T_{\text{trad}} = -q \frac{\alpha}{2} \left(3 - \beta^2 \cdot \frac{1}{\beta} \right)$$



$$\text{Moment radial : } M_R = q \cdot \frac{\alpha^2}{16} \left[(1+\mu) \cdot (1-K) + 4\beta^2 - (3+\mu) \cdot \beta^2 - (1-\mu) \cdot K \cdot \frac{1}{\beta^2} + 4 \cdot (1+\mu) \cdot \beta^2 \cdot \log \beta \right]$$

$$\text{Moment tangentiel : } M_S = q \cdot \frac{\alpha^2}{16} \left[(1+\mu) \cdot (1-K) + 4\mu \cdot \beta^2 - (1+3\mu) \cdot \beta^2 + (1-\mu) \cdot K \cdot \frac{1}{\beta^2} + 4(1+\mu) \cdot \beta^2 \cdot \log \beta \right]$$

$$\text{avec } K = \frac{(1-\mu)\beta^2 + (1+\mu)(1+4\beta^2 \cdot \log \beta)}{(1-\mu) + (1+\mu)\beta^2} \cdot \beta^2$$

$\beta = \frac{R}{a}$: distance relative du pt considéré.

$\beta = \frac{b}{a}$: grandeur relative de l'ouverture de la dalle.

$\mu = 0,15$ coeff de poisson.

$$\beta = \frac{2,6}{3,6} = 0,722 \Rightarrow K = 0,292$$

$R(m)$	$T_R(t.m/m)$	$M_R(t.m^2/m)$	$M_S(t.m/m)$
$R=b=3,6$	0	$13 \cdot 10^5 \approx 0$	$21 \cdot 10^3$
$R=a=2,3$	0,2927	-0,1099	-0,0164

Calcul des Armatures :

a) Armatures radiales :

$$M_R = -0,1099 t.m/m$$

$$h_f = 10 \text{ cm} \Rightarrow h = 8 \text{ cm}.$$

$$b = 100 \text{ cm} \Rightarrow \bar{f}_a = 2800 \text{ Kg/cm}^2$$

$$\mu = \frac{15 \cdot M_R}{\bar{f}_a \cdot b \cdot h^2} = 0,009 \Rightarrow \begin{cases} \varepsilon = 0,9573 \\ K = 102 \end{cases}$$

$$\bar{\omega} = 0,06$$

$$A = \frac{M_R}{\bar{f}_a \cdot \varepsilon \cdot h} = 0,512 \text{ cm}^2 \quad (2T8/m)$$

b) Armatures tangentielles : la section sera faible ; on adoptera donc un ferrailage minimum de 9,25%. ainsi que pour T_R, M_R .

$$\text{Donc } A = 0,25 \cdot 10 = 2,5 \text{ cm}^2/\text{m} \text{ soit } 5T8/m = 2,51 \text{ cm}^2$$

d'où On adoptera un quadrillage 5T8/m.

Vérification de l'effort tranchant :

$$\tau_b = \frac{T}{b \cdot \beta} = \frac{0,292 \cdot 10^3}{100 \cdot \frac{8}{3} \cdot 8} = 4,17 \text{ Kg/cm}^2$$

$$\tau_b < 3,5 \cdot \bar{f}_b = 21,8 \quad \text{c'est vérifié.}$$

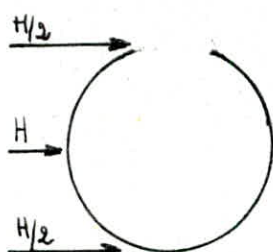
Etude au niveau des ouvertures (sans renforts).

Autour des ouvertures dans les voiles, seront disposés des cadres incorporés formés par deux linteaux et deux poteaux (renforts), qui doivent résister et transmettre les sollicitations (M, N, T) extérieures dans les sections du filé : comme si celui-ci n'était pas percé.

Etude du cadre incorporé

On considère 2 hypothèses :

Hypothèse 1 :



Sens de l'effort.

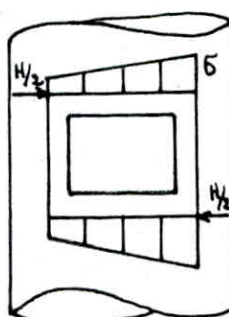


Schéma réel.

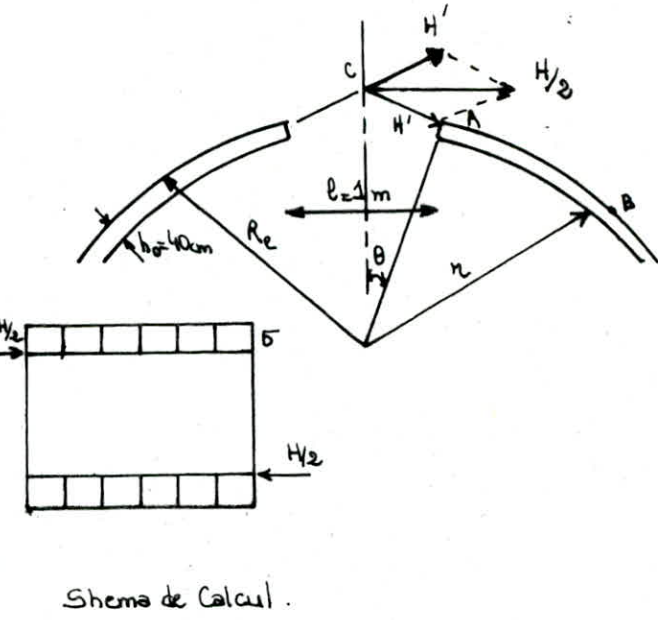


Schéma de Calcul.

On considère le renfort comme un cadre formé devant équilibrer les efforts horizontaux.

On devra s'assurer que les éléments verticaux et horizontaux sont capables de résister au moment fléchissant et à l'effort tranchant.

Éléments de calcul :

$$b = \frac{l}{2} = 0,5 \text{ m} ; \quad R_e = \frac{D_e}{2} = 4 \text{ m} ; \quad r = R_e - h_0 = 3,6 \text{ m} .$$

$$\Rightarrow \lambda = \frac{1}{R_e^2} \cdot \left[r \cdot \sqrt{R_e^2 - b^2} - b \cdot \sqrt{R_e^2 - r^2} \right] = 0,838$$

$$L = 2 \cdot \sqrt{R_e^2 - r^2} = 3,48 \text{ m}$$

$$\text{Effort tranchant } H = 624,13 t \Rightarrow H' = \frac{H}{4\lambda} = 186 t$$

Moment fléchissant agissant sur chaque poteau du cadre incorporé :

$$M_f = H' \cdot \frac{d}{2} = 186 \cdot \frac{2}{2} = 186 \text{ t.m} \quad (d = 2 \text{ m} \text{ hauteur de l'ouverture}).$$

bras de levier des forces intérieures dans le poteau $\gamma_1 = \frac{2}{3} \cdot L = 2,32 \text{ m}$.

On obtient le renforcement vertical qui borde l'ouverture $A_{1v} = \frac{M_f}{E_a \gamma_1}$

$$\bar{E}_a = 4200 \text{ Kg/cm}^2 \text{ (SP2)} \Rightarrow A_{1v} = 9,08 \text{ m}^2$$

On prévoit GT20 en bordure sur une longueur de $0,15 \cdot L = 52,2 \text{ cm}$ de part et

d'autre de l'ouverture (répartis en 2 nappes 6T20)

de ferraillage courant vertical est : $12 \cdot \Sigma w = 1,2 \cdot 1,2 = 1,44\%$

Ce pourcentage rapporté à $h_0 = 40\text{cm}$; la section d'acier par la longueur $0,85 \cdot l = 2,958\text{m}$ est $0,85 \cdot 348 \cdot \frac{40}{100} \cdot 1,44 = 170,38\text{cm}^2 > 15 \cdot A_{1V} = 28,2\text{cm}^2$

On garde donc $170,38\text{cm}^2$ c.a.d : 54T20 répartis en 2 nappes sur une longeur de $2,96\text{cm}$.

Longueur des armatures $d + 4l_d = 3,8\text{m}$.

Moment fléchissant dans le limiteau du cadre incorporé M_f sera équilibré par A_{2H} :

$$A_{2H} = \frac{M_f}{\frac{5a}{3} \cdot \frac{3}{2}} ; \frac{3}{2} \cdot \frac{2}{3} \cdot l = 1,33\text{m} \Rightarrow A_{2H} = 30\text{cm}^2 \text{ soit } 10\text{T20}$$

A_{2H} sera reportée sur la hauteur $0,15 \cdot l = 33\text{cm}$.

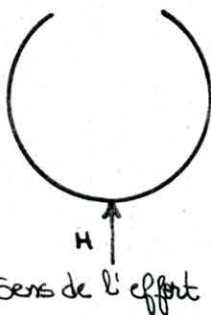
La section d'acier courante sur $0,85 \cdot l = 187\text{cm}$ est : $0,85 \cdot l \cdot \frac{h_0}{100} \cdot \Sigma w_H$ avec $\Sigma w_H = 0,6\%$.

$$l = 2,2\text{m} \Rightarrow 0,85 \cdot 2,2 \cdot \frac{h_0}{100} \cdot \Sigma w_H = 44,9\text{cm}^2 \leq 15 \cdot A_{2H} = 45\text{cm}^2$$

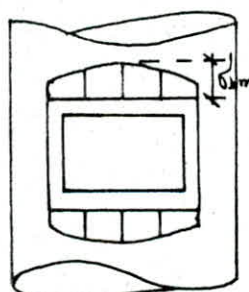
soit 15 T20 sur une hauteur de 187cm en deux nappes.

Longueur des armatures $d + 4l_d = 3,6\text{m}$.

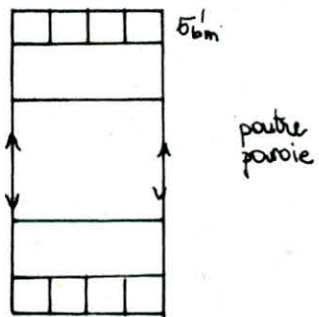
Hypothèse 2 :



Sens de l'effort



Schema réel



Schema de calcul.

Le limiteau est soumis à une compression $p = 51\text{bm}(\text{max}) = 165,67\text{kg/cm}^2$ (voir tableau b).

$$\Rightarrow M_o = p' \cdot \frac{l^2}{8} \text{ avec } p' = pho : \text{charge sur la poutre paroi.}$$

$$p' = 662,68\text{t/mf} \Rightarrow M_o = p' \cdot \frac{l^2}{8} = 82,83\text{t.m} \text{ d'où } A = 14,82\text{cm}^2 (30\text{cm}^2 = A)$$

donc 10T20 disposés sur une hauteur $= 0,15 \cdot l = 33\text{cm}$ dont 5T20 prolongés sur la circonference du fil.

On retient ce ferraillage important c.a.d : $A = 30\text{cm}^2$: 10T20

De plus sur la hauteur de 0,85. $l = 187\text{cm}$ du linteau on prévoit la section $15.A_2 = 45\text{cm}^2$ soit 15T20 en deux nappes sur une longueur de 3,6m.

Contrainte de cisaillement :

$$H = T_{\max} = p' \cdot \frac{l}{2} = 69,7 \cdot \frac{1}{2} = 331,34 \text{ t/m}$$

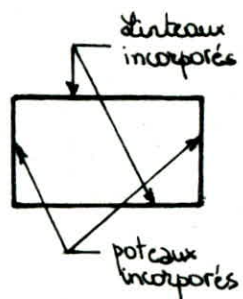
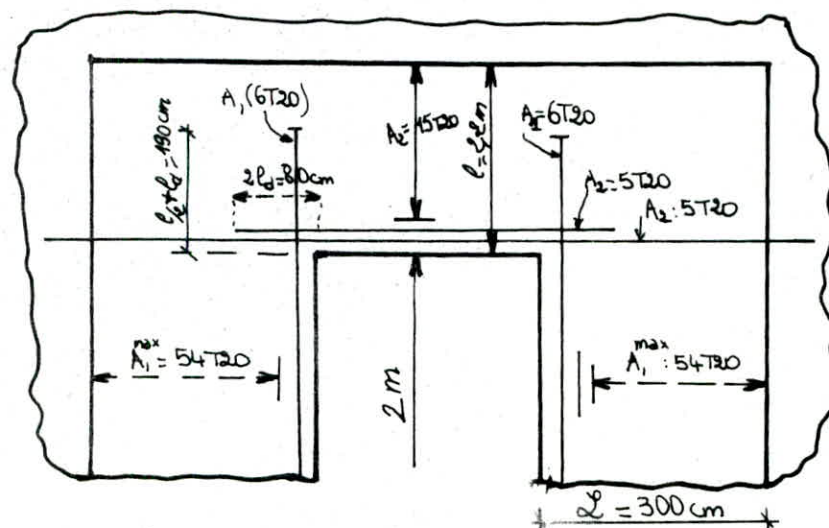
$$\tau_{\max} = \frac{T}{b \cdot z_2} = \frac{331,34 \cdot 10^3}{40 \cdot 0,875 \cdot 20} = 43 \text{ kg/cm}^2$$

Contrainte de cisaillement tolérable :

$$\bar{\tau} = 5,625 = 31,25 \text{ kg/cm}^2 \text{ sous SP2 } 15 \cdot \bar{\tau} = 46,88 \text{ kg/cm}^2$$

$$\text{donc } \tau_{\max} \leq \bar{\tau} = 46,88 \text{ kg/cm}^2$$

$$\text{Recouvrement : } l_d = \frac{\Phi}{4} \cdot \frac{5a}{\bar{\tau}} = \frac{2}{4} \cdot \frac{1219}{18} \approx 40 \text{ cm}$$



Pour les ouvertures au niveau des dalles de repos ; elles auront des dimensions de $0,5 \times 0,5\text{m}$ et tout autour des côtés le ferraillage sera renforcé par des barres de même diamètre que le ferraillage courant.

Chapitre : 10

FONDATION

Introduction :

La paroi cylindrique d'épaisseur $h_0 = 0,4\text{ m}$ et de diamètre moyen $D_m = 7,6\text{ m}$ transmet les sollicitations de la superstructure à la fondation. Cette dernière est destinée à transmettre à son tour ces charges au sol porteur sans désordres :

- qui peuvent nuire à la superstructure (fissuration, ...)
- " " destabiliser la structure sous l'action des forces horizontales

Rapport du sol :

a) Notre ouvrage sera implanté dans la région de CHIFFA; lieu où les sondages réalisés par l'équipe "ENAGEO" ont relevés les résultats suivants:

- Couche de terre végétale d'épaisseur $1,3\text{ m}$; de couleur jaune.
- Marne parfois limoneuse de couleur jaune.
- Marne plastique de couleur grise à partir de 10 m de profondeur, aucun niveau d'eau n'a été détecté.

Soit en conclusion, ce site est constitué par le plissonnier marneux ou argileux formation du piloxene inférieur. On peut s'assurer donc d'une homogénéité du sol jusqu'à 17 m de profondeur.

b) Les essais de consistance des sols montrent que ces derniers sont mi-durs à durs.

c) Paramètres mécaniques du sol: $\phi = 21^\circ$; $c = 65\text{ kN/m}^2$ (sol cohérent)

$$\gamma = 20\text{ kN/m}^3$$

d) La teneur du sol en carbonates et en chlorures montre que le sol est peu agressif et on peut donc mettre une couche de béton de propreté d'épaisseur minimale = 5 cm .

Choix du type de fondation :

Pour ce genre de construction, lourde et soumise à des moments de renversement importants, on optera pour un radier général.

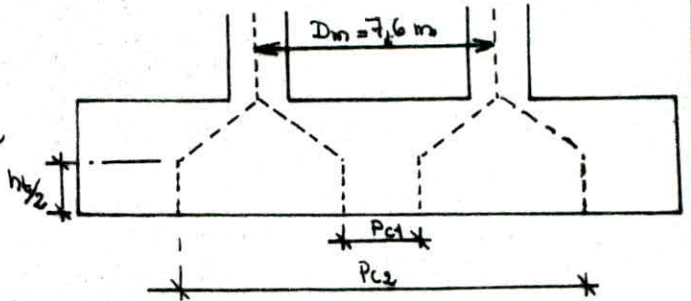
Dimensionnement du radier

1) La hauteur du radier (h_t) se détermine d'après la condition de non poinçonnement :

$$\frac{15 \cdot Q}{P_c \cdot h_t} \leq 1,2 \cdot \bar{\epsilon}_b$$

$$P_{c_1} = (D_m - h_t) \cdot \pi \quad \left\{ \begin{array}{l} P_c = P_{c_1} + P_{c_2} = 2\pi \cdot D_m \\ P_{c_2} = (D_m + h_t) \cdot \pi \end{array} \right\}$$

$$Q = G + 1,2 P = 3610,64$$



$$h_t > \frac{15 \cdot 3610,64}{2\pi \cdot 7,6 \cdot 1,2 \cdot 62,5} = 1,51 \text{ m}$$

On prendra $h_t = 2,50 \text{ m}$

2) Diamètre du radier :

- Efforts à la base du fût

$$\left\{ \begin{array}{l} N_1 = 3597,46 \text{ t} \\ M_1 = 19839,85 \text{ t.m} \\ T_1 = 624,13 \text{ t} \end{array} \right.$$

$$N_t = \gamma_b \left[\frac{\pi}{4} \cdot (D^2 - 64) \cdot 2,1 + \frac{1}{2} \left(\frac{2}{3} \cdot h_t \left(\frac{D-8}{2} \right) \left(\frac{D+4}{3} \right) \right) 2\pi \right]$$

$$N_{fond} = \gamma_b \cdot \left[\frac{\pi}{4} \cdot D^2 \cdot h_t - \frac{1}{2} \left(\frac{2}{3} \cdot h_t \left(\frac{D-8}{2} \right) \left(\frac{D+4}{3} \right) \right) 2\pi \right]$$

$$\Rightarrow N_t + N_f = D^2 \cdot (3,3 + 1,78 \cdot h_t) + D \cdot (0,69 \cdot h_t) + 5,58 \cdot h_t - 211$$

$$\Rightarrow N = N_1 + N_b + N_f = D^2 \cdot (3,3 + 1,78 \cdot h_t) + D \cdot (0,69 \cdot h_t) + 5,58 \cdot h_t + 3386,46$$

Etant donné que le sol n'admet pas de traction, on doit donc avoir $\delta_2 \geq 0$

$$\delta_2 (\text{min}) = \frac{D^2 \cdot (3,3 + 1,78 \cdot h_t) + D \cdot (0,69 \cdot h_t) + 5,58 \cdot h_t + 3386,46}{\frac{\pi \cdot D^3}{4}} - \frac{19839,85 + 624,13 \cdot h_t}{\pi \cdot D^3 / 32} \geq 0$$

$$\text{Soit } h_t = 2,5 \text{ m} \Rightarrow D = 23 \text{ m} \quad \text{et} \quad N_t + N_f = 3942 \text{ t}$$

Calcul de la capacité portante du sol.

$$\text{La relation de TERzaghi} \Rightarrow \bar{\epsilon}_a = \frac{0,6 \cdot R \cdot \gamma \cdot N_r + \gamma \cdot D \cdot (N_g - 1) + 1,3 \cdot C \cdot N_c}{F} + \gamma_D$$

$$R = 11,5 \text{ m}$$

$$\gamma = 20 \text{ kN/m}^3$$

$$C = 65 \text{ kN/m}^2$$

$$N_r = 5,76$$

$$N_g = 7,07$$

$$N_c = 15,8$$

$$F = 3$$

$$\Delta$$

$$\text{profondeur d'encaissement} = 4,6 \text{ m}$$

$$\Rightarrow \bar{\epsilon}_a = 9,8 \text{ b}$$

La capacité portante admissible sera limitée à 3 b ; en tenant compte des valeurs du tassement et de la résistance à la compression simple.

On travaille donc avec $\bar{\epsilon}_a = 3 \text{ bars} = 30 \text{ t/m}^2$

Vérification des contraintes dans le sol :

$$\text{aire en contact du sol : } S = \pi \cdot \frac{D^2}{4} = 415,26 \text{ m}^2$$

$$\text{Module de résistance : } W = \frac{\pi D^3}{32} = 1193,88 \text{ m}^3$$

$$\text{Les contraintes sont données par : } \sigma_{1,2} = \frac{N_t + N_p + N_1}{S} \pm \frac{M_1 + 2,5 \cdot T_1}{W}$$

Combinaison du 1^e genre :

Cuve vide	G ₁ + V	G ₁ +P+V	G ₁ +1,2P
σ_1 (t/m ²)	13,72	13,87	13,38
σ_2 (t/m ²)	12,68	12,83	13,38

Cuve pleine	G ₁ +V	G ₁ +P+V	G ₁ +1,2P
σ_1 (t/m ²)	18,64	18,77	18,21
σ_2 (t/m ²)	17,46	17,59	18,21

Combinaison du 2^e genre :

Cuve vide	0,9(G+p) + 1,2W	1,1(G+p+W)	G+p+S	0,8G+S
σ_1 (t/m ²)	13,96	14,73	22,94	22,06
σ_2 (t/m ²)	11,96	12,73	3,76	2,88

Cuve pleine	0,9(G+p) + 1,2W	1,1(G+p+W)	G+p+S	0,8G+S
σ_1 (t/m ²)	18,46	20,19	36,1	34,26
σ_2 (t/m ²)	16,16	17,89	0,26	-1,6

Vérifications :

$$a) \text{ Pour } \sigma_2 \geq 0 \Rightarrow \bar{\sigma} = \frac{3\sigma_1 + \sigma_2}{4} \leq 133 \cdot \bar{\sigma}_a = 39,9 \text{ (Sol mi-dur).}$$

Cette condition est vérifiée pour toutes les combinaisons soit en particulier pour

$$(G+p+S, 2^{\text{e}} \text{ genre}) \text{ où } \bar{\sigma} = 27,14 \text{ t/m}^2 \leq 39,9 \text{ t/m}^2.$$

b) pour $\sigma_2 < 0$

En règle générale, il suffit de vérifier que

$$\sigma_1 \leq 1,33 \bar{\sigma}_s$$

sous $\sigma_1 = 34,26 \leq 39,9 \text{ t/m}^2$ (pour le cas cuve pleine, second genre, 0,8.G+S).

Mais comme vérification supplémentaire on doit avoir :

$$\frac{3}{4} \cdot \sigma_1' = \left(\frac{2N}{A} \right) \cdot \frac{3}{4} \leq 133 \cdot \bar{\sigma}_s$$

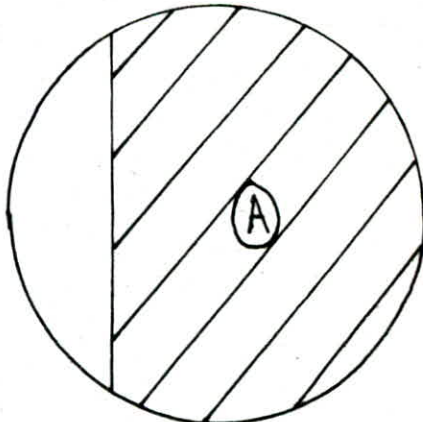
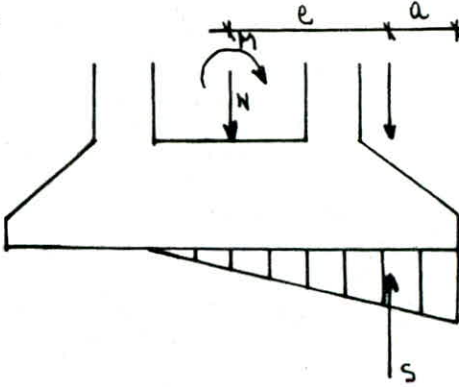
A : aire de la partie comprimée, le calcul graphique

donne $A = 375 \text{ m}^2$.

$$\frac{3}{4} \cdot \sigma_1' = \frac{3}{4} \cdot \left(\frac{2 \cdot 6776,6}{375} \right) = 27,1 \text{ t/m}^2 \leq 39,9 \text{ t/m}^2. \text{ C'est vérifié}$$

Calcul de la plaque de fondation

Le radier général circulaire se calcule par la théorie des "planches et coques" de Timoshenko.



Le radier sera assimilé à une plaque fonctionnant en plancher renversé, uniformément chargé par la réaction du sol, et simplement appuyé sur la circonference moyenne du fût. Vérifions que : $\frac{\sigma_1(\text{max}) [2^{\text{e}} \text{ genre}]}{\sigma_1(\text{max}) [1^{\text{e}} \text{ genre}]} > 1,5 \cdot \frac{\bar{\sigma}_a [2^{\text{e}} \text{ genre}]}{\bar{\sigma}_a [1^{\text{e}} \text{ genre}]}$

$$\text{Combinaisons } (G+P+S) : \frac{36,1}{18,77} = 1,92 > 1,5 \quad \text{c'est vérifié}$$

Donc le radier se calculera sous une contrainte moyenne qui sera uniformisée :

$$\bar{\sigma} = \frac{3\sigma_1 + \sigma_2}{4} \quad \text{solicitations du 2^{\text{e}} \text{ genre } (G+P+S)}$$

$$\bar{\sigma} = \frac{336,1 + 0,26}{4} = 27,14 \text{ t/m}^2$$

Evaluation des efforts

1^e Cas de charge :

$$\text{Moment radial : } M_{rad}^1 = -\frac{5}{16} \cdot (3+\gamma) \cdot (B-x^2)$$

$$\text{Moment tangentiel, } M_{tg}^1 = -\frac{5}{16} [b^2 \cdot (3+\gamma) - x^2 \cdot (1+3\gamma)]$$

$$\therefore \text{Coef de poisson} = 0,15 \text{ (béton)} ; \gamma = \frac{\bar{\sigma}}{E} = 27,14 \text{ t/m}^2 \\ a = 3,8 \text{ m} ; b = 11,5 \text{ m}$$

A.N. :

$$\cdot \text{Au centre } x=0 \Rightarrow M_{tg}^1 = M_t^1 = -\frac{5}{16} \cdot (3+\gamma) \cdot b^2 = -\frac{27,14}{16} \cdot (3,15) \cdot \frac{115^2}{16} = -706,63 \text{ t.m.}$$

$$\cdot \text{En } x=a=3,8 \text{ m} \Rightarrow \begin{cases} M_2^1 = -\frac{5}{16} \cdot (3+\gamma) \cdot (b^2-a^2) = -\frac{27,14}{16} \cdot (3,15) \left(\frac{115^2}{16} - \frac{3,8^2}{16} \right) = -629,48 \text{ t.m} \\ M_t^1 = -\frac{5}{16} \cdot [b^2 \cdot (3+\gamma) - a^2 \cdot (1+3\gamma)] = -\frac{27,14}{16} \left[\frac{115^2}{16} \cdot (3,15) - \frac{3,8^2}{16} \cdot (1,15) \right] = -671,92 \text{ t.m} \end{cases}$$

2^e Cas de charge :

$$\text{Valeur de P : } \text{On a } \pi \cdot b \cdot 5 = p \cdot 2\pi \cdot a \Rightarrow P = \frac{b^2}{2a} \cdot 5 = 314,85 \text{ t/mf de circonference du fût.}$$

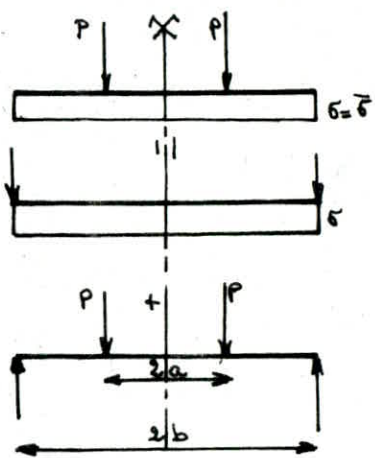
$$\cdot \text{Pour } x \leq a \quad M_n^2 = M_t^2 = \frac{P}{4} \left[(1-\gamma) \cdot \frac{(b^2-a^2)}{2} + b^2 \cdot (1+\gamma) \cdot \log \frac{b}{a} \right]$$

$$\cdot \text{Pour } x > a \text{ et } x=b : \quad \begin{cases} M_n^2 = 0 \\ M_t^2 = \frac{Pa}{2} \cdot (1-\gamma) \cdot \left(1 - \frac{a^2}{b^2} \right) \end{cases}$$

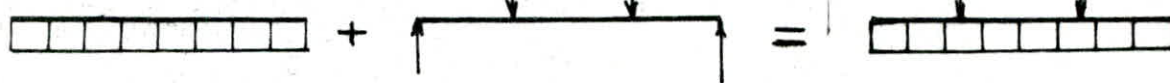
A.N. :

$$\text{Pour } x \leq a=3,8 \text{ m} \Rightarrow M_n^2 = M_t^2 = \frac{314,85}{4} \cdot \left[0,85 \cdot \frac{(115^2 - 3,8^2)}{2} + \frac{115^2}{2} \cdot (1,15) \cdot 1,1 \right] = 1474,82 \text{ t.m}$$

$$\text{Pour } x=b=11,5 \text{ m} \Rightarrow \begin{cases} M_n^2 = 0 \\ M_t^2 = \frac{314,85 \cdot 3,8}{2} \cdot 0,85 \cdot \left(1 - \frac{3,8^2}{115^2} \right) = 453 \text{ t.m} \end{cases}$$



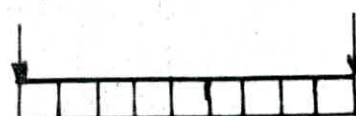
Superposition :



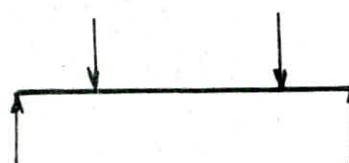
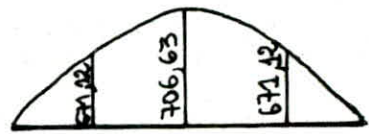
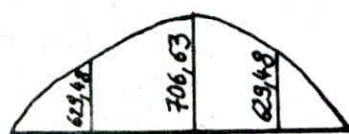
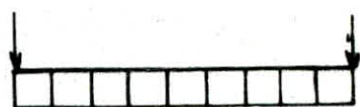
$$\bullet M_z = M_{z1} + M_{z2} \Rightarrow \begin{cases} x=0 \\ x=a \\ x=b \end{cases} \quad M_z = -706,63 + 1474,82 = 768,19 \text{ t.m} \\ M_z = -629,48 + 1474,82 = 845,34 \text{ t.m} \\ M_z = 0$$

$$\bullet M_t = M_{t1} + M_{t2} \Rightarrow \begin{cases} x=0 \\ x=a \\ x=b \end{cases} \quad M_t = -706,63 + 1474,82 = 768,19 \text{ t.m} \\ M_t = -671,12 + 1474,82 = 803,70 \text{ t.m} \\ M_t = -381,36 + 453 = 71,64 \text{ t.m}$$

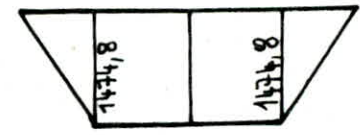
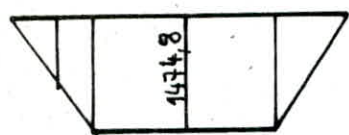
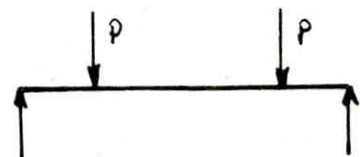
Diagrammes:



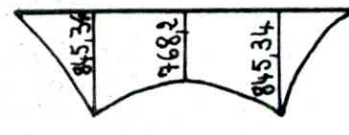
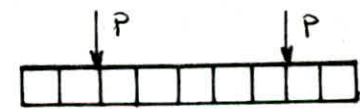
Cas ①



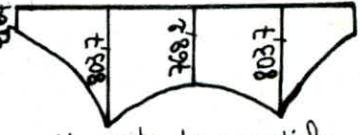
Cas 2



Cas ① + ②



Moments Radiaux



Moments tangentiels.

Calcul des armatures inférieures :

a) Armatures radiales:

$$M_z^{\max} = M_a = 845,34 \text{ t.m / ml}$$

$$\bar{\sigma}_a = 4000 \text{ kg/m}^2 (\phi > 25 \text{ mm}) ; \text{ SP2} \Rightarrow A_2 = \frac{M_a}{\bar{\sigma}_a \cdot E \cdot h}$$

$$b = 100 \text{ cm} \quad h = 245 \text{ cm}$$

$$\mu = \frac{15 \cdot M_r}{\bar{\sigma}_a \cdot b \cdot k^2} = \frac{15 \cdot 845,34 \cdot 10^5}{4000 \cdot 100 \cdot 245^2} = 0,0528 \Rightarrow \begin{cases} K = 37 \\ \varepsilon = 0,9038 \end{cases}$$

$$\Rightarrow A_2 = \frac{845,34 \cdot 10^5}{4000 \cdot 0,9038 \cdot 245} = 95,84 \text{ cm}^2/\text{ml}$$

Soit 12T32/ml ($96,5 \text{ cm}^2/\text{ml}$) ; $e = 8 \text{ cm}$.

Contrainte de compression dans le béton $\sigma'_b = \frac{4000}{K} = \frac{4000}{37} = 108 < (\bar{\sigma}'_b)_z$

b) Armatures tangentielles :

$$\begin{cases} M_t^{\max} = 803,7 \text{ t.m}/\text{ml} \\ \bar{\sigma}_a = \sigma_{en} = 4000 \text{ kg/cm}^2 \\ b = 100 \text{ cm} \\ h = 245 - 3,2 - \frac{3,2}{2} = 240,2 \text{ cm} \end{cases}$$

$$\mu = \frac{15 \cdot 803,7 \cdot 10^5}{4000 \cdot 100 \cdot 240,2} = 0,052 \Rightarrow \begin{cases} K = 37,4 \\ \varepsilon = 0,9046 \end{cases}$$

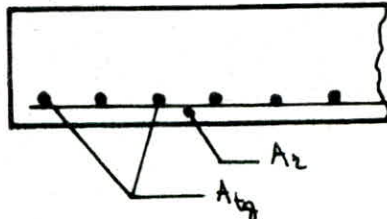
$$A_{tg} = \frac{803,7 \cdot 10^5}{4000 \cdot 0,9046 \cdot 240,2} = 92,47 \text{ cm}^2/\text{ml} \text{ soit } 12T32/\text{ml} : (96,5 \text{ cm}^2/\text{ml})$$

$$\sigma'_b = \frac{\bar{\sigma}_a}{K} = \frac{4000}{37,4} = 106,95 < (\bar{\sigma}'_b)_z$$

Donc :

$$\boxed{A_r = 12T32/\text{ml}}$$

$$\boxed{A_b = 12T32/\text{ml}}$$



Armatures supérieures : On dispose également des armatures supérieures de construction qui auront pour rôle de s'opposer au retrait vu la masse importante du radier de servir de support aux barres longitudinales de la tour. d'équilibrer d'éventuels efforts de traction ou de tension en cas d'excentrement accidentel.

Armatures supérieures : on peut prendre $A_{sup} = \frac{A_{inf}}{8}$

d'où

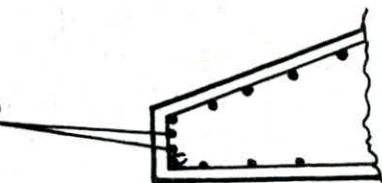
$$\boxed{A_r = 6T16/\text{ml}}$$

$$\boxed{A_t = 6T14/\text{ml}}$$

d'où quadrillage au niveau de la base du fût

Comme armatures de chapeau :

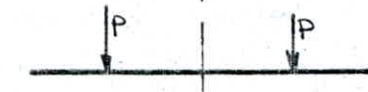
On prend encercles 2T14 espacés de 25cm



Verification à l'effort tranchant :



Cas 1 : $T_x = -0,5 \cdot 8_b \cdot g$; $S = \frac{x}{b}$
 $x=0 \Rightarrow T_n^1 = 0$
 $x=a=3,8 \text{ m} \Rightarrow T_n^1 = -0,5 \cdot 27,14 \cdot 11,5 \cdot \frac{3,8}{11,5} = -51,56 \text{ t/m}$
 $x=b=11,5 \text{ m} \Rightarrow T_n^1 = -0,5 \cdot 27,14 \cdot 11,5 \cdot \frac{11,5}{11,5} = -156,055 \text{ t/m}$

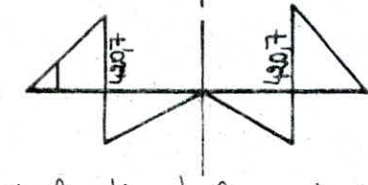


Cas 2 :
 $0 \leq x \leq a=3,8 \text{ m} \Rightarrow T_n^2 = 0$
 $a \leq x \leq b=11,5 \text{ m} \Rightarrow T_n^2 = \frac{5 \cdot b^2}{2 \cdot x}$
 $x=a=3,8 \text{ m} \Rightarrow T_n^2 = \frac{27,14 \cdot 11,5}{2 \cdot 3,8} = 472,27 \text{ t/m}$
 $x=b=11,5 \text{ m} \Rightarrow T_n^2 = \frac{27,14 \cdot 11,5}{2} = 156,055 \text{ t/m}$



Cas ① + ② : Superposition

- $x=0 \Rightarrow T_x=0$
- $x=3,8 \text{ m} \Rightarrow T_x = -51,56 + 472,27 = 420,7 \text{ t/m}$
- $x=11,5 \text{ m} \Rightarrow T_x = -156 + 156 = 0$.



Verification de la contrainte de cisaillement dans le béton:

$$T_{\max} = 420,7 \text{ t/m}$$

$$\begin{aligned} \bar{\tau}_b &= \frac{T}{b \cdot z} = \frac{T}{b \cdot \frac{7}{8} \cdot h} = \frac{420,7 \cdot 10^3}{100 \cdot \frac{7}{8} \cdot 245} = 19,62 \text{ Kg/cm}^2 \\ \bar{\tau}_b &= 3,5 \cdot \bar{\epsilon}_b = 3,5 \cdot 6,25 = 21,9 \text{ Kg/cm}^2 \end{aligned} \quad \left. \right\} \Rightarrow T_b \leq \bar{\tau}_b \text{ donc l'effort tranchant est vérifié.}$$

Entrainement des armatures radiales :

$$\Sigma_d = \frac{T}{n \cdot p \cdot z}$$

n : nombre de barres : 12

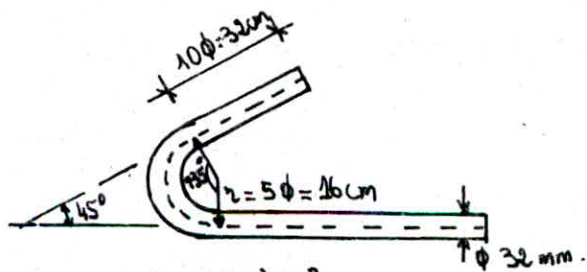
p : périmètre d'une barre : $3,2 \cdot \pi = 10,048 \text{ cm}$

$$z \approx \frac{7}{8} \cdot h = 214,37 \text{ cm}$$

$$\Rightarrow \Sigma_d = \frac{420,7 \cdot 10^3}{12 \cdot 10,048 \cdot 214,4} = 16,27 \text{ Kg/cm}^2 < 3,75 \cdot \bar{\epsilon}_b = 23,4 \text{ Kg/cm}^2 \quad \text{C'est vérifié.}$$

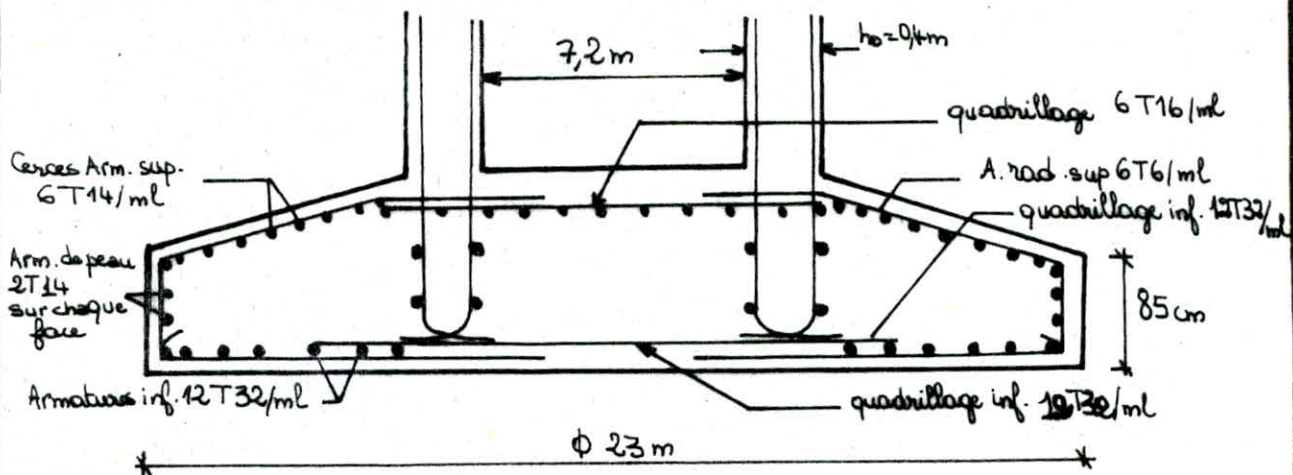
Dispositions constructives :

a) Ancrage courbe :



b) Recouvrement des barres :

$$l_n = 40 \cdot \phi \text{ (barres H.A. droites)} \quad l_n = 130 \text{ cm}$$



Calcul des Tassements:

1) A partir de la formule de BOUSSINESQ : profondeur d'influence du chargement : $\delta_3 \leq 0,3 q$
 $\therefore \delta_3 = 2 \cdot q \Rightarrow \frac{\delta_3}{q} = 2$.

a) profondeur d'influence du chargement :

Cette profondeur est obtenue par la formule de BOUSSINESQ : $\frac{\delta_3}{q} = 0,736$.

quand $\frac{\delta_3}{q} = 0,58$ donc $z = 0,58 \cdot R = 0,58 \cdot 11,5 = 6,67 \text{ m}$.

b) Calcul des tassements

hypothèses : - sol homogène est normalement consolidé - Fondation rigide.

A partir de la formule de BOUSSINESQ : $\Delta S = \frac{\pi}{2} \cdot \frac{(1-\gamma^2)}{E} \cdot q \cdot R$

$$\begin{aligned} \gamma &= 0,37 \\ E &= 31,1 \text{ KN/m}^2 \\ R &= 11,5 \text{ m} \end{aligned} \left\{ \begin{aligned} \Rightarrow \Delta S &= 0,5 \cdot q \\ q &= 300 \text{ KN/m}^2 \rightarrow \Delta S = 0,15 \text{ m} = 15 \text{ cm} \\ q &= 271,4 \text{ KN/m}^2 \rightarrow \Delta S = 0,13 \text{ m} = 13 \text{ cm}. \end{aligned} \right.$$

A partir de la formule de WINTERKORN : $\Delta S = \frac{\Delta e \cdot z}{1 + e_0}$ avec $\Delta e = C_c \cdot \log \left(\frac{\sigma'_0 + \Delta \sigma}{\sigma'_0} \right)$

- $\Delta \sigma_3$ se calcule à l'aide de la formule suivante :

$$\text{pour un chargement uniforme circulaire} \rightarrow \Delta \sigma_3 = \left[1 - \left(\frac{1}{1 + \left(\frac{z}{R} \right)^2} \right)^{3/2} \right] \cdot q$$

$$\text{pour } z = R \rightarrow \Delta \sigma_3 = 0,646 \cdot q$$

$$\text{si } q = 300 \text{ KN/m}^2 \rightarrow \Delta \sigma_3 = 193,8 \text{ KN/m}^2$$

$$\text{Si } q = 271,4 \text{ KN/m}^2 \rightarrow \Delta \sigma_3 = 175,32 \text{ KN/m}^2$$

$$\sigma'_0 = 82,4 \text{ KN/m}^2$$

$$* \sigma'_0 = 82,4 \text{ KN/m}^2 ; q = 300 \text{ KN/m}^2 \rightarrow C_c = \bar{C}_c = 0,0778 \Rightarrow \Delta e = 0,04$$

$$q = 271,4 \text{ KN/m}^2 \rightarrow C_c = \bar{C}_c = 0,0778 \Rightarrow \Delta e = 0,038$$

$$e_0 = \bar{e}_0 = 0,582 \rightarrow \Delta S = 0,168 \text{ m} = 16,8 \text{ cm}$$

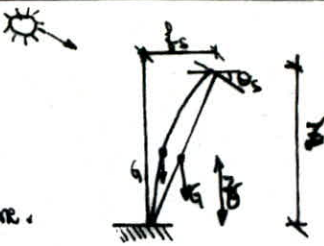
$$\rightarrow \Delta S = 0,16 \text{ m} = 16 \text{ cm}$$

- Les 2 formules ont donné des résultats proches.

Les tassements (ΔS) calculés sont des tassements sous charges appliquées uniformément \Rightarrow ils sont uniformes.

Vérification au renversement:

On doit ajouter au moment (M) au niveau de la fondation (base du fût) le moment d'ensOLEILlement; le moment secondaire dû à l'action du seisme.



$$\text{Moment d'ensOLEillement : } M_s = C_s \cdot G_s ; \quad C_s = f_s \left(\frac{z}{z} \right)^2$$

G_s : poids de l'ouvrage, la déformée est parabolique.

f_s : flèche au sommet : $z \cdot \theta_s / 2$ θ_s : rd.

θ_s : rotation dûe à l'ensOLEillement.

$\theta_s = \mu \cdot T \cdot z / D_e$ T : différence de température entre la paroi exposée au soleil et la paroi abritée ; $T = 30^\circ\text{C}$.

$\mu = 10^{-5}$; module de dilatation linéaire.

$D_e = 8 \text{ m}$.

$$z = 41,8 \text{ m} \Rightarrow \theta_s = \frac{10^{-5} \cdot 30 \cdot 41,8}{8} = 1569 \cdot 10^3 \text{ rd.}$$

$$f_s = z \cdot \theta_s / 2 = 41,8 \cdot \frac{1569 \cdot 10^3}{2} = 3,28 \cdot 10^2 \text{ m}$$

Calcul de z_g (centre de gravité de l'ouvrage : courbe pleine et courbe vide).

$$\Rightarrow z_p = 19,42 \text{ m}$$

$$\text{Donc } C_s = 18,772 \cdot 10^{-6} \cdot z^2 \Rightarrow \begin{cases} \text{Soit } z = z_p = 19,42 \text{ m} \Rightarrow C_s^p = 7 \cdot 10^{-3} \text{ m.} \\ z = z_v = 11,22 \text{ m} \Rightarrow C_s^v = 2,36 \cdot 10^{-3} \text{ m.} \end{cases}$$

a) Courbe vide : $C_s = 2,36 \cdot 10^{-3} \text{ m}$

$$M_s = (N_f + N_g + P_s) \cdot C_s = 7,8 \text{ t.m}$$

moment secondaire dû à l'action du seisme

$$f_g = 9 \cdot 10^{-3} \text{ m} \text{ (courbe déformée).} \quad (G+P+S) \text{ genre donne}$$

$$N_f = 1712,3 \text{ t} ; D = 23 \text{ m}$$

$$\begin{cases} N = 1591,48 \text{ t} \\ T = 349,5 \text{ t} \\ M = 10577,55 \text{ t.m} \end{cases}$$

$$M_{Ns} = (N_f + 1591,48) \cdot f_g = 29,73 \text{ t.m.}$$

$$\text{d'où } M_{renv} = (M_s + M_{Ns} + 10577,55) = 10615,1 \text{ t.m.}$$

* Moment stabilisant: $M_{stab} = (N_f + 1591,48) \cdot \frac{D}{2} = 37993,5 \text{ t.m.}$

Prenons un coef^t de sécurité de $F_s = 2$

$$F = \frac{M_{stab}}{M_{renv.}} = \frac{37993,5}{10615,1} = 3,58 > 2 \quad \text{C'est vérifié sous la sollicitation } G+P+S.$$

* Sous $0,8G_1 + S$ $\begin{cases} N = 1230,1 \text{ t} \\ M = 10577,55 \text{ t.m} \\ T = 349,5 \text{ t} \end{cases}$ d'où $M_s = (1712,3 + 1230,1) \cdot 2,36 \cdot 10^{-3} = 6,94 \text{ t.m}$

$$M_{VS} = (1712,3 + 1230,1) \cdot 9 \cdot 10^3 = 2648 \text{ t.m}$$

$$M_{renv} = (6,94 + 26,48 + 10577,5) = 10610,92 \text{ t.m}$$

$$M_{stab} = (1712,3 + 1230,1) \cdot \frac{23}{12} = 33837,6 \text{ t.m}$$

$$\Rightarrow F = \frac{M_{st.}}{M_{renv}} = \frac{33837,6}{10610,92} = 3,18 > 2 \quad \text{c'est vérifié}$$

b) Cuve pleine : $C_s = 7 \cdot 10^{-3} \text{ m}$ $f_g = 5,2 \cdot 10^2 \text{ m}$

* Combinations G+P+S : $M = 19839,85 \text{ t.m}$ $M_S = (1712,3 + 3597,46) \cdot 7 \cdot 10^3 = 37,17 \text{ t.m}$
 $N = 3597,46 \text{ t}$ $\Rightarrow M_{VS} = (1712,3 + 3597,46) \cdot 5,2 \cdot 10^2 = 276,1 \text{ t.m}$
 $T = 624,13 \text{ t}$

$$M_{renv} = (37,17 + 276,1 + 19839,85) = 20153,1 \text{ t.m}$$

$$M_{st} = (1712,3 + 3597,46) \cdot \frac{23}{5} = 61062,24 \text{ t.m.}$$

$$\Rightarrow F = \frac{M_{st}}{M_{renv}} = \frac{61062,24}{20153,1} = 3,03 > 2$$

Combinaison : 0,8G+5 (cuve pleine) : $M_S = (1712,3 + 2834,57) \cdot 7 \cdot 10^3 = 31,82 \text{ t.m}$
 $M_{VS} = (1712,3 + 2834,57) \cdot 5,2 \cdot 10^2 = 23,64 \text{ t.m}$

$$\left. \begin{array}{l} N = 2834,57 \text{ t} \\ T = 624,13 \text{ t} \\ M = 19839,85 \text{ t.m} \end{array} \right\} \Rightarrow M_{renv} = (31,82 + 23,64 + 19839,85) = 19895,3 \text{ t.m}$$

$$M_{stab} = (1712,3 + 2834,57) \cdot \frac{23}{5} = 52289 \text{ t.m}$$

$$\Rightarrow F = \frac{M_{st}}{M_{renv}} = \frac{52289}{19895,3} = 2,63 > 2 \quad \text{c'est vérifié.}$$

Vérification au glissement :

La force résultante doit être inférieure à la force de frottement sol-Béton donc on vérifiera que $\frac{f_h}{f_v} < f$

$$\frac{f_h}{f_v} : \text{ résultante des forces horizontales}$$

$$\frac{f_v}{f_v} : \text{ " " " verticales}$$

$$\frac{f_h}{f_v} : \text{ coef de frottement sol-Béton pris égal à 0,7.}$$

Cuve vide (sollicitation : G+P+S 2^e genre) : $f_h = 349,43 \text{ t}$ $\left\{ \frac{349,43}{3304,18} = 0,105 << 0,7 \right.$
 $f_v = 3304,18 \text{ t}$ $\left. \right\}$

Cuve pleine : $\left\{ \begin{array}{l} f_h = 624,13 \text{ t} \\ f_v = 5309,76 \text{ t} \end{array} \right. \Rightarrow \frac{624,13}{5309,76} = 0,11 << 0,7$

La stabilité par rapport au glissement est assurée.

$$\underline{\text{N.B.}} : \underline{f_h} = N_f + N.$$

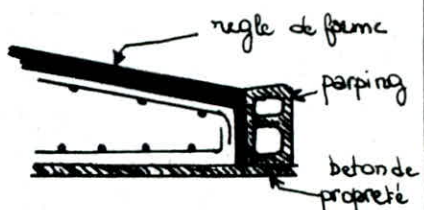
Chapitre : 11

ELEMENTS
DE
COFFRAGE

Coffrage des éléments principaux de la superstructure

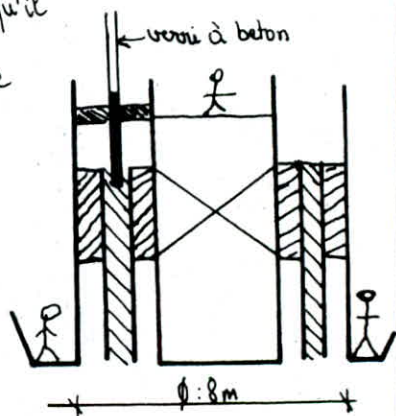
1) Fondation:

La réalisation du Radier n'exige aucun coffrage ; après avoir posé une couche circulaire de béton de propriété d'épaisseur 5cm on réalise un mur circulaire en parping suivant la hauteur $\frac{h_t}{3}$. Ce mur va servir de coffrage du radier de dimension ($D = 23m$; $h = \frac{h_t}{3} = 0,83m$). Après on betonne sur le quadrillage inférieur jusqu'à la hauteur $\frac{h_t}{3}$. Le quadrillage supérieur est tenu en place en s'appuyant sur des chaises en aciers (L). Le reste du radier se betonne tout en respectant la pente ($\frac{h_t - h_6}{3}$) en installant des règles ↗



2) Tour de support (Fût):

On utilise ici le coffrage glissant de hauteur (12m à 1m) suspendu à des barres verticales prenant appuis sur le béton au fur et à mesure qu'il durcit. On fait monter le coffrage en même temps que s'effectue le betonnage. Le travail se fait par équipes de jours et de nuits (24h/24h) pendant 4,5 jours jusqu'à ce que le fût soit terminé.



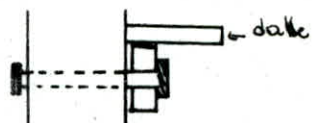
Signalons que les levées du coffrage se font à raison de 25cm/h, ce qui veut dire pour $h = 27,18m$ on a 108,5 heures de travail jours et nuits soit : 5 jours et 4 nuits .

Pour la réalisation des dalles de repos :

- On fait sortir le ferrailage radial de la dalle, de l'épaisseur du fût simplement en tirant la légère couche d'enrobage du béton ou par brossage. Le ferrailage tangentiel sera mis en place .
- Pour coffrer la dalle , on met en place la table formée d'éléments circulaires ou des secteurs qui sera appuyée sur des éléments qui sont eux mêmes tenus en place par

des boulons, dans l'épaisseur du fût. Après la prise, on decoupe pour la réutiliser.

N.B: Actuellement on encastre lors du betonnage des plaques d'aciers ; puis sur lesquelles on vient souder les paliers de repos métalliques.



3) La curv.

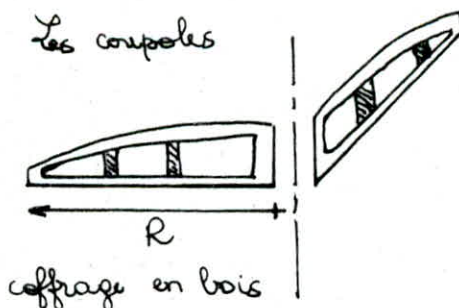
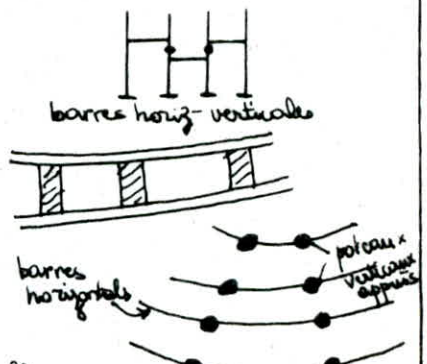
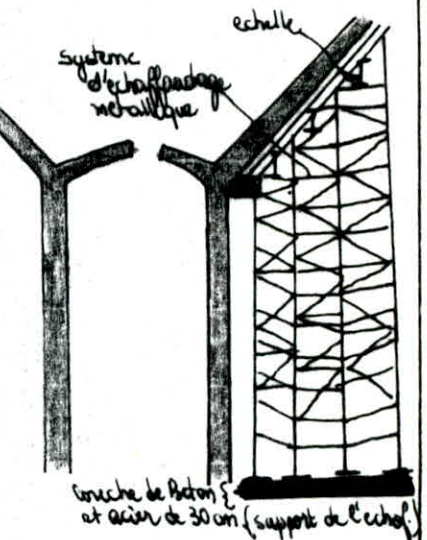
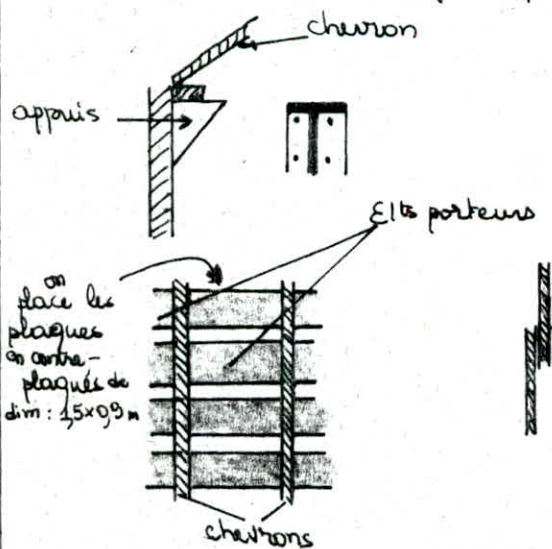
Le coffrage de la curv se fait à l'aide de contre-plaqué déformable de hauteur 0,5m - 1m reposant sur un système de chevrons eux-mêmes appuyés à la base sur des éléments boulonnés sur la paroi du fût et suivant la hauteur, sur le système d'échafaudage (étudié par les techniciens).

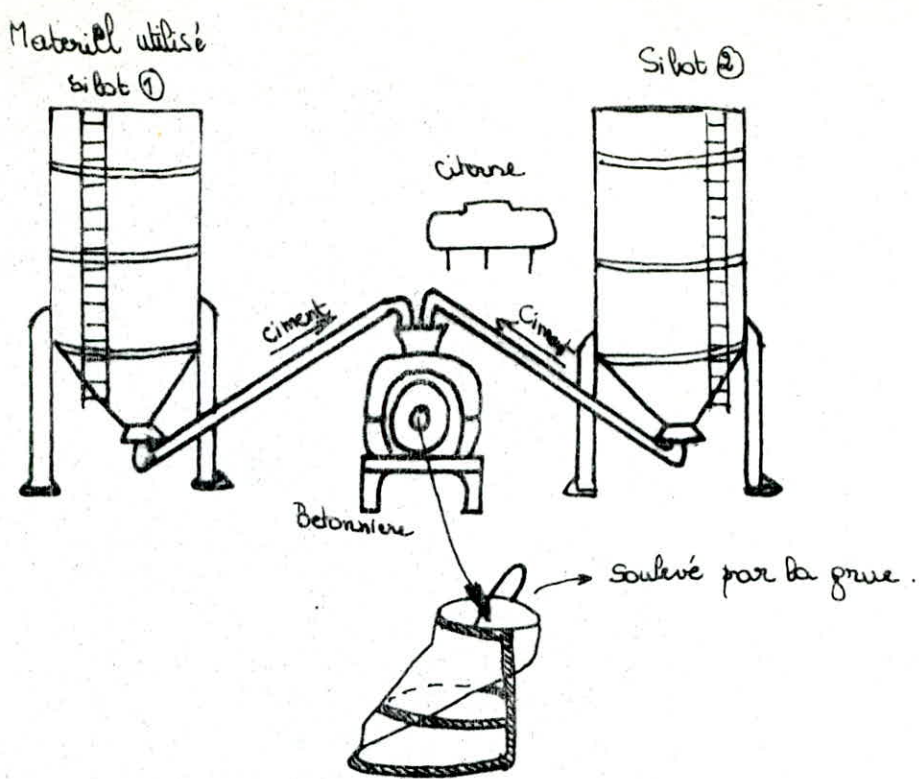
Ce système repose à la base sur une couche de B.A. d'épaisseur environ 30cm de façon à éviter le poinçonnement.

Détails des éléments.

Echelle périphérique en bois servant d'appuis de coffrage sur l'élément horizontal de l'échafaudage.

Appuis métalliques périphériques disposés à la base de la curv (en tête du fût) qui supportent les chevrons du coffrage.





Dans les silos est stocké le ciment qui sera pompé vers la bétonnière, elle même reçoit les granulats bien appropriés (Sable - Gravier calibrée). Le tout est malaxé en présence d'eau. Le béton est prêt, il sera déversé dans le cylindre qui sera soulevé par la grue et emmené vers le lieu du betonnage.

Le matériel ennumérés précédemment absorbe l'énergie nécessaire à l'aide de groupes électrogènes.

- Conclusions -

Le projet de fin d'études nous a permis de mettre une évidence toutes les connaissances acquises pendant la durée de formation.

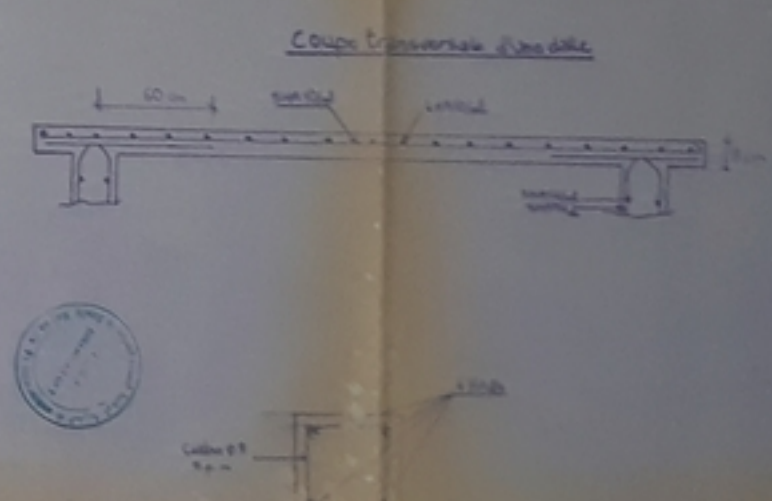
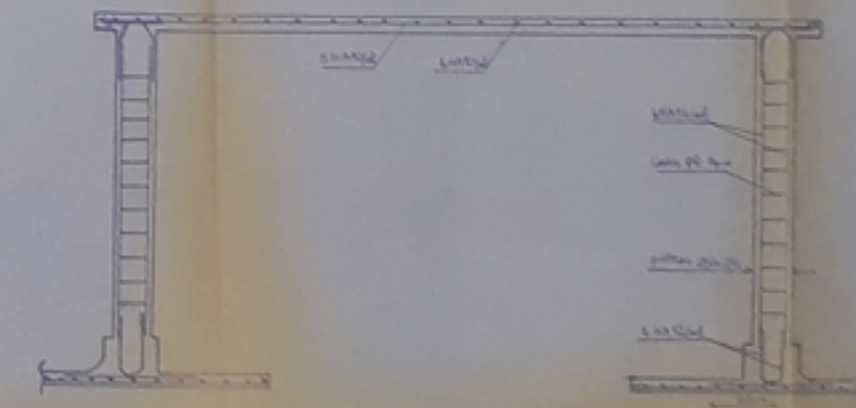
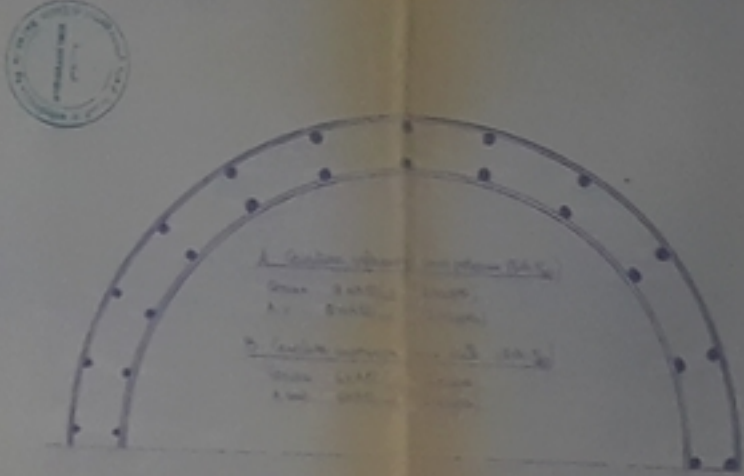
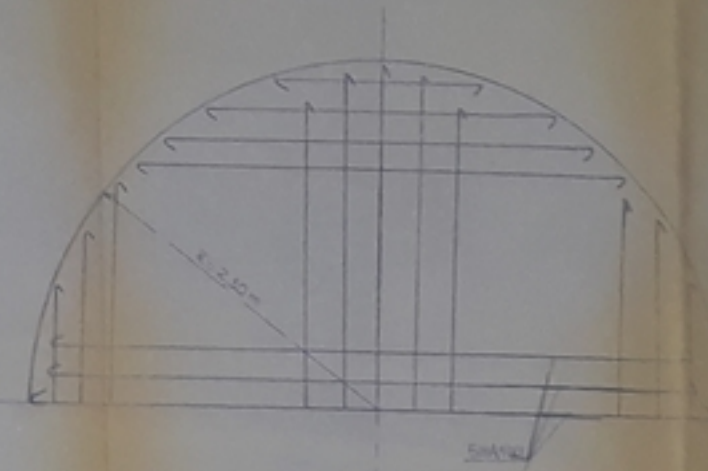
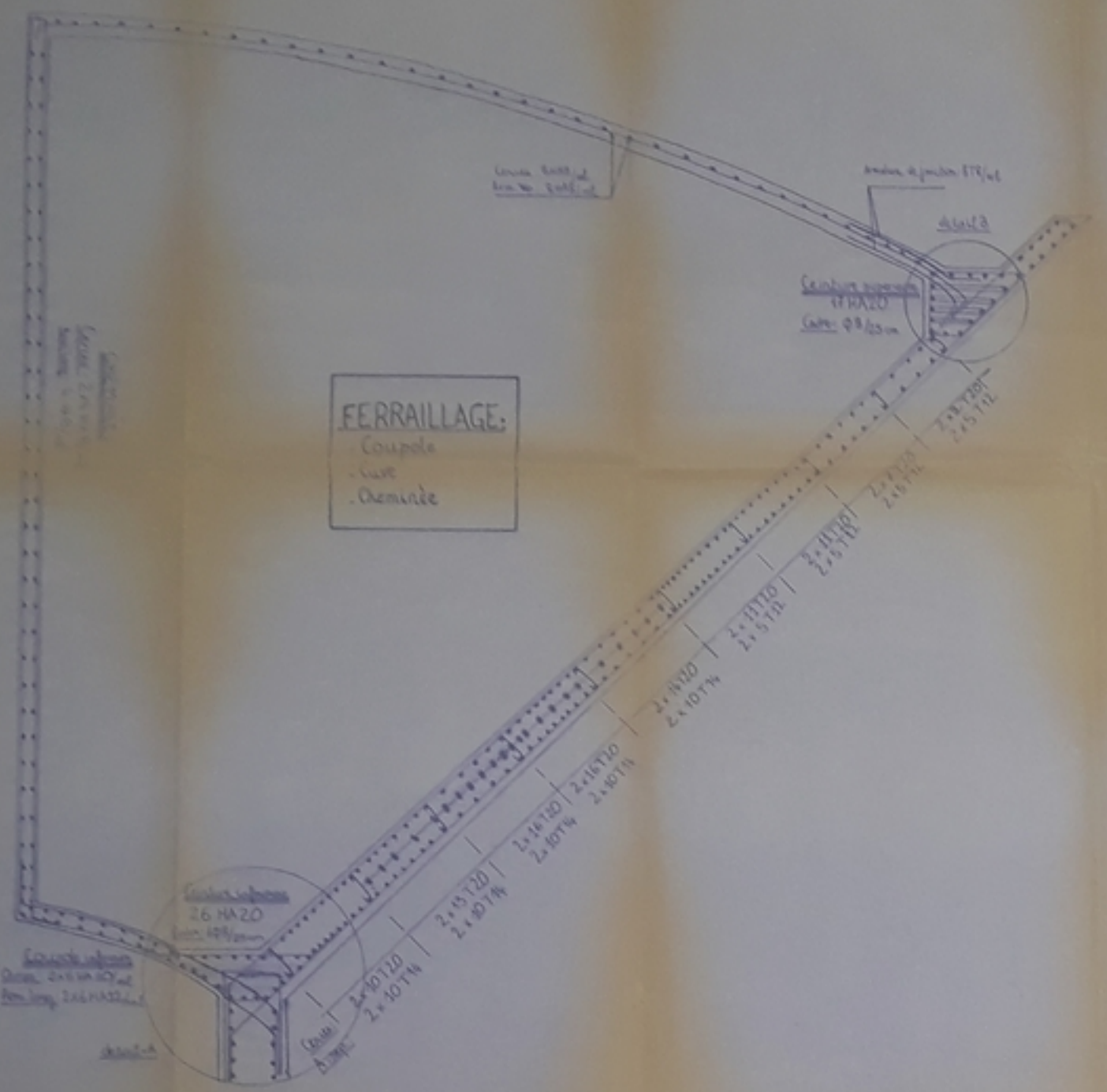
C'est une porte d'accès à de nouvelles connaissances qui concernent ce projet, et qui par la suite nous seront comme outils de travail pendant la vie professionnelle.

L'étude de ce projet nous a aussi permis de constater que :

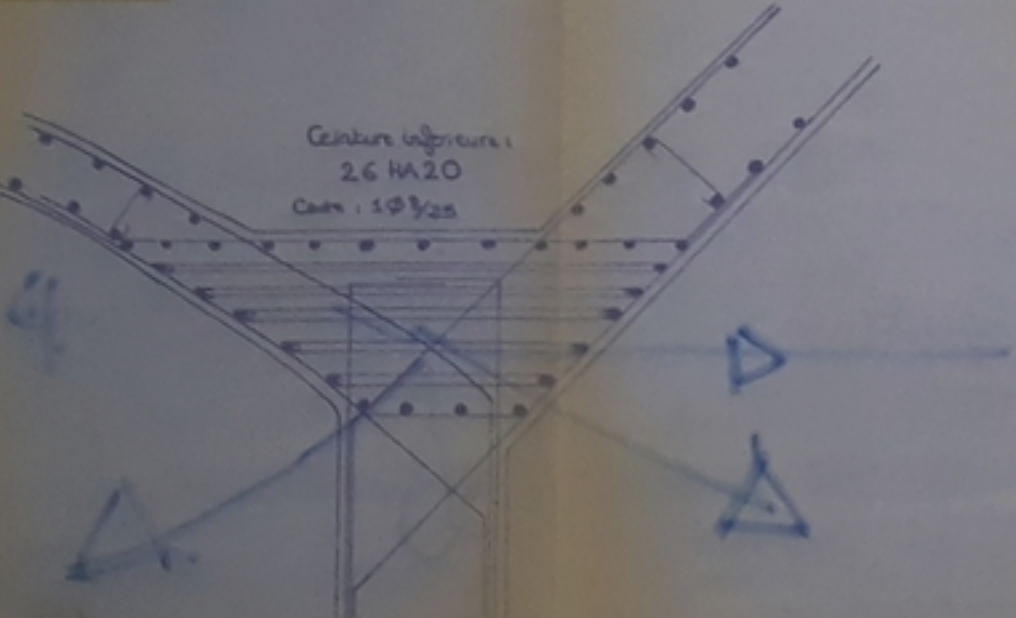
- Le phénomène hydrodynamique a des effets non négligeables sur la superstructure, dont il faut tenir compte pour les réservoirs ou château d'eau de capacité dépassant 1000 m^3 .
- L'effort tranchant dû à ce phénomène majeur généralement l'effort tranchant dû au séisme ; Dans notre cas cet effort a été calculé à partir du spectre (d'El Centro) pris comme référence. En réalité ce n'est pas juste car il doit y avoir un spectre propre à notre pays.
- L'étude au niveau des ouvertures est une approche, qui conduit à prendre des sections d'arcs enormes dans les huitres et les poteaux servant d'appuis à ces derniers.
- Pour la fondation : Le radier général opté est de grandes dimensions d'où une masse importante de béton, ce qui n'est pas économique, d'où :
 - Refaire la conception du radier ; par exemple radier à double pente pour économiser du béton.
 - Utiliser une méthode de calcul de la plaque plus précise afin d'économiser de l'acier bien sûr tout en tenant compte de la résistance et la stabilité de la superstructure.
- Si non construire 2 châteaux d'eau côté à côté de 1000 m^3 chacun.

Bibliographie

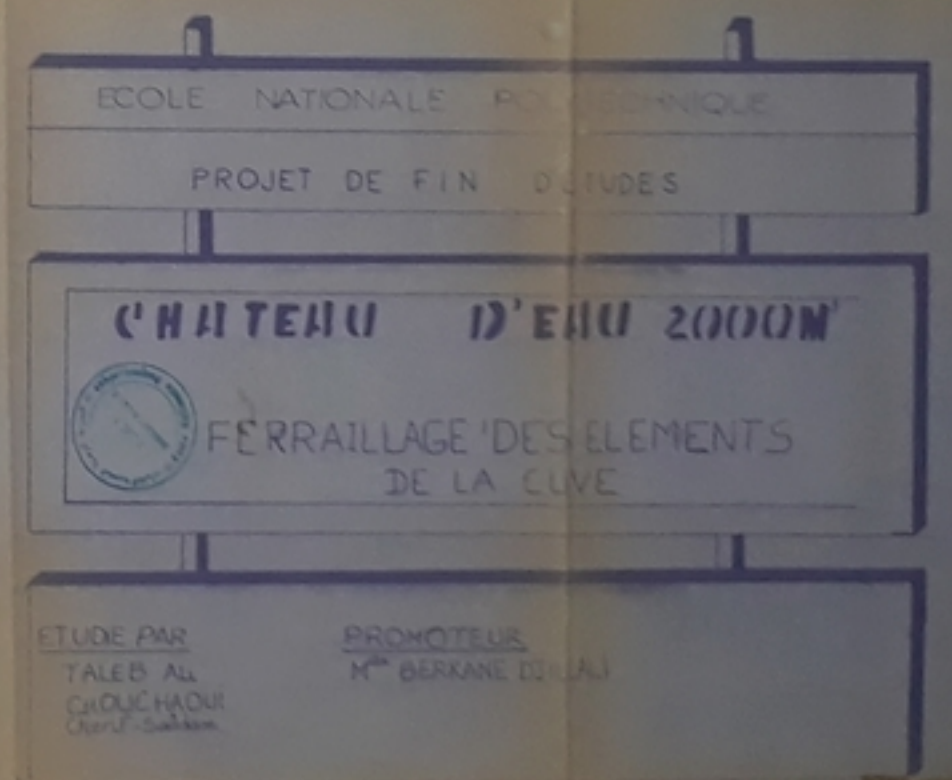
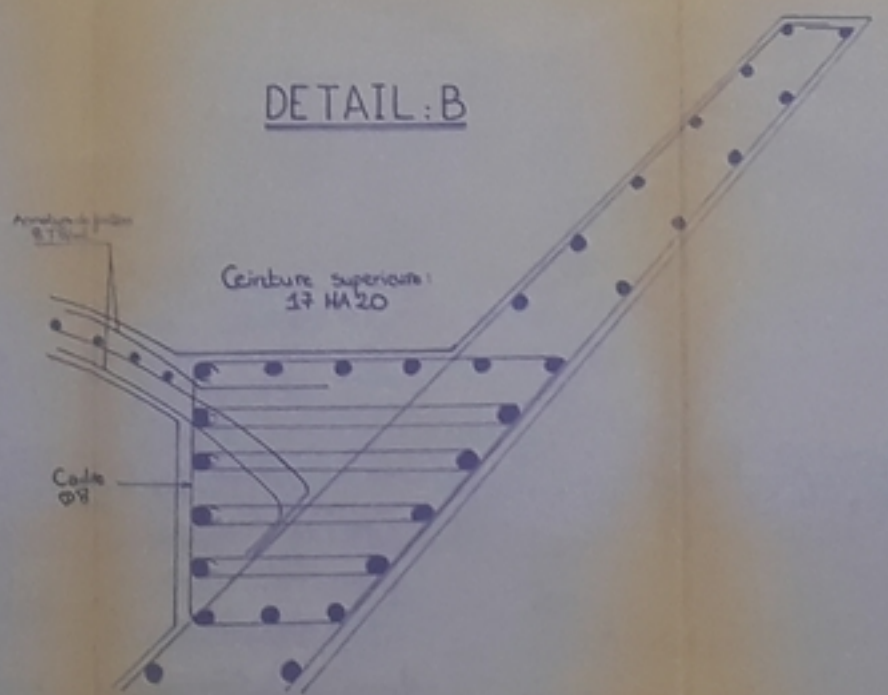
- 1- Traité de B.A. Tome 6 (A. GUERRIN).
- 2- Théorie des plaques et coques (TIMOSHENKO).
- 3- Calcul des plaques (A. BARÈS).
- 4- Calcul pratique des tours en B.A. (M. DIVER).
- 5- Cahier de charges applicable à la construction des curbes et réservoirs en B.A. (Annales I.T.B.T.P.)
- 7- Calcul pratique des réservoirs en zone sismique (V.DAVIDOVICI et A.HADDADI - Annales ITBIP n° 409).
- 8- Annales de l' I.T.B.T.P N° 306 Juin 1973
- 9- Annales de l' I.T.B.T.P N° 208 Avril 1971
- 10- Cours de Beton Armé Tome II (M. BELAZOUQUI)
- 11- Règles : CCBA 68
R.P.A 81
N.V 65
D.T.U.



DETAIL: A



DETAIL: B



FERRAILLAGE SUPERIEUR

QUADRILLAGE:
SUP: 6T16/ml

A.RADIALES: 6T16/ml

CERCES: 6T14/ml
+ 2T14/m(KAP)

1. T20 05

15

FERRAILLAGE INFERIEUR

CERCES 12T32/ml
A.RADIALES:
12T32/ml

2.6

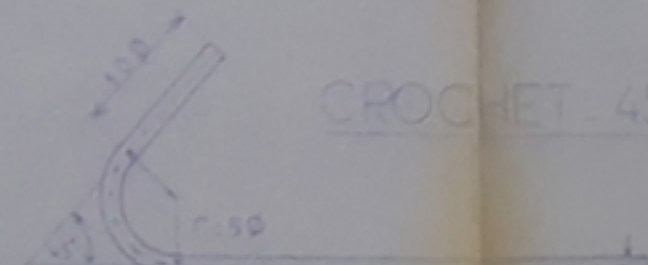
15

1

QUADRILLAGE INF. 12T32/ml

QUADRILLAGE INF: 6T16/ml (CH)

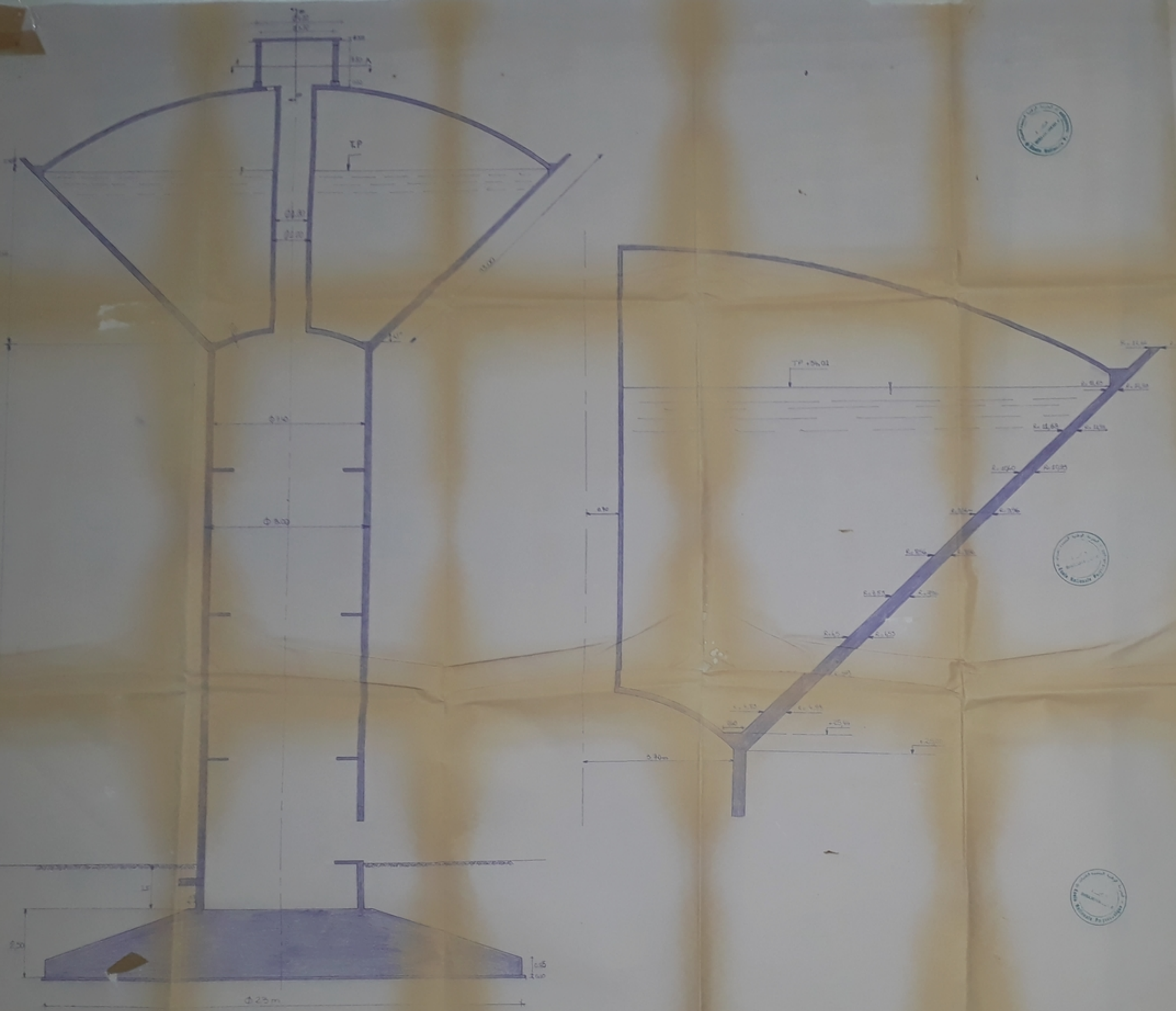
PB03457
-2-



CROCHET - 45° Lr = 40 Ø

Lr = 40

ÉCOLE NATIONALE
DES MINE
PROJET DE
LEADER
DATE
CHATEAU D'EAU
2000 m
RELEVÉS A LA CHALANDAIE
DE GRANDEURS
FERRAILLAGE EN



ECOLE NATIONALE POLYTECHNIQUE
PROJET DE FIN D'ETUDES

CHA TEAU D'EAU 2
PLAN DE COFFRAGE

ETUDE PAR
TALEB ALI
CHOUCHAOU Chlef-Sidiene

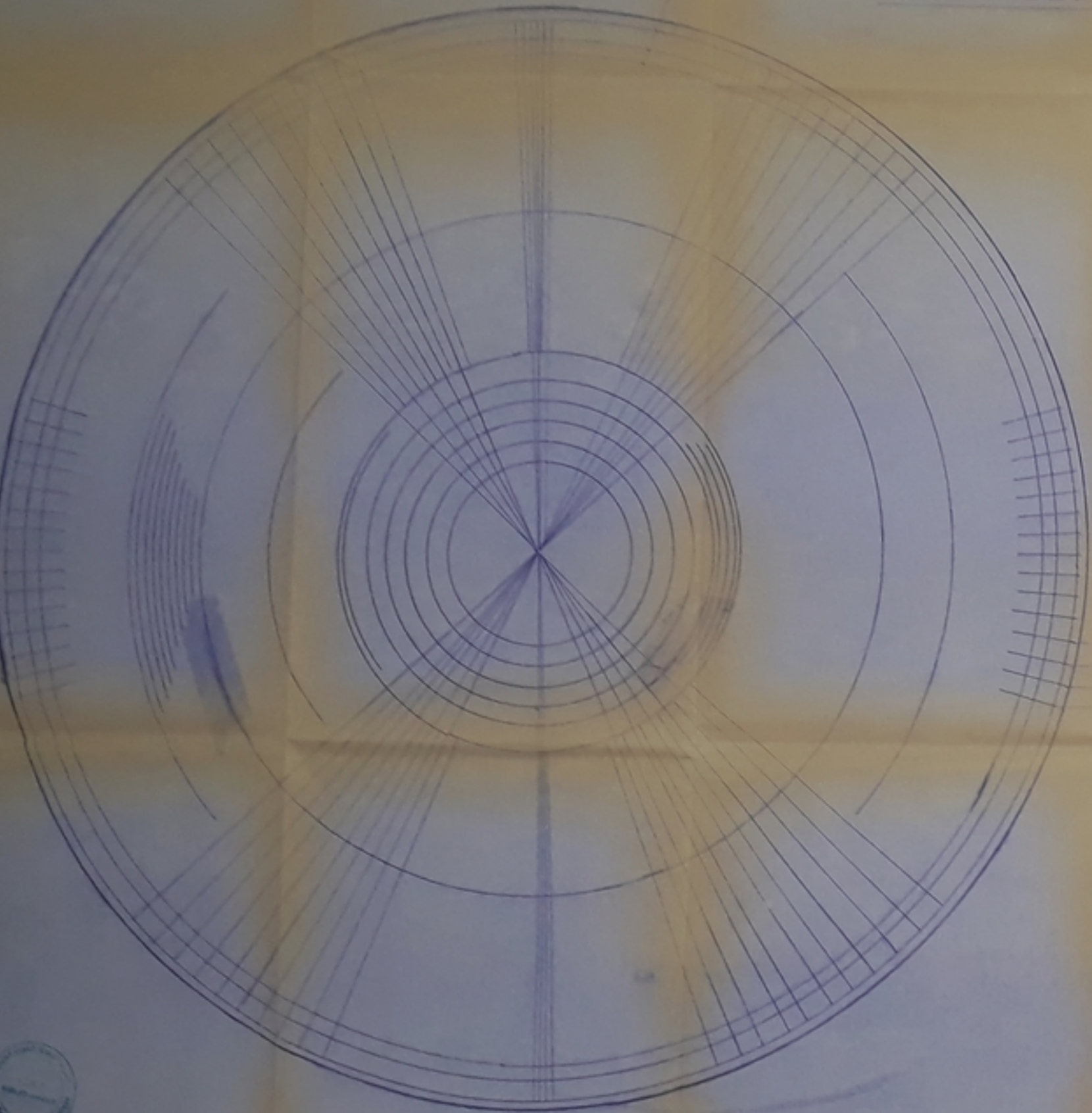
PROJET
PROM

FERRAILLAGE-COPOLE-SUP



CERCES: 8T8/ml. 2

A.RADIALES: 8T8/ml. 1

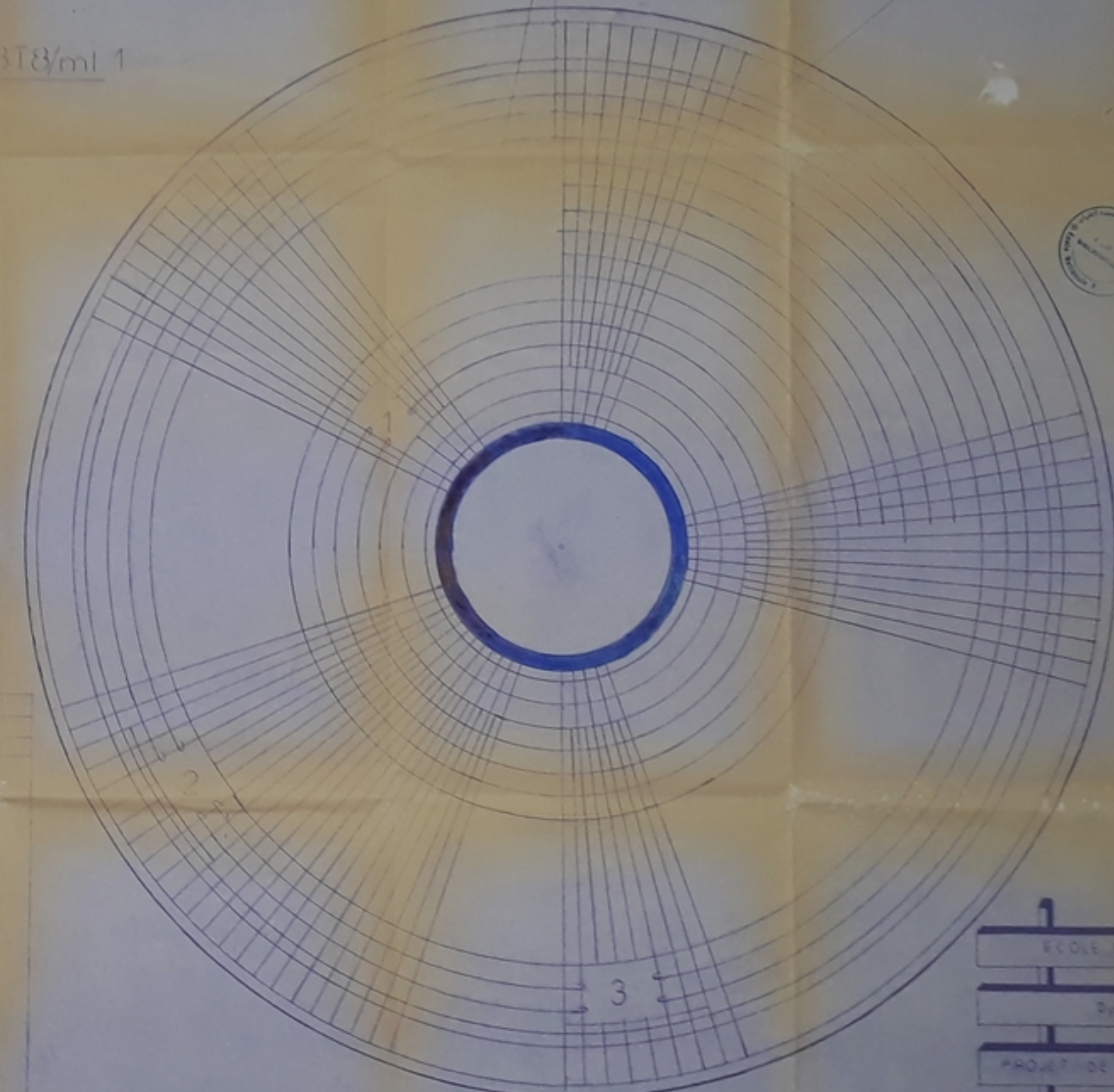


FERRAILLAGE-COPOLE-IN F



CERCES: 2x6T10/ml

A.RADIALES: 2x6T12/ml



DALLE - DE.FOND

- 1 VIDANGE
- 2 DISTRIBUTION
- 3 ALIMENTATION

ECH: 1/17

1
ECOLE NATIONALE POLYTECHNIQUE

Dpt. GENIE CIVIL

PROJET DE FIN D'ETUDES

Janvier 87

CHATEAU D'EILLI

2000

Echelle: 1/60 Elevation: 1/60
1/17 Chouli: 1/60 Cheriet: 1/60

FERRAILLAGE - DE COPOLE - REINFORCING

